



### Código Fuente 2.6 Integración numérica trapezoidal

```
%MATLAB Aplicado a Robótica y Mecatrónica
%Capítulo 2 Métodos numéricos
%Editorial Alfaomega
%Fernando Reyes Cortés
%Archivo cap2_trap.m Continúa 2.5
```

#### Integración numérica trapezoidal

```
6 tfinal=pi;
7 x=tini:tinc:tfinal;
8 f=sin(x);
9 I_trapz= trapz(x,f);
10 I_a= 1-cos(pi);
11 disp('Resultado')
12 %despliega los resultados comparativos
13 %del método trapezoidal con el analítico.
14 disp([I_trapz I_a])
```

En este ejemplo se ha calculado el área bajo la curva sobre el intervalo  $[0, \pi]$ . El cálculo se realiza una sola vez. Sin embargo, hay aplicaciones en control de robots manipuladores donde se requiere realizar el cálculo de la integral de manera sistemática conforme el tiempo evoluciona. A continuación se muestra un procedimiento recursivo donde se obtiene la integral por el método trapezoidal para pequeños intervalos del tamaño de  $\frac{\pi}{1000}$  sobre un intervalo amplio  $[0, 2\pi]$ .

### ♣ ♣ Ejemplo 2.7

Calcular la integral de la función  $\text{sen}(x)$  por el método trapezoidal para cada valor de intervalo  $\frac{\pi}{1000}$  contenido en el intervalo  $[0, 2\pi]$

$$I_{\text{trapz}} = \int_0^{2\pi} \text{sen}(x) dx.$$

### Solución

La idea es obtener un barrido de la integral de  $\sin(x)$  para cada intervalo  $\frac{1000}{2000}$  que pertenece al intervalo  $[0, 2\pi]$ . Es decir,  $x \in [0, \frac{1000}{2000}, 2 \cdot \frac{1000}{2000}, \dots, 2\pi]$ . En otras palabras, el intervalo va evolucionando por incrementos de  $\frac{1000}{2000}$  hasta llegar a  $2\pi$ , con esto se requieren 2000 iteraciones para alcanzar el valor de  $2\pi$ .

El programa que se presenta en el cuadro de código 2.7 contiene la forma de implementar el método trapezoidal para aproximar la integral de una función  $f(x) = \sin(x)$  en el intervalo  $[0, 2\pi]$ . De la línea 4 a la 9 se define el intervalo de tiempo de integración. El incremento del paso de integración es cada  $\frac{1000}{2000}$ .

En la línea 10 se obtiene la dimensión del vector de tiempo, con esa información se realizaría el algoritmo recursivo, es decir el número de veces (2000) que se realizaría el ciclo for para abarcar el intervalo  $[0, 2\pi]$  el cual se presenta de las líneas 11 a la 21.

En la línea 12 se exploran los registros de la base de tiempo  $t(k)$ ; cuando  $k=1$  entonces se realiza el primer paso de integración del intervalo  $[0, \frac{1000}{2000}]$  cuyo código abarca las líneas 13 a la 16. Este código es necesario por razones técnicas del lenguaje de **MATLAB** debido a que el primer elemento del vector de tiempo  $t(1)$  es cero,  $t_s=0$ , entonces no se podría llevar a cabo el primer intervalo de integración  $x=0:tinc:0$ , marcando un error de programación. En su lugar se realiza  $x=0:tinc:tinc$ .

Para el segundo incremento del tiempo de integración y posteriores incrementos se ubica en las líneas 17 a la 21 sobre intervalo  $[\frac{1000}{2000}, \dots, 2\pi]$ . En la línea 23 se asigna la función  $\sin(x)$  para el correspondiente  $k$ -ésimo intervalo de integración  $[(k-1) \cdot \frac{1000}{2000}, k \cdot \frac{1000}{2000}]$ . La línea 24 tiene la función  $I_{trapez}(k) = \text{trapez}(x, f)$ . Este procedimiento se realiza un número de veces (2000) hasta igualar la dimensión del vector de tiempo  $t$ .

En la línea 28 se grafica la integral de la función  $\sin(x)$  por el método trapezoidal y se compara con el método analítico:

$$\begin{aligned}
 I_{\text{traz}} &= \int_0^{2\pi} \text{sen}(x) \, dx \\
 &= -\cos(x) \Big|_0^{2\pi} \\
 &= 1 - \cos(x), \quad x \in [0, 2\pi]
 \end{aligned}$$



### Código Fuente 2.7 Método de integración trapezoidal

```

%MATLAB Aplicado a Robótica y Mecatrónica
%Capítulo 2 Métodos numéricos
%Editorial Alfaomega
%Fernando Reyes Cortés
%Archivo cap2_trapezoidal.m
% calcula la integral de la función sen(x)
% el cálculo se realiza por medio de
%integración iterativa (2000 iteraciones)
%con incrementos de  $\frac{\pi}{1000}$ 
% para el intervalo  $[0, 2\pi]$ .

```

#### Método de integración trapezoidal

```

1 clc;
2 clear all;
3 close all;
4 % intervalo de integración
5 tini=0;% tiempo inicial de integración
6 tinc=pi/1000;% pasos de incremento del tiempo de integración
7 tfinal=2*pi;% tiempo final de integración
8 % base de tiempo de integración
9 t=tini:tinc:tfinal;
10 [m,n]=size(t);% dimensión del vector de tiempo

```



### Código Fuente 2.8 Método de integración trapezoidal

```
%Continúa programa 2.7
%MATLAB Aplicado a Robótica y Mecatrónica
%Capítulo 2 Métodos numéricos
%Editorial Alfaomega
%Fernando Reyes Cortés
%Archivo cap2_trapzoidal.m

Método de integración trapezoidal

11 for k=1:n
12     % registro de la base de tiempo
13     ts=t(k);
14     if k==1
15         % para el primer paso de integración
16         % se integra desde 0 a  $\frac{\pi}{1000}$ 
17         x=0:tinc:tinc;
18     else
19         % para el segundo paso de integración y posteriores
20         % se integra desde  $x = 0$  hasta el tiempo actual  $t_s$ .
21         x=0:tinc:ts;
22     end
23     f=sin(x); % función a integrar
24     I_trapz(k)= trapz(x,f); % integración por método trapezoidal
25 end
26 % gráfica comparativa entre los métodos
27 % analítico y trapezoidal
28 plot(x,I_trapz,x,1-cos(x))
```

La figura 2.7 muestra el resultado comparativo entre el método trapezoidal y el analítico para la integral de la función  $\sin(x)$  que genera el programa 2.7. Obsérvese que el método trapezoidal es una aproximación muy buena comparada con el exacto o método analítico, de tal forma que el resultado trapezoidal se superpone a la gráfica del método analítico ( $\cos(x)-1$ ) en el intervalo  $[0, 2\pi]$ .

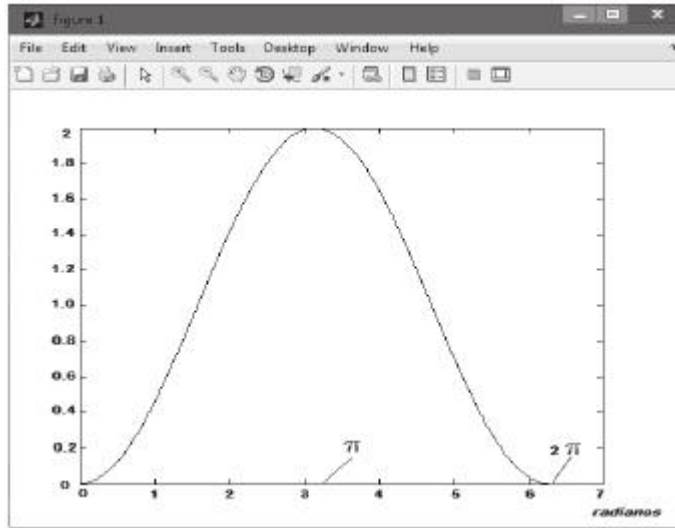


Figura 2.7 Comparación entre los métodos trapezoidal y analítico.



## Regla de Simpson

Cuando el área bajo la curva de la función  $f(x)$  es representada sobre áreas de secciones cuadráticas y si el intervalo  $[a, b]$  es dividido en  $2n$  secciones iguales, entonces el área de  $f(x)$  puede ser aproximada por la regla de Simpson cuya expresión está dada de la siguiente manera:

$$I_{\text{simp}} = \frac{b-a}{6n} [f(x_0) + 4f(x_1) + 2f(x_2) + 4f(x_3) + \dots + 2f(x_{2n-2}) + 4f(x_{2n-1}) + f(x_{2n})] \quad (2.12)$$

donde  $x_i$  representan los valores finales de cada sección, para  $i = 1, 2, \dots, n-1$ ;  $x_0 = a$ , y  $x_{2n} = b$ .

En **MATLAB**, la regla de Simpson se implementa en forma adaptiva por medio de la función `quad`; la tabla 2.1 muestra su sintaxis.

`quad(f,a,b)` aproxima la integral de una función  $f(x)$  dentro de los límites finitos  $[a, b]$ , usando un algoritmo recursivo adaptable de cuadratura de Simpson, donde  $a, b \in \mathbb{R}$ . El error de integración numérica que usa es  $1e-06$ . La función  $f(x)$  puede ser escalar o vectorial. En el caso vectorial `quad` retorna un vector de salida donde

**Tabla 2.1** Funciones de cuadratura

<code>quad('nombre_funcion',a,b)</code>	Retorna el área de la función en el intervalo comprendido entre $a$ y $b$ usando la regla de Simpson.
<code>q = quad(fun,a,b,tol)</code>	Emplea un error absoluto de tolerancia $tol$ en lugar del valor por default $1e-06$ sobre el intervalo $[a, b]$ . Valores grandes de $tol$ producen integración numérica muy rápida, pero con menor exactitud.

cada componente tiene la integral de la correspondiente componente de la función vectorial  $\mathbf{f}(\mathbf{x})$ . La función `quad` puede ser menos eficiente (pobre exactitud) con funciones no suaves.

**♣ Ejemplo 2.8**

Calcular la integral por el método de Simpson de la función raíz cuadrática  $f(x) = \sqrt{x}$  para intervalos no negativos  $[a, b]$ .

**Solución**

La función raíz cuadrada  $f(x) = \sqrt{x}$  puede ser integrada analíticamente sobre el intervalo  $[a, b]$ ,  $a, b \in \mathbb{R}_+$  de la siguiente forma:

$$I = \int_a^b \sqrt{x} \, dx = \frac{2}{3} \left[ x^{3/2} \right]_a^b \tag{2.13}$$

Este procedimiento sirve de referencia para comparar el valor numérico que calcula el método de Simpson.

El cuadro 2.9 contiene el programa para calcular la integral de la función  $f(x) = \sqrt{x}$  por el método de Simpson sobre un intervalo no negativo  $[a, b]$  especificado por el usuario, y el resultado es comparado con el método analítico (2.13) el cual se encuentra implementado en la línea 17.

Por precaución, sobre los datos del intervalo definido por el usuario se inserta la instrucción **if** para verificar que los extremos del intervalo sean positivos y además que cumplan  $a < b$ .

Se hace la aclaración que dentro del lenguaje de programación de **MATLAB** la función `sqrt` acepta valores negativos y retorna números complejos. Sin embargo, en modelado dinámico y control de robots manipuladores usando moldeado de energía (estabilidad de Lyapunov) no se requiere la teoría de números complejos.



### Código Fuente 2.9 Integración Simpson

```
%MATLAB Aplicado a Robótica y Mecatrónica
%Capítulo 2 Métodos numéricos
%Editorial Alfaomega
%Fernando Reyes Cortés
%Archivo cap2_simpson1.m
%Función quad para calcular la integral de la
%función raíz cuadrada por el método de Simpson.
%El resultado se compara con la integral analítica.
%El intervalo de integración es definido por el usuario.
```

#### Integración Simpson

```
1 clc;
2 clear all;
3 close all;
4 disp('Método de Simpson')
5 % los valores del intervalo [a, b] son proporcionados
6 % por el usuario desde el teclado
7 a=input('Introduzca el valor inicial del intervalo de integración: ');
8 b=input('Introduzca el valor final del intervalo de integración: ');
```



### Código Fuente 2.10 Integración Simpson

```

% Continuación del programa 2.9
%MATLAB Aplicado a Robótica y Mecatrónica
%Capítulo 2 Métodos numéricos
%Editorial Alfaomega
%Fernando Reyes Cortés
%Archivo cap2_simpson1.m


---


Integración Simpson


---


9 if a >= 0 && b >= 0
10     if a > b
11         disp('Error: el intervalo positivo [a,b] debe cumplir a < b.')
12         return
13     end
14     % regla de Simpson
15     % la función raíz cuadrada (sqrt) es indicada como
16     % cadena de caracteres en la función quad
17     I_simp=quad('sqrt',a,b);
18     % método analítico
19     I_a=2/3*(b^(3/2)-a^(3/2));
20     fprintf('Valor analítico=%f \n Simpson:%f \n', I_a, I_simp)
21     else % Para el caso de valores negativos
22         disp('Error en los valores del intervalo de integración.')
23         disp('El intervalo [a,b] con a < b debe contener únicamente valores positivos.')
24 end

```

La salida del programa cap2\_simpson1.m produce resultados idénticos entre el método de Simpson con el analítico:

Valor analítico=33.333333

Simpson=33.333333

corresponde al intervalo  $a=0$  y  $b=10$ .

### ♣ Ejemplo 2.9

Calcular la integral de la función  $f(x) = x^5$  por el método de Simpson.

### Solución

La integral de la función  $f(x) = x^5$  está dada por:

$$I = \int_a^b x^5 dx = \frac{1}{6} (b^6 - a^6) \quad (2.14)$$

El cuadro 2.11 contiene el código fuente para aproximar la integral de la función cuadrática  $f(x) = x^2$  por el método de Simpson sobre un intervalo de  $[0, 10]$ . En la línea 6, la función cuadrática es utilizada a través de un manejador de funciones:  $f=@(x)x.^5$ ; e incorporada la función `quad(f,a,b)` en la línea 7.



#### Código Fuente 2.11 Método de Simpson

```
%MATLAB Aplicado a Robótica y Mecatrónica
```

```
%Capítulo 2 Métodos numéricos
```

```
%Editorial Alfaomega
```

```
%Fernando Reyes Cortés
```

```
%Archivo cap2_simpson.m
```

---

```
Método de Simpson
```

---

```
1 clc;
2 clear all;
3 close all;
4 a=0; b=10;
5 x=a:b;
6 f= @(x)x.^5; %función cuadrática
7 I_simp=quad(f,a,b);
8 I_a= (1/6)*(b^6-a^6); % método analítico
9 % comparación entre el método analítico y el de Simpson
10 fprintf('Valor analítico=%f \n Simpson:%f \n',I_a,I_simp)
```

La salida del programa cap2\_simpson.m es la siguiente:

Valor analítico=166666.666667

Simpson=166666.666667

corresponde al intervalo [0, 10].



## Funciones de cuadratura

**MATLAB** tiene varias funciones que calculan la integral de funciones por métodos numéricos conocidas como funciones de **cuadratura**. Adicional a la regla de Simpson `quad`, existen más opciones que se presentan a continuación:

### `quad8`

La función `quad8('nombre función',a,b)` retorna el área de la función en el intervalo  $[a, b]$  usando la regla de Newton-Cotes 8 panel.

### `quadl`

$q = \text{quadl}(f,a,b)$  aproxima la integral de la función  $f$  en un intervalo finito  $[a, b]$  dentro de un error  $1e-06$  usando el algoritmo recursivo adaptable de cuadratura de Lobatto. La sintaxis de `quadl` requiere que la función  $f$  sea una función manejador.

`quadl` acepta funciones vectoriales y retorna un vector con la integral de cada componente. `quadl` puede ser más eficiente (alta exactitud) que la función `quad` con funciones suaves.

### `quadgk`

La función `quadgk` tiene buena eficiencia para funciones oscilatorias, y soporta intervalos de integración infinitos, así como manejar moderadamente valores singulares. Una ventaja de esta función es que soporta integración de contorno a lo largo de trayectorias continuas por trozos. Si el intervalo de integración es infinito, es decir  $[a, \infty]$ , entonces para que la integral de  $f(x)$  exista,  $f(x)$  debe caer como

$x \rightarrow \infty$ . Esta es una condición para poderse utilizar `quadgk`, particularmente para funciones oscilatorias sobre intervalos infinitos,  $f(x)$  debe caer muy rápida.

Una ventaja que tiene la función `quadgk` es que integraría funciones que tienen puntos singulares no muy fuertes. Si la función tiene puntos singulares dentro del intervalo  $(a, b)$ , entonces lo recomendable es escribir la integral como la suma de integrales sobre subintervalos con puntos singulares como puntos finales, computar cada integral con `quadgk` y sumar los resultados.

### quadv

La función `quadv` vectoriza a `quad` para una función vectorial.



## Método de Euler

Un método ampliamente utilizado en robótica y sistemas mecatrónicos es la integración numérica discreta, la cual se puede establecer directamente del método de Euler.

Por ejemplo al derivar con respecto al tiempo la integral  $I(t)$  de la función  $f(t)$  se obtiene lo siguiente:

$$I(t) = \int_{t_1}^{t_2} f(t) dt \Rightarrow \dot{I}(t) = f(t) \quad \forall t \in [t_1, t_2]. \quad (2.15)$$

Partiendo de la definición matemática de la derivada se tiene:

$$\dot{I}(t) = \lim_{\Delta t \rightarrow 0} \frac{I(t + \Delta t) - I(t)}{\Delta t} \quad (2.16)$$

$$(2.17)$$

donde  $\Delta t = t_2 - t_1$ , representa un infinitésimo intervalo de tiempo.

Si aproximamos a la derivada  $\dot{I}(t)$  en su forma discreta  $\dot{I}(t_k)$  entonces el tiempo discreto está dado por  $t_k = kh$ ,  $k = 1, 2, \dots, n$  y  $h$  es el periodo de muestreo. De esta forma se cumple  $t_{k-1} = (k-1)h$  y  $t_k - t_{k-1} = kh - (k-1)h = h$ .

Por lo tanto la derivada discreta  $\dot{I}(t_k)$  se puede realizar por diferenciación numérica de la posición  $I(t_k)$  de la siguiente forma:

$$\dot{I}(t_k) = \frac{I(t_k) - I(t_{k-1})}{t_k - t_{k-1}} = \frac{I(t_k) - I(t_{k-1})}{h} = f(t_k). \quad (2.18)$$

La expresión 2.18 se conoce como método de Euler y sirve para estimar la velocidad por diferenciación numérica de la posición.

Despejando  $I(t_k)$  de la expresión (2.18), la integral discreta adquiere la siguiente forma:

$$I(t_k) = I(t_{k-1}) + hf(t_k) \quad (2.19)$$

La expresión (2.19) es muy simple, se convierte en una sumatoria y es adecuada para poderse implementar como algoritmo recursivo.

### ♣ Ejemplo 2.10

Calcular la integral de la función  $f(t) = \sin(t)$  por el método de Euler en forma recursiva para el periodo de integración  $t \in [0, 10]$  segundos. El incremento del tiempo es por pasos de un milisegundo.

### Solución

En el cuadro 2.12 se presenta el código fuente que implementa el método de Euler para integrar la función  $f(t) = \sin(t)$ . El intervalo de integración es de 0 a 10 segundos, con incremento de un milisegundo. Este mismo incremento se toma como el valor del periodo de muestreo  $h = 0.001$ . Para propósitos de comparación el resultado generado por el método de Euler se compara con el método trapezoidal.



### Código Fuente 2.12 Método de Euler

```
%MATLAB Aplicado a Robótica y Mecatrónica
%Capítulo 2 Métodos numéricos
%Editorial Alfaomega
%Fernando Reyes Cortés
%Archivo cap2_euler.m

Método de Euler

1 clc;
2 clear all;
3 close all;
4 h=0.001;% periodo de muestreo
5 t=0:h:10;% intervalo de integración
6 f=sin(t); % función a integrar
7 I_e=0;% condición inicial de la integral por
8 % método de Euler
9 % método comparativo trapezoidal
10 I_trap=trapz(t,f);
11 % método comparativo regla de Simpson
12 I_simp=quad('sin',0,10);
13 [m, n]=size(t); % Orden del vector de tiempo
14 for k=1:n
15 | I_e=I_e+h*f(k);
16 end
17 fprintf('Método Euler= %f \n Método Trapezoidal= %f \n Regla de Simpson = %f
\n',I_e,I_trap, I_simp)
```

La salida del programa cap2\_euler.m produce el siguiente resultado.

```
Método Euler= 1.838799
Método Trapezoidal= 1.839071
Regla de Simpson= 1.839072
```

Los resultados corresponden al intervalo [0, 10], con incrementos de 0.001.

Obsérvese que existe un mayor error de integración del método de Euler con respecto a los métodos trapezoidal y el de Simpson. Sin embargo, en robótica se utiliza el método de Euler para estimar la velocidad de movimiento del robot por diferenciación numérica de la posición.

## 2.5 Sistemas dinámicos de primer orden

Los sistemas dinámicos están formados por ecuaciones diferenciales, ya que representan la estructura matemática fundamental para modelar la dinámica de los robots manipuladores y de cualquier sistema mecatrónico. A través de estas ecuaciones es posible estudiar en detalle todos los fenómenos físicos que se encuentran presentes en la estructura mecánica de los robots.

Particularmente la ecuación diferencial ordinaria de primer orden:

$$\dot{\mathbf{x}} = \mathbf{f}(\mathbf{x}) \quad (2.20)$$

representa la base matemática del modelado dinámico y control de robots manipuladores. Donde  $\mathbf{x} \in \mathbb{R}^n$  es la solución de la ecuación diferencial (2.20); también representa la variable de estado, la cual proporciona información sobre la dinámica del sistema, por esta razón  $\mathbf{x}$  es que es una función continua del tiempo  $\mathbf{x} = \mathbf{x}(t)$ . En otras palabras dentro de las propiedades intrínsecas de las variables de estado se encuentra que es una función implícita del tiempo. La variable  $\mathbf{x}$  representa los cambios de estado dinámicos  $\mathbf{x}(t)$  en el tiempo.

La ecuación 2.20 es un sistema dinámico autónomo para modelar dinámica lineal y no lineal de sistemas mecatrónicos y robóticos. Este tipo de ecuación dinámica se emplea en la simulación, diseño de algoritmos de control, análisis y estudio de fenómenos físicos y construcción de sistemas mecatrónicos.

Prácticamente cualquier sistema dinámico autónomo (que no depende de manera explícita del tiempo) cuyo modelo matemático esté caracterizado por ecuaciones diferenciales de cualquier orden puede ser convertido mediante un adecuado cambio de variables de estado a la forma de la ecuación 2.20, entonces se puede simular mediante un adecuado procedimiento de integración numérica.



## Método de Runge-Kutta

Uno de los métodos más importantes para integración numérica de ecuaciones diferenciales de primer orden (2.20) son los métodos de Runge-Kutta. Dichos métodos se basan en aproximar la solución a través de series de Taylor. El método más simple, el denominado método de primer orden, usa una serie de expansión de Taylor de primer orden, el método de segundo orden usa la serie de expansión de Taylor de segundo orden, y así sucesivamente (el método de Euler es equivalente al de primer orden de Runge-Kutta). **MATLAB** tiene funciones del método de Runge-Kutta para los órdenes segundo, tercero, cuarto y quinto.

La serie de Taylor para evaluarla en el  $t_k$ -ésimo tiempo a la función  $x(t_k)$  está dada por la siguiente expresión:

$$x(t_k) = x(t_{k-1}) + (t_k - t_{k-1})x'(t_{k-1}) + \frac{(t_k - t_{k-1})^2}{2!}x''(t_{k-1}) + \dots + \frac{(t_k - t_{k-1})^n}{n!} \overset{\text{n derivadas}}{x^{(n)}(t_{k-1})} + \dots \quad (2.21)$$

El término  $t_k - t_{k-1}$  representa un pequeño intervalo el cual sería representado por  $h = t_k - t_{k-1} = kh - (k-1)h$ , entonces la serie de Taylor queda de la siguiente forma:

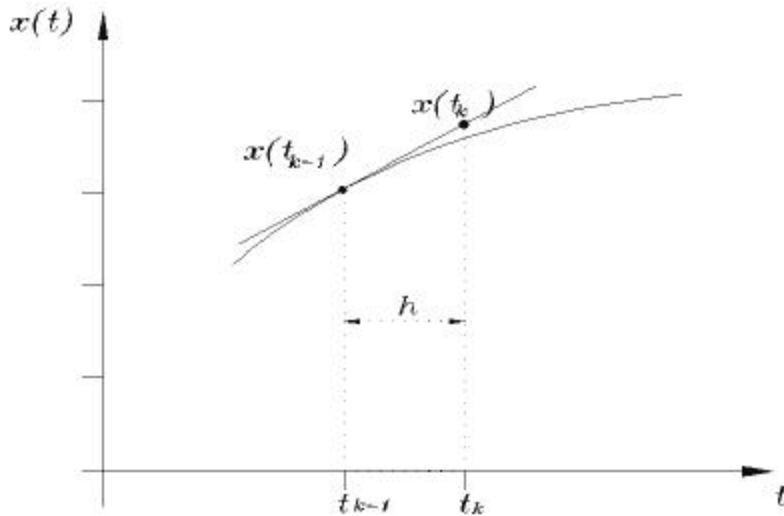
$$x(t_k) = x(t_{k-1}) + hx'(t_{k-1}) + \frac{h^2}{2!}x''(t_{k-1}) + \dots + \frac{h^n}{n!} \overset{\text{n derivadas}}{x^{(n)}(t_{k-1})} + \dots \quad (2.22)$$

### Método de Runge-Kutta de primer orden

La integración numérica de la ecuación 2.20 por el método de Runge-Kutta de primer orden está dado de la siguiente manera:

$$x(t_k) = x(t_{k-1}) + hx'(t_{k-1}) = x(t_{k-1}) + hf(t_{k-1}) \quad (2.23)$$

La interpretación geométrica de la ecuación (2.23) significa que el valor de estimación de  $x(t_k)$  es igual a la línea tangente que la une con el valor  $x(t_{k-1})$  como se muestra en la figura 2.8. Este es un proceso iterativo para todos los puntos  $x(t_k)$ , con  $k = 1, 2, \dots, n$ . El primer método de Runge-Kutta es muy simple, ya que aproxima



**Figura 2.8** Cálculo de  $x(t_k)$  usando el primer el método de Runge-Kutta primer orden.

la función con una serie de Taylor corta que une los puntos  $t_k$  y  $t_{k-1}$  con líneas tangentes, por lo cual la exactitud es pobre si el paso  $h = t_k - t_{k-1}$  es grande o si la pendiente de la función cambia rápidamente.

### Método de Runge-Kutta de orden mayor

Los métodos de Runge-Kutta de orden mayor (dos, tercero, cuarto, y quinto) se usan para aproximar funciones desconocidas; la aproximación se realiza a través de varias líneas tangentes, por lo tanto la exactitud es mejorada. Por ejemplo, en el método de integración de cuarto orden usa la serie de Taylor con las primeras cuatro derivadas, es decir la estimación de la función  $x(t_k)$  es a través de 4 líneas tangentes.

## Funciones ode

**MATLAB** tiene las funciones para integrar la solución numérica de ecuaciones diferenciales ordinarias de primer orden llamadas `ode`.

### ode45

La sintaxis de la función `ode45` es la siguiente:



```
[t,x]=ode45('nombre funcion',ts,cond iniciales,opciones)
```

La función `ode45` utiliza los métodos de Runge-Kutta de cuarto y quinto orden. `nombre.funcion` representa una función M-File donde está implementado el sistema dinámico en la estructura matemática  $\dot{\mathbf{x}} = \mathbf{f}(\mathbf{x})$ .

La función `ode45` retorna la solución del sistema  $\dot{\mathbf{x}} = \mathbf{f}(\mathbf{x})$ , es decir  $\mathbf{x}$ , así como el vector de tiempo  $t$ . El tiempo de simulación o el intervalo de integración se encuentra especificado por `ts = [t_inicial, t_final]`, por ejemplo se puede especificar como un intervalo `[0, 10]`. También es válido expresarlo como: `ts = 0 : 0.001 : 10`, el cual incluye incrementos de tiempo de un milisegundo. Las condiciones iniciales se encuentran determinadas por `cond iniciales`, su forma depende del orden del sistema. Por ejemplo, para un sistema escalar `cond iniciales=0`; para el caso vectorial  $\mathbf{x}(0) \in \mathbb{R}^3$ , tenemos `cond iniciales=[0;0;0]`.

El cuarto parámetro de opciones es muy importante debido a que contiene las propiedades de integración numérica, y de eso depende la simulación del sistema. Para tal efecto se emplea la función `odeset` de la siguiente forma:

```
opciones=odeset('RelTol',1e-3,'AbsTol',1e-6,'InitialStep',1.0e-3,'MaxStep',1.0e-3)
```



### Error de integración

En cada  $j$ -ésimo paso de integración se estima un error local de la  $j$ -ésima componente de la solución; este error debe ser menor o igual que el error aceptable, el cual es una función de la tolerancia relativa

RelTol y de la tolerancia absoluta AbsTol. La expresión para  $e(i)$  satisface la siguiente condición:  $|e(i)| = \max(\text{RelTol}|x(i), \text{AbsTol}(i)|)$ .

RelTol representa el error relativo de tolerancia que se aplica a todas las componentes  $x_i$  del vector solución  $\mathbf{x} \in \mathbb{R}^n$ . Este parámetro también controla el número correcto de dígitos en todas las componentes  $x_i$ . El valor típico RelTol =  $1e-3$ , el cual corresponde al 0.1 % de exactitud.

RelTol

Error absoluto de tolerancia que se aplica a todas las componentes individuales  $x_i$  del vector solución  $\mathbf{x}$ . También determina la exactitud cuando la solución se aproxima a cero.

AbsTol

Si AbsTol es un vector, entonces su dimensión debe ser la misma del vector  $\mathbf{x}$ . El valor de cada componente de AbsTol se aplica a la correspondiente componente  $x_i$ .

Si AbsTol es un escalar, ese valor se aplica a todas las componentes  $x_i$  del vector solución  $\mathbf{x}$ .

Generalmente, el valor típico que se le asigna a AbsTol es: AbsTol =  $1e-6$ .

NormControl

NormControl significa la norma del error relativo. Esta opción solicita a la función ode45 que el error de integración en cada paso cumpla con la siguiente condición:  $e \leq \max(\text{RelTol } \mathbf{x}, \text{AbsTol})$ . Se habilita/deshabilita como: on (off). Para funciones suaves, la función ode45 entrega un error equivalente a la exactitud solicitada. La exactitud es menor para problemas donde el intervalo de integración es grande y para problemas moderadamente inestables.



### Paso de integración

InitialStep	<p>Especifica el valor inicial del paso de integración. Representa una cota superior en la magnitud del primer paso. En caso de no especificarlo, entonces el tamaño del paso se obtiene como la pendiente de la solución en el tiempo inicial. Si la pendiente de todas las componentes de la solución es cero, entonces el procedimiento puede generar un tamaño de paso muy grande. Por lo tanto, es recomendable iniciar con un valor adecuado esta opción.</p>
MaxStep	<p>Representa una cota superior del tamaño del paso, es un valor escalar positivo que se obtiene de la siguiente forma: <math>0.1 t_{\text{inicial}} - t_{\text{final}} </math>. La ecuación diferencial tiene soluciones o coeficientes periódicos, es recomendable inicializar <math>\text{MaxStep} = \frac{1}{4}</math> del periodo.</p>

La función `ode45` es la que presenta mayor exactitud en el método de integración para el sistema  $\dot{\mathbf{x}} = \mathbf{f}(\mathbf{x})$ . Sin embargo, debido a esto también puede tomar más tiempo en dicho proceso.

A continuación se describe otras opciones de funciones para resolver ecuaciones diferenciales ordinarias de primer orden, cuya sintaxis es exactamente la misma que la función `ode45`. Sin embargo, tienen otras características operativas.

### ode23

La función `ode23` utiliza el segundo y tercer método de integración. Tiene menor exactitud comparada con la función `ode45`. Sin embargo, puede realizar más rápido el proceso de integración numérica. La sintaxis está dada por:

```
[t,x]=ode23('nombre funcion',ts,cond iniciales,opciones)
```

**ode113**

```
[t,x]=ode113('nombre funcion',ts,cond iniciales,opciones)
```



Esta función se recomienda para resolver sistemas dinámicos complicados; mantiene un error de integración riguroso. La función ode113 es un método de integración de orden variable propuesto por Adams-Bashforth-Moulton.

**ode15s**

```
[t,x]=ode15s('nombre funcion',ts,cond iniciales,opciones)
```



Para el caso en que el proceso de integración de la función ode45 sea muy lento debido a la rigidez del sistema dinámico, entonces es recomendable usar la función ode15s. Esta función es de orden variable, multi pasos basada en diferenciación numérica (backward o método Gear).

**ode23s**

```
[t,x]=ode23s('nombre funcion',ts,cond iniciales,opciones)
```



Es muy útil para sistemas dinámicos masa-resorte con alta rigidez en que el resorte la matriz de masas es constante. La función ode23s se basa en el método modificado de segundo orden de Rosenbrock. Debido a que el proceso de integración es por pequeños pasos, puede ser más eficiente que la función ode15s para tolerancias pequeñas en el error de integración. Además es mucho más efectivo en sistemas dinámicos con rigidez donde ode15s no lo es.

**ode23t**

```
[t,x]=ode23t('nombre funcion',ts,cond iniciales,opciones)
```



La función `ode23t` emplea el método trapezoidal usando una interpolación libre. Es recomendable para resolver sistemas dinámicos moderados en la rigidez del resorte, sin utilizar amortiguamiento. La exactitud en la integración es baja.

### ode23tb



`[t,x]=ode23tb('nombre funcion',ts,cond iniciales,opciones)`

La función `ode23tb` es una combinación de métodos de Runge-Kutta y diferenciación numérica (backward) de segundo orden. Para sistemas dinámicos con alta rigidez del resorte y errores de integración muy pequeños, la exactitud de integración es baja.



## Simulación de sistemas dinámicos $\dot{x} = f(x)$

A continuación se presenta una serie de ejemplos ilustrativos cuya finalidad es mostrar el empleo de las funciones `ode` en simulación de sistemas mecatrónicos y robots manipuladores.

### ♣ Ejemplo 2.11

Considere un sistema dinámico lineal escalar dado de la siguiente forma:

$$\begin{aligned}\dot{x}(t) &= -ax(t) + bu(t) \\ y(t) &= cx(t)\end{aligned}$$

donde  $x$  es la solución del sistema dinámico y representa la variable de estado. La entrada del sistema es  $u(t)$  y la respuesta es  $y$ . Los parámetros están dados por  $a, b, c \in \mathbb{R}_+$ .

Realizar la simulación del sistema usando integración numérica a través de la función `ode45`. Para una entrada  $u = 1$ , y parámetros  $a = 1.33$ ,  $b = 2.6$  y  $c = 1$ .

**Solución**

El sistema dinámico lineal escalar tiene una función de transferencia (control clásico) dada por:

$$\frac{x}{y} = \frac{b}{s + a}$$

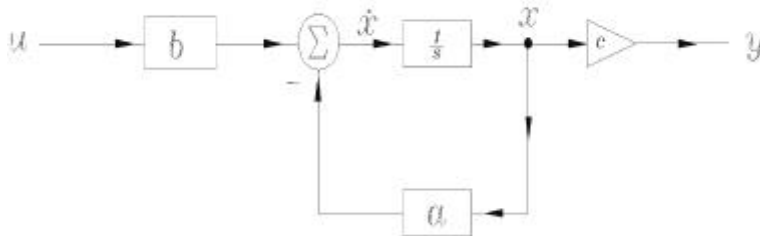
donde  $s = j\omega$ ,  $j$  representa la parte imaginaria o compleja, y  $\omega \in \mathbb{R}_+$  es la frecuencia en rad/seg. El parámetro  $a \in \mathbb{R}_+$  es el ancho de banda del sistema y  $b \in \mathbb{R}_+$  significa la ganancia del sistema. Por otro lado,  $c \in \mathbb{R}_+$  es una ganancia de un amplificador operacional que acopla de manera adecuada la impedancia entre la variable de estado  $x$  y la respuesta del sistema  $y$ .

Para obtener la ecuación diferencial (modelo dinámico) a partir de la función de transferencia, entonces  $s$  no representa frecuencia, en este caso se interpreta como un operador  $s = \frac{d}{dt}$ :

$$\begin{aligned} \frac{x}{y} = \frac{b}{s + a} &\Rightarrow sx + ax = bu \\ &\Rightarrow \dot{x} = -ax + bu \\ y &= cx \end{aligned}$$

donde se ha empleado que  $sx = \frac{d}{dt}x = \dot{x}$ :

La figura 2.9 muestra el diagrama a bloques del sistema dinámico lineal.

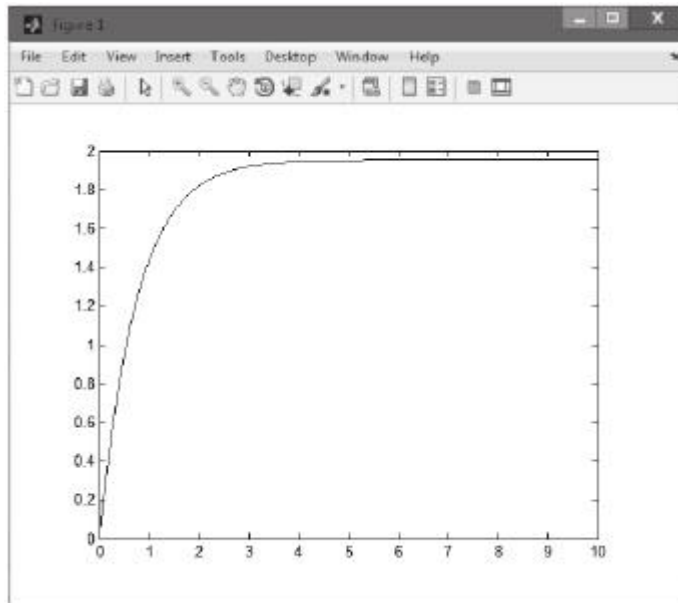


**Figura 2.9** Diagrama a bloques de un sistema dinámico lineal.

El programa que implementa al sistema dinámico lineal o planta de estudio se encuentra contenido en el cuadro 2.13 archivo cap2 ejemplo26 (M-File). Para resolver el sistema dinámico, se emplea la función de integración numérica ode45. Por facilidad, se emplea una entrada constante de magnitud unitaria. Los valores de los parámetros de la planta son  $a = 1,33$  y  $b = 2,6$ . La ganancia del amplificador es unitaria  $c = 1$ .

Para ejecutar correctamente la función cap2 ejemplo26 se requiere del programa simuejemplo26 que se encuentra listado en el cuadro 2.13, donde se definen las propiedades de integración usando la función odeset, las cuales son incorporadas en la función ode45. El tiempo de simulación es de 0 a 10 segundos con incrementos de una milésima de segundo.

La salida del programa 2.13 se presenta en la figura 2.10, observe que la respuesta a una entrada constante de magnitud unitaria no produce sobre impulso para sistemas lineales de primer orden. En estado estacionario, la salida  $x(t)$  llega a un valor de 1.9549 (frecuencia cero o DC:  $s = 0$ ) debido a que la función de transferencia adquiere la forma  $\frac{b}{a} = 1,9549$ .



**Figura 2.10** Respuesta a una entrada constante unitaria del sistema lineal escalar.



### Código Fuente 2.13 Sistema lineal escalar

```
%MATLAB Aplicado a Robótica y Mecatrónica
%Capítulo 2 Métodos numéricos
%Editorial Alfaomega
%Fernando Reyes Cortés
%Archivo cap2_ejemplo26
% Simulación de un sistema lineal escalar
% de la forma  $\dot{x} = -ax + bu$ 
%Entradas de la función: t tiempo
% x vector de estados
%  $\dot{x}$  (xp) es la velocidad del estado x
% u es la entrada al sistema
% a, b son los parámetros
% Salida derivada de la variable de estados: xp
% Para su correcta ejecución requiere del archivo
%cap2_simuejemplo26
```

#### Sistema lineal escalar

```
1 function xp =cap2_ejemplo26(t,x)
2     %parámetros del sistema: a, b.
3     %el parámetro a representa el ancho de banda
4     %del sistema dinámico lineal.
5     a=1.33;
6     %la proporción  $\frac{b}{a}$  es la ganancia
7     %de la función de transferencia en frecuencia cero.
8     b=2.6;
9     %señal de entrada unitaria
10    u=1;
11    %sistema dinámico lineal escalar
12    xp=-a*x+b*u;
13    %fin de función
14 end
```



### Código Fuente 2.14 Simulación del ejemplo 2.11

```

%MATLAB Aplicado a Robótica y Mecatrónica
%Capítulo 2 Métodos numéricos
%Editorial Alfaomega
%Fernando Reyes Cortés
%Archivo cap2 simuejemplo26
% Realiza la simulación de un sistema dinámico lineal escalar
% Requiere del archivo cap2 ejemplo26.m

```

---

Simulación del ejemplo 2.11

```

1 clc;
2 clear all;
3 close all;
4 %tiempo de simulación
5 ti=0;%tiempo inicial
6 tf = 10;% tiempo de simulación (segundos)
7 h=0.001;% incremento de un milisegundo
8 ts=ti:h:tf;% vector de tiempo
9 cond_iniciales=0;
10 %opciones del proceso de integración numérica
11 opciones=odeset('RelTol',h, 'AbsTol',1e-06,'InitialStep',h,'MaxStep',h);
12 % función ode45 para integración numérica
13 % solución del sistema x(t) por integración numérica Runge-Kutta de cuarto y
    quinto orden:
14 disp('Simulación de un sistema lineal escalar')
15 [t,x]=ode45('cap2 ejemplo26',ts,cond_iniciales,opciones);
16 % ganancia del amplificador que acopla impedancia de la variable de estados x(t)
    con la salida.
17 c=1;
18 %salida del sistema
19 y=c*x;
20 % gráfica del sistema lineal escalar
21 plot(t,y)

```

### ♣ ♣ Ejemplo 2.12

Considere un sistema dinámico lineal de segundo orden, dado por la siguiente ecuación:

$$\begin{aligned} \dot{\mathbf{x}}(t) &= \begin{bmatrix} 0 & 1 \\ -\omega_n^2 & -2\rho\omega_n \end{bmatrix} \mathbf{x}(t) + \begin{bmatrix} 0 \\ \omega_n \end{bmatrix} u(t) \\ y(t) &= [1 \ 0] \mathbf{x}(t) \end{aligned}$$

donde  $\mathbf{x} \in \mathbb{R}^n$  es el vector solución del sistema dinámico y representa la variable de estado. La entrada del sistema es  $u(t)$  y la respuesta es  $y$ . Los parámetros están dados por:  $\omega_n \in \mathbb{R}_+$  es la frecuencia natural del sistema,  $\rho \in \mathbb{R}_+$  es el factor de amortiguamiento (damping) y  $s = j\omega$ ,  $j$  es la componente imaginaria o compleja,  $\omega$  es la frecuencia en rad/seg,  $t$  es la evolución del tiempo.

### Solución

El sistema dinámico lineal de segundo orden puede ser deducido de la siguiente función de transferencia

$$\frac{y}{u} = \frac{\omega_n}{s^2 + 2\rho\omega_n s + \omega_n^2}.$$

Manipulando la función de transferencia y considerando que  $s = \frac{d}{dt}$ ,  $s^2 = \frac{d^2}{dt^2}$ ,  $s^2 y(t) = \ddot{y}(t)$ ,  $sy(t) = \dot{y}(t)$ , se obtiene lo siguiente:

$$\begin{aligned} \frac{y}{u} = \frac{\omega_n}{s^2 + 2\rho\omega_n s + \omega_n^2} &\Rightarrow s^2 y(t) + 2\rho\omega_n sy(t) + \omega_n^2 y(t) = \omega_n u(t) \\ &\Rightarrow \ddot{y}(t) + 2\rho\omega_n \dot{y}(t) + \omega_n^2 y(t) = \omega_n u(t). \end{aligned}$$

Ahora se realiza un cambio adecuado de variable. Sea  $x_1(t) = y(t)$ ,  $x_2(t) = \dot{x}_1(t) = \dot{y}(t)$ , entonces

$$\dot{x}_2(t) + 2\rho\omega_n x_2(t) + \omega_n^2 x_1(t) = \omega_n u(t).$$

Por lo tanto, el sistema dinámico de la forma  $\dot{\mathbf{x}}(t) = \mathbf{A}\mathbf{x}(t) + \mathbf{B}u(t)$  está dado de la

siguiente forma:

$$\frac{d}{dt} \begin{bmatrix} x_1 \\ x_2 \end{bmatrix} = \begin{bmatrix} 0 & 1 \\ -\omega_n^2 & -2\rho\omega_n \end{bmatrix} \begin{bmatrix} x_1 \\ x_2 \end{bmatrix} + \begin{bmatrix} 0 \\ \omega_n \end{bmatrix} u$$

$$y = \mathbf{c}^T \mathbf{x} = [1 \quad 0] \begin{bmatrix} x_1 \\ x_2 \end{bmatrix}$$

El programa que implementa al sistema dinámico lineal de segundo orden se encuentra descrito en el cuadro 2.15 que corresponde al archivo cap2 ejemplo27 (M-File). Para resolver el sistema dinámico por integración numérica, se emplea la función ode45. Por facilidad, se emplea una entrada constante unitaria para estudiar la respuesta del sistema para varios valores de amortiguamiento  $\rho$  y frecuencia de resonancia  $\omega_n$ .

Para ejecutar correctamente la función cap2 ejemplo27 se requiere del programa simuejemplo27 que se encuentra listado en el cuadro 2.15, donde se definen las propiedades de integración usando la función odeset, las cuales son incorporadas en la función ode45. El tiempo de simulación es de 0 a 10 segundos con incrementos de una milésima de segundo.

La salida del programa 2.15 se presenta en la figura 2.11, observe que la respuesta a una entrada constante de magnitud unitaria puede generar varios sobre impulsos, esto depende del valor que tome  $\rho$ . Por ejemplo, para valores de  $0 < \rho < 1$  se le conoce como sub-amortiguado, se caracteriza por presentar una etapa transitoria muy abrupta, rápida y compuesta por varios sobre impulsos y oscilaciones. Cuando  $\rho = 1$  se le conoce como amortiguamiento crítico, disminuye considerablemente las oscilaciones. Sobre amortiguado es para valores de  $\rho > 1$  el cual no presenta oscilaciones, es muy lento para llegar a la etapa transitoria.

La figura 2.11 fue obtenida variando los valores de  $\rho = 0.2, 0.4, 0.6, 0.8, 1, 2$ , para generar la respuesta sub-amortiguada, amortiguamiento crítico y sobre amortiguada. Se puede observar las oscilaciones muy pronunciadas que presenta en la etapa sub-amortiguada y a medida que  $\rho$  va aumentando su valor, entonces las oscilaciones gradualmente van disminuyendo hasta desaparecer completamente para  $\rho > 1$ . Cuando  $\rho = 0$ , el sistema oscila a la frecuencia natural de resonancia  $\omega_n$ .



### Código Fuente 2.15 Sistema lineal de segundo orden

```
%MATLAB Aplicado a Robótica y Mecatrónica
%Capítulo 2 Métodos numéricos
%Editorial Alfaomega
%Fernando Reyes Cortés
%Archivo cap2_ejemplo27
%Sistema dinámico lineal de segundo orden
%Para su correcta ejecución requiere del
%programa cap2_simuejemplo27
%Entradas: t tiempo
% x vector de estados
% Salida xp=Ax+Bu
% la matriz A está formada por  $\rho$  factor
% de amortiguamiento y  $\omega_n$  la frecuencia natural
% de resonancia mecánica.
```

---

Sistema lineal de segundo orden

---

```
1 function xp =cap2_ejemplo27(t,x)
2     % frecuencia natural de resonancia
3     wn=1;
4     % factor de amortiguamiento
5     rho=1;
6     A=[ 0, 1;
7         -wn^2, -2*rho*wn];
8     %matriz B
9     B=[0;
10        wn];
11    %señal de entrada
12    u=1;
13    %sistema dinámico lineal
14    xp=A*x+B*u;
15 end
```



### Código Fuente 2.16 Simulación del ejemplo 2.12

```
%MATLAB Aplicado a Robótica y Mecatrónica
%Capítulo 2 Métodos numéricos
%Editorial Alfaomega
%Fernando Reyes Cortés
%Archivo cap2_simuejemplo27
% Simulación: sistema dinámico lineal de primer orden
% requiere del archivo cap2_ejemplo27.m
```

#### Simulación del ejemplo 2.12

```
1 clc; clear all; close all;
2 % parámetros de simulación:
3 ti=0; tf = 10; h=0.001;
4 % intervalo de simulación
5 ts=ti:h:tf;
6 cond_iniciales=[0;0];
7 opciones=odeset('RelTol',h, 'AbsTol',1e-06,'InitialStep',h,'MaxStep',h);
8 disp('Simulación de un sistema lineal de segundo orden')
9 [t,x]=ode45('cap2_ejemplo27',ts,cond_iniciales,opciones);
10 y=x(:,1); %salida del sistema
11 plot(t,y)
```

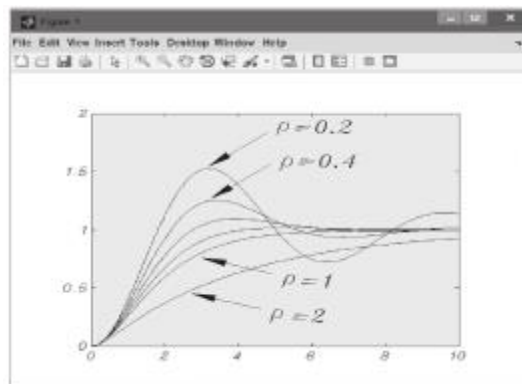


Figura 2.11 Respuesta a una entrada escalón.

## 2.6 Resumen



Métodos de integración y diferenciación numérica representan una herramienta poderosa de cómputo en la implementación práctica para análisis y estudios de esquemas de control en simulación y en evaluación práctica de sistemas mecatrónicos y robots manipuladores.

Existen varios métodos prácticos para resolver una integral, entre los más importantes se encuentran trapezoidal, Simpson, Euler recursivo, Runge-Kutta. Sin embargo, dependiendo de la naturaleza del problema, la selección de un método influye directamente en el desempeño, calidad y fidelidad del proceso de simulación o experimentación.

Por ejemplo, el método recursivo de Euler es muy rápido y puede ser incluido en el código del experimento para realizarse en tiempo real. Sin embargo, la exactitud con que aproxima la integral es pobre en contraste con otros métodos como el trapezoidal o el de Simpson, que pudieran ser mejores opciones para propósitos de simulación.

Para el caso de esquemas de control de robots manipuladores donde se involucre alguna integral como el caso del algoritmo proporcional integral derivativo, el método recursivo de Euler puede ser una buena opción a pesar de que la exactitud en la aproximación de dicha integral no sea bueno. Esta característica no es importante debido a que el desempeño del algoritmo de control depende de la sintonía de las ganancias y por lo tanto la pobre exactitud queda absorbida por la ganancia integral.

Para el estudio y análisis de la dinámica en sistemas mecatrónicos o robots manipuladores es importante convertir mediante un adecuado cambio de variables de estado (variables fase) el modelo dinámico a la forma de una ecuación diferencial de primer orden  $\dot{\mathbf{x}} = \mathbf{f}(\mathbf{x})$ .

La simulación de estos sistemas dinámicos se realiza por medio de la función `ode45` (método de Runge-Kutta para orden cuarto y quinto), con pasos de integración de un milisegundos. Las propiedades del método de integración, así como las condiciones iniciales del vector  $\mathbf{x}(0)$  se configuran con la función `odeset`.



## Parte I referencias selectas

Existe una extensa literatura sobre los aspectos básicos de **MATLAB**, así como métodos numéricos. A continuación se presenta literatura selecta correspondiente a la Parte I donde el lector puede profundizar sobre los tópicos presentados.



### Capítulo 1 Conceptos básicos



<http://www.mathworks.com>



Delores M. Etter. "Engineering problem solving with **MATLAB**".  
Second edition. Prentice-Hall. 1997.



Shoichiro Nakamura. "Análisis numérico y visualización gráfica  
con MATLAB ". Pearson Educación. 1997.



Ashish Tewari. "Modern control design with **MATLAB** and Simulink".  
John Wiley & Sons, LTD. 2002.



The MathWorks. "Mathematics: The language of technical computing".  
The MathWorks. 2005.



The MathWorks "Getting started with **MATLAB 7**". The Math-  
Works. 2007.



David Báez López & Ofelia Cervantes Villagomez.  
"MatLab con aplicaciones a la ingeniería, física y finanzas".  
2da edición Alfaomega, diciembre 2011.



## Capítulo 2 Métodos numéricos



Tom M. Apostol. 'Calculus'. Reverté. 2da. ed., vols. I y II, 2006.



Norman B. Hasser, Joseph P. La Salle, Joseph A. Sullivan. 'Análisis matemático'. Trillas, 1970.



Watson Fulks. 'Cálculo avanzado'. Limusa. 1983.



Adrian Biran & Moshe Breiner. 'MatLab for engineers'. Addison Wesley, 1997.



William H Press, Saul A. Teukoisky, William T. Vetterling, & Brian P. Flannery. 'Numerical recipes in C++'. Cambridge university Press. 2002.

## Parte I problemas propuestos



**E**n esta sección se presentan una serie de ejercicios con la finalidad que el lector mejore sus conocimientos sobre métodos numéricos.



## Capítulo 1 Conceptos básicos

1.1 Considere el programa 1.13, realizar los cambios necesarios en el código fuente para encontrar los mínimos y máximos locales de la función.

1.2 Dado la siguiente secuencia de números:

datos = {1, 4, -3, 8, 12, 7, 2, 5, -12, 5, 7, 1, 0, 2, 22, 15, 4, 6, 2, -1, -3, 11}

escribir un programa donde se use instrucciones **if**, **for**, **while** para realizar lo siguiente:

- Ordenar los números de menor a mayor.
- Ordenar los números de mayor a menor.
- Encontrar el mínimo y máximo.

1.3 Calcular la norma euclidiana de los siguientes vectores:

$$\mathbf{x} = \begin{bmatrix} 1 \\ -0.888 \\ 4.35 \\ 3 \\ 4 \end{bmatrix} \quad \mathbf{y} = \begin{bmatrix} 4 \\ 5.67 \\ -0.90 \end{bmatrix} \quad \mathbf{z} = \begin{bmatrix} 0.001 \\ 4 \\ 7 \\ -12.333 \\ \frac{3}{4} \end{bmatrix}.$$

Para todos los vectores  $\mathbf{x} \in \mathbb{R}^5$ ,  $\mathbf{y} \in \mathbb{R}^4$ ,  $\mathbf{z} \in \mathbb{R}^5$ , obtener la norma euclidiana a través de los siguientes métodos.

- $\|\mathbf{x}\| = \sqrt{\mathbf{x}^T \mathbf{x}}$ .
- $\|\mathbf{x}\| = \sqrt{\sum_{i=1}^n x_i^2}$ .
- $\|\mathbf{x}\| = \sqrt{x_{21}^2 + x_{22}^2 + x_{23}^2 + x_{24}^2 + x_{25}^2}$ .
- $\|\mathbf{x}\| = \text{norma}(\mathbf{x}, 2)$ .

1.4 En referencia del ejercicio inmediato anterior considere los vectores  $\mathbf{x}, \mathbf{y}$ ; implementar la multiplicación y división entre las componentes de los vectores a través operaciones con arreglos.

1.5 Obtener la gráfica de las siguientes funciones:

- $f(x) = x^2$ ,  $-10 < x < 10$ .
- $f(x) = \tan(x)$ ,  $-15 < x < 15$ .
- $f(x) = \frac{x}{1+x^2}$ ,  $-100 < x < 100$ .
- $f(x) = [1 - e^{-0.01 \cdot x}] \sinh(x)$ ,  $-3 < x < 3$ .



**Capítulo 2 Métodos numéricos**

2.1 Considere los siguientes sistemas de ecuaciones lineales:

$$\begin{bmatrix} 2 \\ 4 \\ 9 \end{bmatrix} = \begin{bmatrix} 2x_1 + 3.33x_2 + 4.56x_3 \\ 8x_1 + 12.56x_2 + 8.12x_3 \\ -3x_1 + 8.45x_2 - 7.12x_3 \end{bmatrix}$$

$$\begin{bmatrix} 6 \\ -3 \\ 10.44 \\ 6.12 \\ 0 \end{bmatrix} = \begin{bmatrix} 1.11x_1 + 8.13x_2 + 2.14x_3 + 6.73x_4 + 12.55x_5 \\ -4x_1 + -8.34x_2 + 4.67x_3 + 4.10x_4 + 2.48x_5 \\ 1.2x_1 + -5.6x_2 + 2.12x_3 + -3.24x_4 + 12.55x_5 \\ 2.35x_1 + 4.5x_2 + 5.89x_3 + 0.78x_4 + 0.34x_5 \\ 0.67x_1 + 1.21x_2 + -0.98x_3 + 0.34x_4 + 16.12x_5 \end{bmatrix}$$

Resuelva el sistema de ecuaciones usando los siguientes métodos

- (a)  $\mathbf{x} = \mathbf{A}^{-1}\mathbf{y}$ .
- (b)  $\mathbf{x} = \text{inv}(\mathbf{A})\mathbf{y}$ .
- (c)  $\mathbf{x} = \mathbf{A} \setminus \mathbf{y}$ .
- (d)  $\mathbf{x} = \text{linesolve}(\mathbf{A}, \mathbf{y})$ .
- (e) Regla de Cramer.

2.2 ¿Qué argumentos puede utilizar para obtener la derivada de la función  $|t|$ ?

2.3 ¿Cómo puede obtener la derivada con respecto al tiempo de una función discontinua como la función  $\text{signo}(t)$ ?

2.4 Aproximar la derivada con respecto al tiempo por diferenciación numérica de las siguientes funciones:

$$\begin{aligned} f_1(t) &= t^7 \\ f_2(t) &= |t| \\ f_3(t) &= \text{signo}(t) \\ f_4(t) &= \tanh(t) \\ f_5(t) &= \text{atan}(t) \end{aligned}$$

Comparar los resultados con el correspondiente método analítico.

2.5 Calcular la integral de las siguientes funciones:

$$\begin{aligned}
 I_1 &= \int_{\mu}^{\mu} x^7 dx & I_2 &= \int_{\mu}^{\mu} |x| dx \\
 I_3 &= \int_{\mu}^{\mu} \text{signo}(x) dx & I_4 &= \int_{\mu}^{\mu} \tanh(x) dx \\
 I_5 &= \int_{\mu}^{\mu} \text{atan}(x) dx
 \end{aligned}$$

considere el intervalo de integración  $\mu \in [-10, 10]$ .

Realice el cálculo de la integral para cada función utilizando los siguientes métodos:

- (a) Trapezoidal.
- (b) Simpson.
- (c) Euler.

comparar y analizar los resultados.

2.6 Utilizar el programa del ejemplo 2.7 para calcular la integral de las siguientes funciones

- (a)  $e^{-x}$
- (b)  $\cos(x)$
- (c)  $x^6$

realizando un barrido del intervalo de integración por pasos de 0.001 para  $x \in [-10, 10]$ . Comparar los resultados obtenidos con su respectivo método analítico.

2.7 Realizar la simulación de los siguientes sistemas dinámicos ( $t \in [0, 10]$ ):

(a)

$$\dot{\mathbf{x}} = \begin{pmatrix} \dot{x}_1 \\ \dot{x}_2 \end{pmatrix} = \begin{pmatrix} \text{sen}(x_2) \\ x_1^3 \end{pmatrix}$$

(b)

$$\dot{\mathbf{x}} = \begin{pmatrix} \dot{x}_1 \\ \dot{x}_2 \end{pmatrix} = \begin{pmatrix} \text{atan}(x_1 + x_2) \\ \cos(x_2 x_1) \end{pmatrix}$$

# Parte II

## Cinemática

La **Parte II** está dedicada al estudio de la cinemática directa de robots manipuladores y sistemas mecatrónicos, y se componen de tres capítulos. El capítulo 3 incluye **Preliminares matemáticos** para apoyar la representación de matrices homogéneas. El capítulo 4 **Cinemática directa** cubre los temas de cinemática directa e inversa, cinemática diferencial y jacobiano de robots manipuladores, así como la metodología Denavit-Hartenberg. El capítulo 5 **Cinemática directa cartesiana** está destinado para analizar el modelo que relaciona las coordenadas cartesianas con las coordenadas articulares para las principales configuraciones de los robots industriales (sin tomar en cuenta la orientación de la herramienta de trabajo).



**Capítulo 3 Preliminares matemáticos** incluye los temas de producto punto entre vectores, matrices ortogonales y sus propiedades matemáticas, reglas de rotación, matrices de transformación homogénea para traslación y rotación, así como la presentación de varios ejemplos ilustrativos y el desarrollo de librerías para **MATLAB**.



**Capítulo 4 Cinemática directa** presenta los conceptos de cinemática directa, cinemática inversa, cinemática diferencial y el jacobiano del robot. También explica la metodología de Denavit-Hartenberg la cual usa un grupo de parámetros geométricos para determinar la matriz de transformación homogénea que caracteriza al modelo cinemático de robots manipuladores industriales.



**Capítulo 5 Cinemática directa cartesiana** realiza un análisis detallado de la cinemática cartesiana de las principales configuraciones de robots industriales. Un conjunto de librerías se desarrollan para llevar a cabo simulación con robots manipuladores.

La parte II concluye con:



**Referencias selectas**



**Problemas propuestos**

# 3

## Capítulo

# Preliminares matemáticos

---

$$H_{i-1}^i = \begin{bmatrix} R_{ii-1} & \mathbf{d}_{ii-1} \\ \mathbf{0}^T & 1 \end{bmatrix}$$

- 3.1 Introducción
- 3.2 Producto interno
- 3.3 Matrices de rotación
- 3.4 Reglas de rotación
- 3.5 Transformaciones de traslación
- 3.6 Transformaciones homogéneas
- 3.7 Librerías para matrices homogéneas
- 3.8 Resumen

## Objetivos

Presentar los preliminares matemáticos para la cinemática directa de robots manipuladores y sistemas mecatrónicos, asimismo desarrollar librerías en lenguaje **MATLAB** (toolbox) para las matrices de transformación homogénea de rotación y traslación.

### Objetivos particulares:



Producto interno de vectores.



Matrices de rotación y traslación.



Transformaciones homogéneas.



Librerías de matrices homogéneas para **MATLAB**.

## 3.1 Introducción



El posicionamiento del extremo final del robot en el espacio tridimensional (pose) requiere de 6 coordenadas: 3 coordenadas para la posición cartesiana y 3 coordenadas para la orientación de la herramienta de trabajo. A la relación que existe entre las coordenadas articulares del robot con las coordenadas cartesianas y la orientación de la herramienta de trabajo colocada en el extremo final del robot se le denomina cinemática directa.

Como parte de la representación matemática de la cinemática directa de robots manipuladores se encuentra el uso de transformaciones homogéneas para representar orientación y traslación de la herramienta de trabajo, con respecto al sistema de referencia fijo ubicado generalmente en la base del robot.

Como preámbulo al tema de matrices de transformación homogénea están los conceptos de producto punto o escalar entre vectores y matrices ortogonales.

El producto punto permite utilizar proyecciones de ortogonalidad de los ejes principales de un sistema de referencia  $\Sigma_1(x_1, y_1, z_1)$  relativo a otro sistema de referencia  $\Sigma_0(x_0, y_0, z_0)$ . Otro de los temas de prerrequisito es el de las matrices ortogonales para modelar la orientación y traslación de la herramienta de trabajo respecto al sistema fijo del robot  $\Sigma_0(x_0, y_0, z_0)$ . Resaltan las propiedades matemáticas de las matrices ortogonales que facilitan el análisis y descripción de movimientos de rotación y traslación. En función de las propiedades matemáticas de las matrices ortogonales se generan diferentes reglas de rotación.

Las matrices homogéneas incluyen estos conceptos para ofrecer una representación compacta de la matriz de rotación, que determina la orientación relativa de un sistema de referencia  $\Sigma_1(x_1, y_1, z_1)$  con respecto a un sistema de referencia fijo  $\Sigma_0(x_0, y_0, z_0)$  y del vector de coordenadas o de traslación  $\mathbf{x}_0 = [x_0, y_0, z_0]^T$ .

Con la estructura matemática de la transformación homogénea se desarrolla un conjunto de librerías para propósitos de simulación de cinemática directa de robots manipuladores y sistemas mecatrónicos.



## 3.2 Producto interno

Para modelar la orientación de la herramienta de trabajo del robot se encuentra el producto escalar o producto interno, también conocido como producto punto (dot product), el cual permite utilizar los conceptos de la geometría euclidiana tradicionales como longitudes, ángulos, proyecciones geométricas, ortogonalidad en dos y tres dimensiones de los sistemas de referencia asociados al robot y de la herramienta de trabajo.

El término espacio euclidiano se denomina así en honor del matemático y filósofo griego Euclides, y se utiliza para distinguirlo de otro tipo de espacios como los espacios curvos de la geometría no euclidiana y la teoría de la relatividad de Einstein. El espacio euclidiano es un tipo de espacio geométrico donde se satisfacen los axiomas de la geometría de Euclides. Como casos particulares del espacio euclidiano se encuentran la recta real, el plano y el espacio tridimensional, que corresponden a las dimensiones 1, 2 y 3, respectivamente.

El concepto abstracto de espacio euclidiano geométrico se generaliza para el caso general de espacio euclidiano  $n$ -dimensional, el cual también se considera como un espacio vectorial  $n$ -dimensional real.

Al producto interno  $\mathbf{x} \cdot \mathbf{y}$  es una operación definida sobre dos vectores  $\mathbf{x}, \mathbf{y} \in \mathbb{R}^n$  de un espacio euclidiano cuyo resultado es un número o escalar (los espacios vectoriales que incluyen al producto interno reciben el nombre de espacios prehilbertianos).

Considere los siguientes vectores  $\mathbf{x}, \mathbf{y} \in \mathbb{R}^n$ , el producto interno vectorial se define como:

$$\mathbf{x} \cdot \mathbf{y} = \mathbf{x}^T \mathbf{y} = \sum_{i=1}^n x_i y_i = x_1 y_1 + x_2 y_2 + \dots + x_n y_n. \quad (3.1)$$

El producto punto se le llama producto escalar debido a que también se puede realizar como:  $\mathbf{x} \cdot \mathbf{y} = \mathbf{x}^T \mathbf{y}$ .

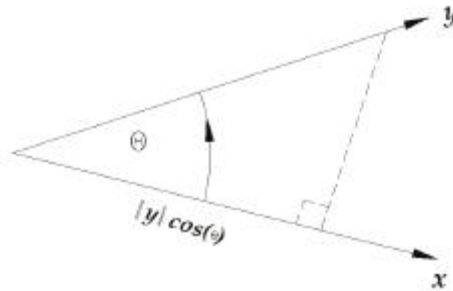
En un espacio euclidiano real, el producto interno (3.1) también acepta una definición

geométrica dada por:

$$\mathbf{x} \cdot \mathbf{y} = \|\mathbf{x}\| \|\mathbf{y}\| \cos(\theta) \quad (3.2)$$

donde  $\theta$  es el ángulo que forman los vectores  $\mathbf{x}$  y  $\mathbf{y}$  (ver figura 3.1), y las normas euclidianas se encuentran definidas por  $\|\mathbf{x}\| = \sqrt{x_{21}^2 + x_{22}^2 + \dots + x_{2n}^2}$ ,  $\|\mathbf{y}\| = \sqrt{y_1^2 + y_2^2 + \dots + y_n^2}$  respectivamente.

Geoméricamente  $\|\mathbf{y}\| \cos(\theta)$  representa la proyección del vector  $\mathbf{y}$  sobre la dirección del vector  $\mathbf{x}$ , como se presenta en la figura 3.1. El concepto de proyección geométrica se usa particularmente en las matrices rotacionales para modelar la orientación del sistema de referencia de la herramienta de trabajo del robot.



**Figura 3.1** Producto interno vectorial  $\mathbf{x} \cdot \mathbf{y}$ .

Considere  $\mathbf{x}, \mathbf{y}, \mathbf{z} \in \mathbb{R}^n$ , y  $\alpha \in \mathbb{R}$ ; el producto interno tiene las siguientes propiedades:



Conmutativa:  $\mathbf{x} \cdot \mathbf{y} = \mathbf{y} \cdot \mathbf{x}$ .



Distributiva:  $\mathbf{z} \cdot (\mathbf{x} + \mathbf{y}) = \mathbf{z} \cdot \mathbf{x} + \mathbf{z} \cdot \mathbf{y}$ .



Asociativa:  $\alpha \mathbf{x} \cdot \mathbf{y} = \mathbf{x} \cdot \alpha \mathbf{y} = \alpha \mathbf{x} \cdot \mathbf{y}$ .



La expresión geométrica del producto escalar permite calcular el coseno del ángulo  $\theta$  existente entre los vectores  $\mathbf{x}$  y  $\mathbf{y}$  de la siguiente manera:

$$\cos(\theta) = \frac{\mathbf{x} \cdot \mathbf{y}}{\|\mathbf{x}\| \|\mathbf{y}\|} = \frac{x_{21}y_1 + x_{22}y_2 + \dots + x_{2n}y_n}{\sqrt{x_{21}^2 + x_{22}^2 + \dots + x_{2n}^2} \sqrt{y_1^2 + y_2^2 + \dots + y_n^2}}$$



Vectores ortogonales:  $\mathbf{x} \cdot \mathbf{y} = 0 \Rightarrow \mathbf{x} \perp \mathbf{y}$ ,  $\theta = \frac{\pi}{2}$  rad (90 grados).



Vectores paralelos o con la misma dirección si el ángulo que forman es 0 rad (0 grados) o  $\pi$  rad (180 grados):  $\mathbf{x} \cdot \mathbf{y} = \|\mathbf{x}\| \|\mathbf{y}\|$ .



$\mathbf{x} \cdot \mathbf{x} = 0 \Leftrightarrow \mathbf{x} = \mathbf{0} \in \mathbb{R}^n$ .



Si  $\mathbf{x} \neq \mathbf{0} \Rightarrow \mathbf{x} \cdot \mathbf{x} > 0$ .



$$\sqrt{\mathbf{x}^T \mathbf{x}} = \sqrt{\sum_{i=1}^n x_i^2} = \sqrt{x_1^2 + x_2^2 + \dots + x_n^2}$$

**MATLAB** contiene la función `dot(x,y)` para realizar la operación producto interno  $\mathbf{x} \cdot \mathbf{y}$  de los vectores  $\mathbf{x}, \mathbf{y} \in \mathbb{R}^n$ , con la siguiente estructura de sintaxis:

```
if
    x · y = dot(x,y)
    x · y = dot(x,y,n)
```

$\mathbf{x} \cdot \mathbf{y} = \text{dot}(\mathbf{x}, \mathbf{y}, n)$  retorna el producto escalar de los vectores  $\mathbf{x}, \mathbf{y}$  con dimensión  $n$ .

**Nota:** el producto punto  $\mathbf{x} \cdot \mathbf{y}$  equivale a realizar la operación en **MATLAB**:  $\mathbf{x} \cdot \mathbf{y} = \mathbf{x}' * \mathbf{y}$ .

La norma euclidiana  $\|\mathbf{x}\|$  de un vector  $\mathbf{x} \in \mathbb{R}^n$ , también conocida como norma 2, se puede calcular utilizando la función `norm` con la siguiente sintaxis:

```
if
    x = norm(x,2)
```

### ♣ Ejemplo 3.1

Sean  $\mathbf{x}, \mathbf{y} \in \mathbb{R}^2$  con las siguientes componentes respectivamente:

$$\mathbf{x} = \begin{pmatrix} 2 \\ 4 \end{pmatrix} \quad \mathbf{y} = \begin{pmatrix} 8 \\ -3 \end{pmatrix}$$

obtener el producto punto  $\mathbf{x} \cdot \mathbf{y}$  y el ángulo  $\theta$  que forman entre los vectores  $\mathbf{x}, \mathbf{y}$ .

**Solución**

Puesto que los vectores  $\mathbf{x}, \mathbf{y} \in \mathbb{R}^2$  están formados por  $\mathbf{x} = [2 \quad 4]^T$  y  $\mathbf{y} = [8 \quad -3]^T$ , y tomando en cuenta la definición del producto punto se obtiene lo siguiente:

$$\mathbf{x} \cdot \mathbf{y} = x_1y_1 + x_2y_2 = 2(8) - 4(3) = 16 - 12 = 4.$$

El ángulo que forman los vectores  $\mathbf{x}$  y  $\mathbf{y}$  se obtiene como:

$$\begin{aligned} \cos(\theta) &= \frac{\mathbf{x} \cdot \mathbf{y}}{\sqrt{x_1^2 + x_2^2} \sqrt{y_1^2 + y_2^2}} \\ &= \frac{4}{\sqrt{2^2 + 4^2} \sqrt{8^2 + (-3)^2}} = \frac{4}{(4.4721)(8.544)} = 0.1046 \end{aligned}$$

lo que significa que  $\theta = 1.465$  rad (83.99 grados).

Observe que evidentemente se cumple:

$$\mathbf{x} \cdot \mathbf{y} = \|\mathbf{x}\| \|\mathbf{y}\| \cos(\theta) = \sqrt{20} \sqrt{73} \cos(1.465) = (4.472135)(8.544003)(0.1046) = 4.$$

El cuadro 3.1 presenta el código fuente para realizar el desarrollo del ejemplo 3.1.

**Código Fuente 3.1 Producto interno o escalar**

%MATLAB Aplicado a Robótica y Mecatrónica.

%Editorial Alfaomega, Fernando Reyes Cortés.

%Capítulo 3 Cinemática %Programa cap3 prodint.m

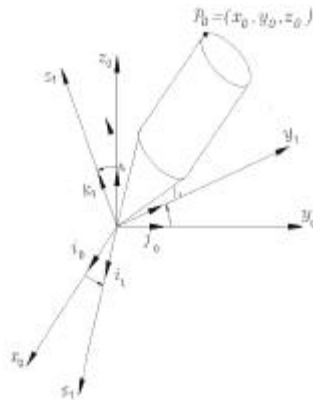
**Producto interno o escalar**

```

1 clc; clear all; close all;
2 disp('Producto interno o escalar de vectores')
3 x = [2; 4]; %vector columna de dos renglones  $\mathbf{x} \in \mathbb{R}^2$ 
4 y = [8; -3]; %vector columna de dos renglones  $\mathbf{y} \in \mathbb{R}^2$ 
5 xdoty=dot(x,y) %producto interno  $\mathbf{x} \cdot \mathbf{y}$  usando la función dot
6 xdoty_m=x'*y %forma matemática del producto interno  $\mathbf{x} \cdot \mathbf{y}$ 
7 theta=acos(x'*y/(norm(x,2)*norm(y,2))) %ángulo que forman los vectores
    $\mathbf{x}, \mathbf{y} \in \mathbb{R}^2$ 
8 %forma geométrica del producto interno:  $\mathbf{x} \cdot \mathbf{y} = \|\mathbf{x}\| \|\mathbf{y}\| \cos(\theta)$ 
9 xdoty_geometrica=norm(x,2)*norm(y,2)*cos(theta)
```

### 3.3 Matrices de rotación

La figura 3.2 muestra dos sistemas de referencia cartesianos, asociados a un cuerpo rígido, representados por  $\Sigma_0(x_0, y_0, z_0)$  y  $\Sigma_1(x_1, y_1, z_1)$ , ambos sistemas comparten el mismo origen. El sistema de referencia  $\Sigma_1(x_1, y_1, z_1)$  mantiene una orientación relativa al sistema de referencia fijo  $\Sigma_0(x_0, y_0, z_0)$ .



**Figura 3.2** Sistemas de referencia fijo  $\Sigma_0$  y rotado  $\Sigma_1$ .

Considérese un punto  $\mathbf{p}$  sobre el cuerpo rígido, con respecto al sistema  $\Sigma_0(x_0, y_0, z_0)$  tiene coordenadas  $\mathbf{p}_0 = [x_0, y_0, z_0]^T$ , el mismo punto  $\mathbf{p}$  se representa como  $\mathbf{p}_1 = [x_1, y_1, z_1]^T$  con respecto al sistema de referencia  $\Sigma_1(x_1, y_1, z_1)$ . El problema que se plantea es encontrar la relación que hay entre las coordenadas de un punto  $\mathbf{p}_1$  en el sistema de referencia  $\Sigma_1(x_1, y_1, z_1)$  con el vector  $\mathbf{p}_0$  definido en el sistema de referencia  $\Sigma_0(x_0, y_0, z_0)$ . Considere vectores bases para cada sistema de referencia  $\Sigma_0$  y  $\Sigma_1$ . Sean  $\{\mathbf{i}_0, \mathbf{j}_0, \mathbf{k}_0\}$  vectores unitarios a lo largo de los ejes  $x_0, y_0, z_0$ , respectivamente. Es decir,  $\mathbf{i}_0 = [1, 0, 0]^T$ ,  $\mathbf{j}_0 = [0, 1, 0]^T$ ,  $\mathbf{k}_0 = [0, 0, 1]^T$ . Similarmente se definen los vectores unitarios  $\{\mathbf{i}_1, \mathbf{j}_1, \mathbf{k}_1\}$  para el sistema  $\Sigma_1(x_1, y_1, z_1)$ .

Un vector que va desde el origen común para ambos sistemas hasta el punto  $\mathbf{p}$ , puede ser expresado en función de cualquiera de las dos bases de vectores unitarios de la siguiente forma:

$$\mathbf{p}_0 = p_{0x}\mathbf{i}_0 + p_{0y}\mathbf{j}_0 + p_{0z}\mathbf{k}_0 \quad \text{con respecto al sistema } \Sigma_0 \quad (3.3)$$

$$\mathbf{p}_1 = p_{1x}\mathbf{i}_1 + p_{1y}\mathbf{j}_1 + p_{1z}\mathbf{k}_1 \quad \text{con respecto al sistema } \Sigma_1 \quad (3.4)$$

Los vectores  $\mathbf{p}_0, \mathbf{p}_1$  representan al mismo punto  $\mathbf{p}$ . Tomando en cuenta las ecuaciones (3.3) y (3.4) la relación que hay entre sus componentes adquiere la siguiente forma:

$$\begin{aligned} p_{0x} &= \mathbf{p}_0 \cdot \mathbf{i}_0 = \mathbf{p}_1 \cdot \mathbf{i}_0 \\ &= p_{1x}\mathbf{i}_1 \cdot \mathbf{i}_0 + p_{1y}\mathbf{j}_1 \cdot \mathbf{i}_0 + p_{1z}\mathbf{k}_1 \cdot \mathbf{i}_0 \end{aligned} \quad (3.5)$$

$$\begin{aligned} p_{0y} &= \mathbf{p}_0 \cdot \mathbf{j}_0 = \mathbf{p}_1 \cdot \mathbf{j}_0 \\ &= p_{1x}\mathbf{i}_1 \cdot \mathbf{j}_0 + p_{1y}\mathbf{j}_1 \cdot \mathbf{j}_0 + p_{1z}\mathbf{k}_1 \cdot \mathbf{j}_0 \end{aligned} \quad (3.6)$$

$$\begin{aligned} p_{0z} &= \mathbf{p}_0 \cdot \mathbf{k}_0 = \mathbf{p}_1 \cdot \mathbf{k}_0 \\ &= p_{1x}\mathbf{i}_1 \cdot \mathbf{k}_0 + p_{1y}\mathbf{j}_1 \cdot \mathbf{k}_0 + p_{1z}\mathbf{k}_1 \cdot \mathbf{k}_0. \end{aligned} \quad (3.7)$$

Estas ecuaciones pueden ser escritas de manera compacta como:

$$\mathbf{p}_0 = \mathbf{R}_{10}\mathbf{p}_1 \quad (3.8)$$

donde  $\mathbf{R}_{10}$  representa la siguiente matriz

$$\mathbf{R}_{10}^1 = \begin{bmatrix} \mathbf{i}_1 \cdot \mathbf{i}_0 & \mathbf{j}_1 \cdot \mathbf{i}_0 & \mathbf{k}_1 \cdot \mathbf{i}_0 \\ \mathbf{i}_1 \cdot \mathbf{j}_0 & \mathbf{j}_1 \cdot \mathbf{j}_0 & \mathbf{k}_1 \cdot \mathbf{j}_0 \\ \mathbf{i}_1 \cdot \mathbf{k}_0 & \mathbf{j}_1 \cdot \mathbf{k}_0 & \mathbf{k}_1 \cdot \mathbf{k}_0 \end{bmatrix}. \quad (3.9)$$

La matriz  $\mathbf{R}_{10} \in \mathbb{R}^{3 \times 3}$  es la matriz de transformación de las coordenadas del punto  $\mathbf{p}$  del sistema de referencia  $\Sigma_1(x_1, y_1, z_1)$  hacia las coordenadas del sistema  $\Sigma_0(x_0, y_0, z_0)$ . En otras palabras, dado un punto  $\mathbf{p}_1$  en el sistema  $\Sigma_1(x_1, y_1, z_1)$ , entonces  $\mathbf{R}_{10}\mathbf{p}_1$  representa el mismo vector expresado con respecto al sistema de referencia  $\Sigma_0(x_0, y_0, z_0)$ .

Obsérvese que las columnas de  $\mathbf{R}_{10}$  son los cosenos directores de los ejes coordenados  $x_1, y_1, z_1$  respecto de los ejes coordenados  $x_0, y_0, z_0$ . Por ejemplo, la primera columna  $[\mathbf{i}_1 \cdot \mathbf{i}_0, \mathbf{i}_1 \cdot \mathbf{j}_0, \mathbf{i}_1 \cdot \mathbf{k}_0]^T$  especifica la dirección del eje  $x_1$  relativa al sistema de referencia  $\Sigma_0$ .

Similarmente se puede obtener el punto  $\mathbf{p}_1$  en función del punto  $\mathbf{p}_0$ :

$$\begin{aligned} p_{1x} &= \mathbf{p}_1 \cdot \mathbf{i}_1 = \mathbf{p}_0 \cdot \mathbf{i}_1 \\ &= p_{0x}\mathbf{i}_0 \cdot \mathbf{i}_1 + p_{0y}\mathbf{j}_0 \cdot \mathbf{i}_1 + p_{0z}\mathbf{k}_0 \cdot \mathbf{i}_1 \end{aligned}$$

$$\begin{aligned}
 p_{1y} &= \mathbf{p}_1 \cdot \mathbf{j}_1 = \mathbf{p}_0 \cdot \mathbf{j}_1 \\
 &= p_{0x} \mathbf{i}_1 \cdot \mathbf{j}_1 + p_{0y} \mathbf{j}_1 \cdot \mathbf{j}_1 + p_{0z} \mathbf{k}_1 \cdot \mathbf{j}_1 \\
 p_{1z} &= \mathbf{p}_1 \cdot \mathbf{k}_1 = \mathbf{p}_0 \cdot \mathbf{k}_1 \\
 &= p_{0x} \mathbf{i}_1 \cdot \mathbf{k}_1 + p_{0y} \mathbf{j}_1 \cdot \mathbf{k}_1 + p_{0z} \mathbf{k}_1 \cdot \mathbf{k}_1 \\
 \mathbf{p}_1 &= \mathbf{R}_{01} \mathbf{p}_0 \tag{3.10}
 \end{aligned}$$

$$\mathbf{R}_{01}^0 = \begin{bmatrix} \mathbf{i}_0 \cdot \mathbf{i}_1 & \mathbf{j}_0 \cdot \mathbf{i}_1 & \mathbf{k}_0 \cdot \mathbf{i}_1 \\ \mathbf{i}_0 \cdot \mathbf{j}_1 & \mathbf{j}_0 \cdot \mathbf{j}_1 & \mathbf{k}_0 \cdot \mathbf{j}_1 \\ \mathbf{i}_0 \cdot \mathbf{k}_1 & \mathbf{j}_0 \cdot \mathbf{k}_1 & \mathbf{k}_0 \cdot \mathbf{k}_1 \end{bmatrix}. \tag{3.11}$$

La matriz  $\mathbf{R}_{01} \in \mathbb{R}^{3 \times 3}$  (3.11) representa la matriz inversa de la transformación  $\mathbf{R}_{10}$  (3.9). Debido a que el producto interno de vectores unitarios cumple la propiedad conmutativa, entonces  $\mathbf{i}_1 \cdot \mathbf{j}_1 = \mathbf{j}_1 \cdot \mathbf{i}_1$ ,  $\mathbf{i}_0 \cdot \mathbf{j}_0 = \mathbf{j}_0 \cdot \mathbf{i}_0$ , etc., por lo que resulta:

$$\mathbf{R}_{01} = \mathbf{R}_{10}^{-1} = \mathbf{R}_{10}^T \tag{3.12}$$

La matriz  $\mathbf{R}_{10}$  cuya inversa es su transpuesta se denomina **matriz ortogonal**. La norma de los vectores columna de  $\mathbf{R}_{10}$  son de magnitud unitaria y mutuamente ortogonales, el determinante de  $\mathbf{R}_{10}$  es  $\pm 1$ . Si el sistema de referencia se selecciona de acuerdo con la regla de la mano derecha, entonces el determinante de  $\mathbf{R}_{10}$  es 1. La matriz  $\mathbf{R}_{10}$  se denomina matriz de rotación y pertenece a la clase de matrices ortogonales que se denotan como  $\text{SO}(3)$ .

### Notación

La matriz  $\mathbf{R}_{10}$  representa la orientación del sistema  $\Sigma_1(x_1, y_1, z_1)$  respecto al sistema  $\Sigma_0(x_0, y_0, z_0)$ .  $\mathbf{R}_{21}$  representa la orientación del sistema  $\Sigma_2(x_2, y_2, z_2)$  respecto al sistema  $\Sigma_1(x_1, y_1, z_1)$ , y así sucesivamente. Mientras que la transformación inversa  $\mathbf{R}_{01}$  significa la orientación del sistema de referencia  $\Sigma_0(x_0, y_0, z_0)$  relativa al sistema de referencia  $\Sigma_1(x_1, y_1, z_1)$ . De manera análoga,  $\mathbf{R}_{12}$  es la transformación inversa de coordenadas del sistema de referencia  $\Sigma_1(x_1, y_1, z_1)$  hacia el sistema  $\Sigma_2(x_2, y_2, z_2)$ .

Hay varios métodos para expresar la orientación del sistema de referencia  $\Sigma_1(x_1, y_1, z_1)$  con respecto al sistema de referencia fijo  $\Sigma_0(x_0, y_0, z_0)$ , entre los más usuales se encuentra la rotación con respecto a uno de los ejes principales  $x_0, y_0, z_0$ .

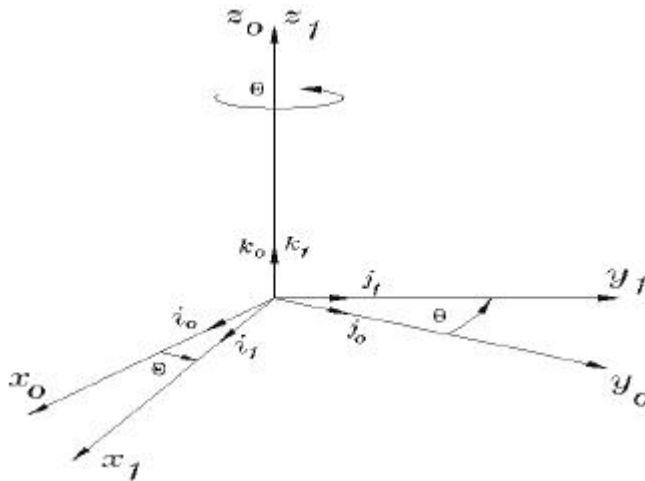
A continuación se tratan los casos de rotación alrededor de un eje principal.



**Matriz de rotación alrededor del eje  $z_0$**

Considere que el sistema de referencia  $\Sigma_1 (z_1, y_1, z_1)$  el cual se encuentra rotado un ángulo  $\theta$  alrededor del eje  $z_0$  del sistema  $\Sigma_0 (z_0, y_0, z_0)$ . Obtener la matriz resultante de transformación  $R_{10}$ .

Como se muestra en la figura 3.3, los ejes  $z_0$  y  $z_1$  son paralelos. El signo del ángulo  $\theta$  está dado por la regla de la mano derecha. Por convención, un ángulo positivo es aquel cuyo sentido de rotación es contrario al movimiento de las manecillas del reloj.



**Figura 3.3** Rotación de un ángulo  $\theta$  alrededor del eje  $z$ .

De la figura 3.3 se obtienen las siguientes ecuaciones:

$$\begin{aligned}
 \mathbf{i}_1 \cdot \mathbf{i}_0 &= \cos(\theta) & \mathbf{j}_1 \cdot \mathbf{i}_0 &= -\sin(\theta) \\
 \mathbf{j}_1 \cdot \mathbf{j}_0 &= \cos(\theta) & \mathbf{i}_1 \cdot \mathbf{j}_0 &= \sin(\theta) \\
 \mathbf{k}_0 \cdot \mathbf{k}_1 &= 1
 \end{aligned}$$

todos los demás productos punto son cero, puesto que el ángulo que existe entre los vectores unitarios  $\mathbf{i}_0, \mathbf{i}_1, \mathbf{j}_0,$  y  $\mathbf{j}_1$  con  $\mathbf{k}_0$  y  $\mathbf{k}_1$  es de 90 grados, excepto entre ellos mismos, puesto que  $\mathbf{k}_0$  y  $\mathbf{k}_1$  forman un ángulo de 0 grados:  $\mathbf{k}_1 \cdot \mathbf{i}_0 = \cos(\frac{\pi}{2}) = 0, \mathbf{k}_1 \cdot \mathbf{j}_0 = \cos(\frac{\pi}{2}), \mathbf{i}_1 \cdot \mathbf{k}_0 = \cos(\frac{\pi}{2}) = 0,$  y  $\mathbf{j}_1 \cdot \mathbf{k}_0 = \cos(\frac{\pi}{2}) = 0.$

## Notación

La matriz (3.13) se conoce como matriz de rotación alrededor del eje  $z$  y es representada por  $R_z(\theta)$ .

$$R_z(\theta) = \begin{bmatrix} \cos(\theta) & -\sin(\theta) & 0 \\ \sin(\theta) & \cos(\theta) & 0 \\ 0 & 0 & 1 \end{bmatrix}. \quad (3.13)$$

La matriz de rotación  $R_z(\theta)$  se interpreta como una matriz que especifica la orientación del sistema de referencia  $\Sigma_1(x_1, y_1, z_1)$  relativo al sistema de referencia  $\Sigma_0(x_0, y_0, z_0)$ .

$$\mathbf{p}_0 = R_z(\theta)\mathbf{p}_1 = \begin{bmatrix} \cos(\theta) & -\sin(\theta) & 0 \\ \sin(\theta) & \cos(\theta) & 0 \\ 0 & 0 & 1 \end{bmatrix} \mathbf{p}_1. \quad (3.14)$$

Por convención considérese que el ángulo  $\theta$  es positivo en el sentido contrario al movimiento de las manecillas del reloj.

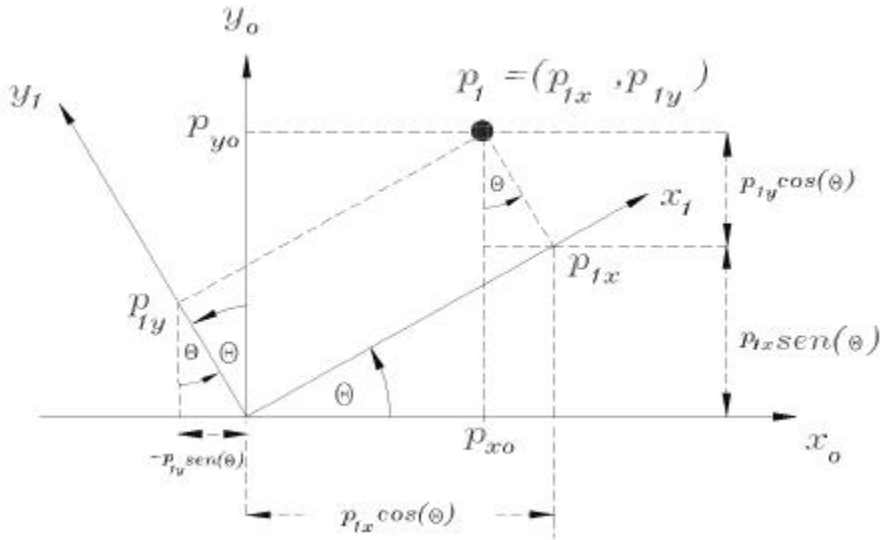
La relación inversa que determina la orientación del sistema  $\Sigma_0(x_0, y_0, z_0)$  con respecto al sistema  $\Sigma_1(x_1, y_1, z_1)$  está dada por:

$$\mathbf{p}_1 = R_z^{-1}(\theta)\mathbf{p}_0 = \begin{bmatrix} \cos(\theta) & \sin(\theta) & 0 \\ -\sin(\theta) & \cos(\theta) & 0 \\ 0 & 0 & 1 \end{bmatrix} \mathbf{p}_0. \quad (3.15)$$

Por lo tanto, un punto  $\mathbf{p}_0$  en el sistema  $\Sigma_0(x_0, y_0, z_0)$  es transformado hacia un punto  $\mathbf{p}_1$  en el sistema  $\Sigma_1(x_1, y_1, z_1)$  incluyendo su orientación relativa.

Otra forma de obtener la matriz  $R_z(\theta)$  que relaciona la orientación  $\theta$  del sistema de referencia  $\Sigma_1(z_1, y_1, z_1)$  con respecto al eje  $z_0$  del sistema de referencia  $\Sigma_0(z_0, y_0, z_0)$  es por medio de una proyección geométrica, es decir, analizando la proyección de los ejes  $x_1, y_1$  sobre los ejes  $x_0, y_0$  como se ve en la figura 3.4.

Los ejes  $z_1$  y  $z_0$  son paralelos entre sí, el plano  $x_1 - y_1$  se encuentra rotado un ángulo  $\theta$  con respecto al plano  $x_0 - y_0$ , entonces la proyección del punto  $\mathbf{p}_1 = [p_{1x}, p_{1y}, p_{1z}]^T$



**Figura 3.4** Rotación  $\theta$  grados del plano  $x_1 - y_1$  con respecto al plano  $x_0 - y_0$ .

sobre los ejes del sistema  $\Sigma_0$  son:

$$p_{0x} = p_{1x} \cos(\theta) - p_{1y} \sin(\theta)$$

$$p_{0y} = p_{1x} \sin(\theta) + p_{1y} \cos(\theta)$$

$$p_{0z} = p_{1z}$$

$$\mathbf{p}_0 = R_z(\theta) \mathbf{p}_1 = \begin{bmatrix} \cos(\theta) & -\sin(\theta) & 0 \\ \sin(\theta) & \cos(\theta) & 0 \\ 0 & 0 & 1 \end{bmatrix} \mathbf{p}_1.$$

**Propiedades de la matriz de rotación  $R_z(\theta)$**

La matriz de rotación  $R_z(\theta)$  tiene varias propiedades importantes que a continuación se presentan:



$R_z(0) = \mathbf{I}$ ,  $\mathbf{I} \in \mathbb{R}^{3 \times 3}$  es la matriz identidad.



$R_z(\theta)R_z(\beta) = R_z(\beta)R_z(\theta) = R_z(\theta + \beta) = R_z(\beta + \theta)$ .



$R_z(\theta)^{-1} = R_z(-\theta)$ .



$$R_z(\theta)^T = R_z(\theta)^{-1}.$$



$$R_z(\theta)R_z(\theta)^T = R_z(\theta)^T R_z(\theta) = \mathbf{I}.$$



$\det[R_z(\theta)] = 1$  si el sistema de referencia cartesiano  $\Sigma(z, y, z)$  es seleccionado por la regla de la mano derecha, en otro caso  $\det[R_z(\theta)] = -1$ .

### **Función matriz de rotación $R_z(\theta)$**

La función matriz de rotación  $R_z(\theta)$

$$R_z(\theta) = \begin{bmatrix} \cos(\theta) & -\sin(\theta) & 0 \\ \sin(\theta) & \cos(\theta) & 0 \\ 0 & 0 & 1 \end{bmatrix}$$

tiene la siguiente sintaxis:

**if**

$R=R_z(\theta)$

donde  $\theta \in \mathbb{R}$  es el ángulo de rotación alrededor del eje  $z$ , y representa el argumento de entrada. Retorna la matriz de rotación  $R$ .

El cuadro 3.2 contiene el programa en código fuente para evaluar en forma simbólica las propiedades matemáticas de la matriz de rotación  $R_z(\theta)$ . Para simplificar el álgebra simbólica es recomendable utilizar la función `simplify`.

Para expresiones matemáticas con variables simbólicas, la función `simplify` resulta importante para obtener un resultado matemático compacto, es decir factorizado y reducido.

Cuando un programa se encuentra combinando cálculos numéricos con variables simbólicas, se recomienda usar la función `vpa` con una precisión de tres dígitos a través de `digits(3)`.



### Código Fuente 3.2 Función $R_z(\theta)$

%MATLAB Aplicado a Robótica y Mecatrónica.

%Editorial Alfaomega, Fernando Reyes Cortés.

%Capítulo 3 Cinemática %Archivo Rz.m

#### Función $R_z(\theta)$

```

1 function R=Rz(theta)
2     dato=whos('theta');
3     if strcmp(dato.class, 'sym') %para variables simbólicas
4         R=simplify([cos(theta), -sin(theta), 0;
5                     sin(theta), cos(theta), 0;
6                     0, 0, 1]);
7     else %cálculos numéricos
8         digits(3);
9         R=simplify([ double(cos(theta)), double(-sin(theta)), 0;
10                    double(sin(theta)), double(cos(theta)), 0;
11                    0, 0, 1]);
12     end
13 end

```

### ♣ ♣ Ejemplo 3.2

Escribir un programa en **MATLAB** para comprobar las propiedades de la matriz de rotación  $R_z(\theta)$

### Solución

En el cuadro 3.5 se presenta el programa en código fuente para **MATLAB** de las propiedades de la matriz de rotación  $R_z(\theta)$ .

Para que el resultado simbólico sea compacto o simplificado se emplea la función `simplify`.

Para visualizar los resultados de las propiedades matemáticas de la matriz  $R_z(\theta)$  es necesario no insertar en cada línea el operador `;`.



Cuando se trabaja únicamente con variables simbólicas es importante utilizar la función `simplify` para obtener resultados algebraicos compactos.



Cuando hay una combinación entre variables simbólicas y cálculos numéricos es recomendable usar la función `double` como en el cuadro del código 3.2 de la matriz  $R_z(\theta)$ . Otras opciones que se pueden usar son la función `vpa` y `digits(3)` (ver el código 3.8).



### Código Fuente 3.5 Propiedades de la matriz de rotación $R_z(\theta)$

%MATLAB Aplicado a Robótica y Mecatrónica.

%Editorial Alfaomega, Fernando Reyes Cortés.

%Capítulo 3 Cinemática %Archivo cap3 propiedadesRz.m

#### Propiedades de la matriz de rotación $R_z(\theta)$

```

1 clc;
2 clear all;
3 close all;
4 syms a b real
5 %resultados simbólicos
6 simplify(Rz(a)*Rz(b)) %Rz(a)Rz(b)
7 simplify(Rz(b)*Rz(a)) %Rz(b)Rz(a)
8 simplify(inv(Rz(a))) %Rz(a)-1
9 simplify(Rz(-a)) %Rz(a)-1 = Rz(-a)
10 simplify(Rz(a)') %Rz(a)T = Rz(a)-1
11 simplify(Rz(a)^Rz(a)) %Rz(a) RZ(a) = I
12 simplify(Rz(a)^Rz(a)') %Rz(a)Rz(a)T = I
13 simplify(det(Rz(a))) %det[RZ(a)]=1
14 %cálculo numérico
15 theta=90*pi/180; θ = π/2
16 Rz(theta) %Rz(θ)

```

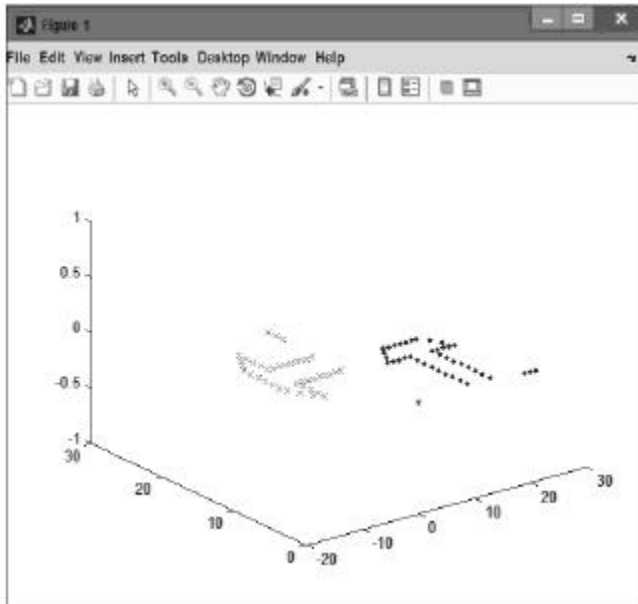
### ♣ Ejemplo 3.3

Escribir un algoritmo en lenguaje **MATLAB** que realice la rotación de 90 grados alrededor del eje  $z_0$  de una imagen de prueba (flecha).

### Solución

El programa 3.4 contiene el código para realizar la rotación de la imagen de prueba. El vector  $\mathbf{p}_0 = [p_{x0}, p_{y0}, p_{z0}]^T$  tiene las coordenadas de la imagen de prueba definidas en el sistema de referencia  $\Sigma_0(x_0, y_0, z_0)$ . El ángulo de rotación  $\theta$  es de 90 grados con respecto al eje  $z_0$ . El sistema  $\Sigma_1(x_1, y_1, z_1)$  tiene la imagen rotada con respecto al sistema  $\Sigma_0(x_0, y_0, z_0)$ . La matriz de rotación  $R_{z_0}(\pi/2)$  relaciona la orientación que tiene la imagen rotada definida en  $\Sigma_1(x_1, y_1, z_1)$  en relación al sistema fijo  $\Sigma_0(x_0, y_0, z_0)$ .

En la figura 3.5 se muestra el resultado del programa en ambos sistemas de referencia  $\Sigma_0(x_0, y_0, z_0)$  y el sistema de referencia rotado  $\Sigma_1(x_1, y_1, z_1)$ .



**Figura 3.5** Rotación de 90 grados alrededor del eje  $z_0$ .



### ♣ Ejemplo 3.4

Considere un punto  $\mathbf{p}_1 = [p_{1x}, p_{1y}, p_{1z}]^T = [0.8, 0.5, 1]^T$  en el sistema de referencia  $\Sigma_1 (z_1, y_1, z_1)$ , el cual mantiene una orientación relativa de 90 grados alrededor del eje  $z_0$  del sistema fijo  $\Sigma_0 (z_0, y_0, z_0)$ . Obtener la proyección del punto  $\mathbf{p}_1$  en el sistema fijo  $\Sigma_0$ .

### Solución

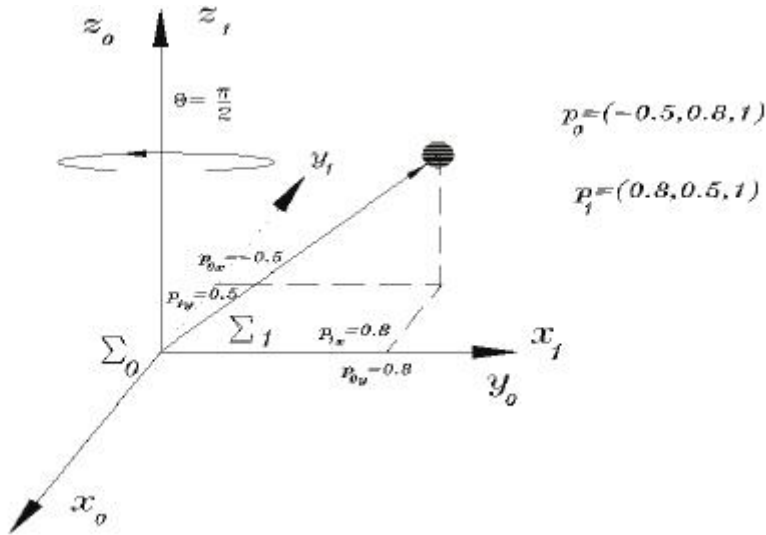
El punto  $\mathbf{p}_1 = [p_{1x}, p_{1y}, p_{1z}]^T = [0.8, 0.5, 1]^T$  se encuentra en el sistema de referencia  $\Sigma_1 (z_1, y_1, z_1)$ , la conversión de coordenadas al sistema de referencia fijo se realiza a través de:  $\mathbf{p}_0 = R(z, \theta)\mathbf{p}_1$ , obteniendo lo siguiente:

$$\begin{aligned} \mathbf{p}_0 &= \begin{bmatrix} \cos(\frac{\pi}{2}) & -\sin(\frac{\pi}{2}) & 0 \\ \sin(\frac{\pi}{2}) & \cos(\frac{\pi}{2}) & 0 \\ 0 & 0 & 1 \end{bmatrix} \begin{bmatrix} 0.8 \\ 0.5 \\ 1 \end{bmatrix} \\ &= \begin{bmatrix} -0.5 \\ 0.8 \\ 1 \end{bmatrix}. \end{aligned}$$

Nótese que el punto  $\mathbf{p}_0$  en el sistema de referencia fijo  $\Sigma_0 (z_0, y_0, z_0)$  se puede convertir al punto  $\mathbf{p}_1$  en el sistema de referencia rotado  $\Sigma_1 (z_1, y_1, z_1)$ , a través de la siguiente relación:

$$\begin{aligned} \mathbf{p}_1 &= \begin{bmatrix} \cos(\frac{\pi}{2}) & \sin(\frac{\pi}{2}) & 0 \\ -\sin(\frac{\pi}{2}) & \cos(\frac{\pi}{2}) & 0 \\ 0 & 0 & 1 \end{bmatrix} \begin{bmatrix} -0.5 \\ 0.8 \\ 1 \end{bmatrix} \\ &= \begin{bmatrix} 0.8 \\ 0.5 \\ 1 \end{bmatrix}. \end{aligned}$$

La figura 3.6 muestra la descripción geométrica del punto  $\mathbf{p}_1$  y su proyección sobre el sistema de referencia  $\Sigma_0 (z_0, y_0, z_0)$ . Observe que los ejes  $z_0$  y  $z_1$  se mantienen paralelos entre sí.



**Figura 3.6** Rotación relativa de 90 grados del sistema  $\Sigma_1$  alrededor del eje  $z_0$ .

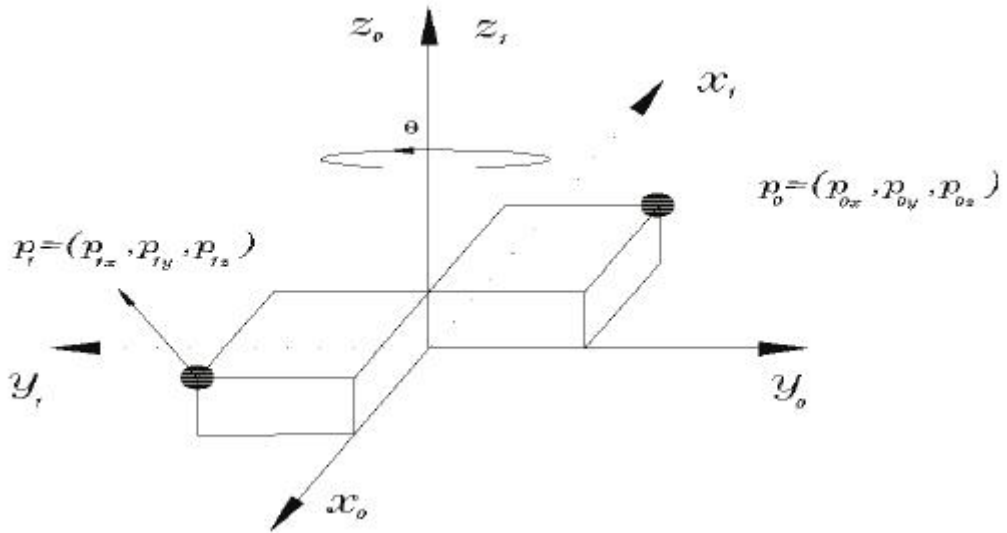
### ♣ Ejemplo 3.5

Considere un paralelepípedo rectangular definido en el sistema de referencia  $\Sigma_0(z_0, y_0, z_0)$ ; rotar el poliedro 180 grados alrededor del eje  $z_0$ . Describir la proyección del sistema de referencia rotado  $\Sigma_1(z_1, y_1, z_1)$  en el sistema de referencia fijo.

### Solución

Sea  $\mathbf{p}_0 = [p_{0x}, p_{0y}, p_{0z}]^T$  un punto sobre el paralelepípedo rectangular, al rotar este punto  $\mathbf{p}_0$  180 grados con respecto al eje  $z_0$  se mueve rígidamente junto con todo el sólido quedando en el punto  $\mathbf{p}_1 = [p_{1x}, p_{1y}, p_{1z}]^T$ .

Todos los puntos que pertenecen al poliedro están sujetos a la siguiente transformación:  $\mathbf{p}_1 = R_z(\pi)\mathbf{p}_0$ , es decir los puntos  $\mathbf{p}_0$  definidos en el sistema  $\Sigma_0(x_0, y_0, z_0)$  son transformados a coordenadas  $\mathbf{p}_1$  en el sistema  $\Sigma_1(x_1, y_1, z_1)$  por medio de la matriz de rotación  $R_z(\pi)$ . La interpretación geométrica de la rotación del poliedro 90 grados alrededor del eje  $z_0$  se presenta en la figura 3.7.



**Figura 3.7** Rotación de 180 grados alrededor del eje  $z_0$  de un paralelepípedo rectangular.



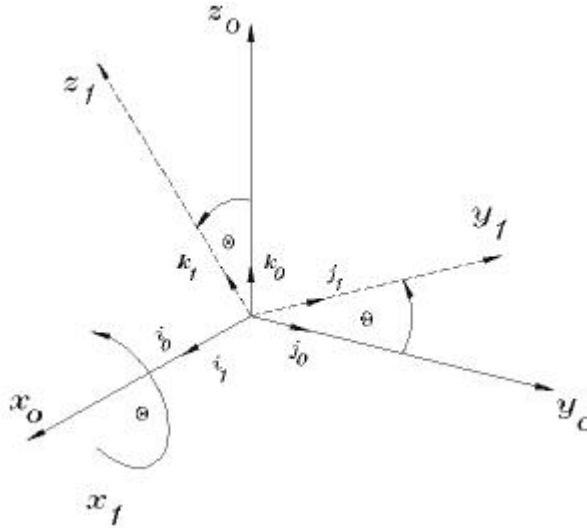
**Matriz de rotación alrededor del eje  $x_0$**

Considere el sistema de referencia  $\Sigma_1(z_1, y_1, z_1)$  el cual está rotado un ángulo  $\theta$  alrededor del eje  $x_0$  del sistema  $\Sigma_0(z_0, y_0, z_0)$ ; obtener la matriz resultante de rotación.

En la figura 3.8 se muestra la rotación del sistema  $\Sigma_1(z_1, y_1, z_1)$  con respecto al eje  $x_0$  del sistema fijo  $\Sigma_0(z_0, y_0, z_0)$ ; el ángulo de rotación  $\theta$  gira alrededor del eje  $x_0$  en sentido positivo (contrario a las manecillas del reloj).

En este caso el ángulo de rotación que existe entre los ejes  $x_0$  y  $x_1$  es cero, puesto que son ejes paralelos. Para la primera columna  $[\mathbf{i}_1 \cdot \mathbf{i}_0 \quad \mathbf{i}_1 \cdot \mathbf{j}_0 \quad \mathbf{i}_1 \cdot \mathbf{k}_0]^T$  de la matriz de rotación  $R_{10}(\theta)$  ecuación (3.9) tiene las siguientes componentes:  $\mathbf{i}_1 \cdot \mathbf{i}_0 = \cos(0) = 1$ ,  $\mathbf{i}_1 \cdot \mathbf{j}_0 = \cos(\frac{\pi}{2}) = 0$ ;  $\mathbf{i}_1 \cdot \mathbf{k}_0 = \cos(\frac{\pi}{2}) = 0$ . La segunda columna  $[\mathbf{j}_1 \cdot \mathbf{i}_0 \quad \mathbf{j}_1 \cdot \mathbf{j}_0 \quad \mathbf{j}_1 \cdot \mathbf{k}_0]^T$  adquiere la siguiente forma:  $\mathbf{j}_1 \cdot \mathbf{i}_0 = \cos(\frac{\pi}{2}) = 0$ ,  $\mathbf{j}_1 \cdot \mathbf{j}_0 = \cos(\theta)$  y  $\mathbf{j}_1 \cdot \mathbf{k}_0 = \cos(\theta - \frac{\pi}{2}) = \sin(\theta)$ .

Finalmente, la tercera columna  $[\mathbf{k}_1 \cdot \mathbf{i}_0 \quad \mathbf{k}_1 \cdot \mathbf{j}_0 \quad \mathbf{k}_1 \cdot \mathbf{k}_0]^T$  se encuentra definida



**Figura 3.8** Rotación de un ángulo  $\theta$  alrededor del eje  $x_0$ .

como:  $\mathbf{k}_1 \cdot \mathbf{i}_0 = \cos(\frac{\pi}{2}) = 0$ ,  $\mathbf{k}_1 \cdot \mathbf{j}_0 = \cos(\theta + \frac{\pi}{2}) = -\text{sen}(\theta)$  y  $\mathbf{k}_1 \cdot \mathbf{k}_0 = \cos(\theta)$ .

Por lo tanto, la matriz correspondiente de rotación está dada por:

$$\mathbf{R}_{10}(\theta) = \begin{bmatrix} 1 & 0 & 0 \\ 0 & \cos(\theta) & -\text{sen}(\theta) \\ 0 & \text{sen}(\theta) & \cos(\theta) \end{bmatrix}. \quad (3.16)$$

Observe que los ejes  $x_0$  y  $x_1$  coinciden entre sí, y el plano  $z_1 - y_1$  se desplaza un ángulo  $\theta$  de derecha a izquierda con respecto al plano  $x_0 - y_0$ .

### Notación

La matriz (3.16) cuyo ángulo de rotación  $\theta$  se realiza alrededor del eje  $x$  se denota por  $\mathbf{R}_x(\theta)$  y su estructura matemática es:

$$\mathbf{R}_x(\theta) = \begin{bmatrix} 1 & 0 & 0 \\ 0 & \cos(\theta) & -\text{sen}(\theta) \\ 0 & \text{sen}(\theta) & \cos(\theta) \end{bmatrix}. \quad (3.17)$$

Las propiedades de la matriz de rotación  $\mathbf{R}_x(\theta)$  son las mismas para  $\mathbf{R}_z(\theta)$ .



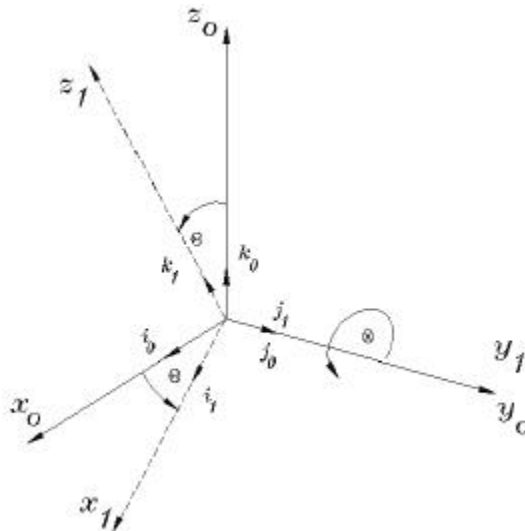
### Matriz de rotación alrededor del eje $y_0$

Considere los sistemas de referencia  $\Sigma_1(z_1, y_1, z_1)$  y  $\Sigma_0(z_0, y_0, z_0)$ , el sistema  $\Sigma_1(z_1, y_1, z_1)$  se encuentra rotado un ángulo  $\theta$  alrededor del eje  $y_0$  del sistema fijo  $\Sigma_0(z_0, y_0, z_0)$ . Obtener la matriz resultante de rotación.

De la figura 3.9 se puede obtener la matriz que relaciona la orientación relativa del sistema de referencia  $\Sigma_1(z_1, y_1, z_1)$  con respecto al sistema de referencia fijo  $\Sigma_0(z_0, y_0, z_0)$ . El ángulo de rotación  $\theta$  es alrededor del eje  $y_0$ .

La matriz  $R_{10}(\theta)$  adquiere la siguiente expresión:

$$R_{10}(\theta) = \begin{bmatrix} \cos(\theta) & 0 & \text{sen}(\theta) \\ 0 & 1 & 0 \\ -\text{sen}(\theta) & 0 & \cos(\theta) \end{bmatrix} \quad (3.18)$$



**Figura 3.9** Rotación de un ángulo  $\theta$  del sistema  $\Sigma_1$  alrededor del eje  $y_0$  del sistema  $\Sigma_0$ .

Observe que la rotación del ángulo  $\theta$  alrededor del eje  $y_0$  mueve el plano  $z_1 - x_1$ .

## Notación

La matriz de rotación (3.18) describe la orientación relativa del sistema  $\Sigma_1(z_1, y_1, z_1)$  con respecto al sistema de referencia fijo  $\Sigma_0(z_0, y_0, z_0)$  usando una rotación alrededor del eje  $y_0$ , la cual se denota por:

$$R_y(\theta) = \begin{bmatrix} \cos(\theta) & 0 & \sin(\theta) \\ 0 & 1 & 0 \\ -\sin(\theta) & 0 & \cos(\theta) \end{bmatrix} \quad (3.19)$$

Las propiedades de  $R_y(\theta)$  son las mismas que  $R_z(\theta)$ .



### 3.4 Reglas de rotación

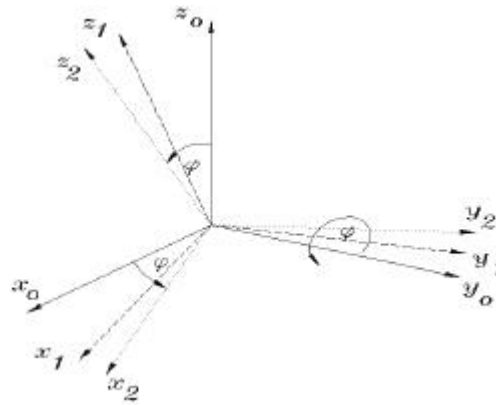
Generalmente la descripción de la orientación del sistema de referencia de la herramienta de trabajo del robot colocada en el extremo final del robot con respecto al sistema de referencia fijo en la base del robot involucra varias rotaciones sucesivas (composición de rotaciones). Existen varios métodos que permiten definir el orden o reglas de las rotaciones consecutivas.

#### Composición de rotaciones para sistemas de referencia sucesivos

Considere tres sistemas de referencia cartesianos definidos por  $\Sigma_0(x_0, y_0, z_0)$  (sistema fijo),  $\Sigma_1(x_1, y_1, z_1)$  tiene una rotación relativa al sistema fijo y sea el sistema de referencia  $\Sigma_2(x_2, y_2, z_2)$  cuya orientación relativa es con respecto al sistema de referencia  $\Sigma_1(x_1, y_1, z_1)$ . Todos los sistemas de referencia cartesianos comparten el mismo origen como se presenta en la figura 3.10.

El problema que se plantea es encontrar la expresión matemática que relaciona la orientación del sistema de referencia  $\Sigma_2(x_2, y_2, z_2)$  relativo al sistema de referencia fijo  $\Sigma_0(x_0, y_0, z_0)$ .

Puesto que los tres sistemas de referencia tienen el mismo origen, entonces un punto  $\mathbf{p}$  puede ser representado en función de las coordenadas  $\mathbf{p}_0, \mathbf{p}_1, \mathbf{p}_2$  de la siguiente



**Figura 3.10** Composición de rotaciones.

forma:

$$\mathbf{p}_0 = \mathbf{R}_{10}\mathbf{p}_1 \quad (3.20)$$

$$\mathbf{p}_1 = \mathbf{R}_{21}\mathbf{p}_2 \quad (3.21)$$

donde la matriz  $\mathbf{R}_{10}$  representa la orientación del sistema de referencia  $\Sigma_1(x_1, y_1, z_1)$  con respecto al sistema de referencia  $\Sigma_0(x_0, y_0, z_0)$ , y la matriz  $\mathbf{R}_{21}$  describe la orientación del sistema de referencia  $\Sigma_2(x_2, y_2, z_2)$  respecto al sistema  $\Sigma_1(x_1, y_1, z_1)$ .

Por lo tanto, la relación que hay entre un punto  $\mathbf{p}_0 \in \Sigma_0(x_0, y_0, z_0)$  con las coordenadas  $\mathbf{p}_2 \in \Sigma_2(x_2, y_2, z_2)$  está determinada por la siguiente expresión:

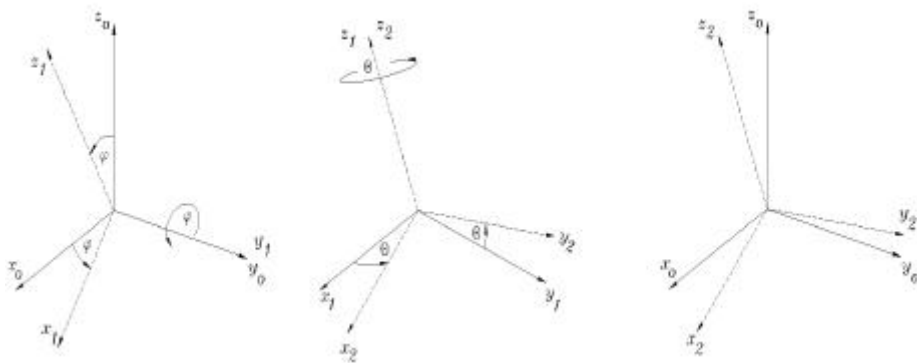
$$\mathbf{p}_0 = \mathbf{R}_{10}\mathbf{R}_{21}\mathbf{p}_2 \quad (3.22)$$

donde  $\mathbf{R}_{10}\mathbf{R}_{21}$  representa la orientación del sistema de referencia  $\Sigma_2(x_2, y_2, z_2)$  respecto al sistema fijo  $\Sigma_0(x_0, y_0, z_0)$ , y significa una regla de composición para establecer el orden para transformar un punto  $\mathbf{p}$  desde su representación en el sistema  $\Sigma_2(x_2, y_2, z_2)$  a su correspondiente representación en el sistema  $\Sigma_0(x_0, y_0, z_0)$ .

La regla de transformación  $\mathbf{R}_{10}\mathbf{R}_{21}$  establece que el primer paso es transformar el punto  $\mathbf{p}_2$  en coordenadas del sistema  $\Sigma_1(x_1, y_1, z_1)$  por medio de  $\mathbf{R}_{21}$ , posteriormente al punto  $\mathbf{p}_0$  por medio de  $\mathbf{R}_{10}$ . La regla de composición de rotaciones sucesivas se establece como:

$$R_{20} = R_{10}R_{21} \quad (3.23)$$

La regla de composición de rotaciones (3.23) puede ser interpretada de la siguiente manera: supóngase que inicialmente los tres sistemas  $\Sigma_1$ ,  $\Sigma_2$  y  $\Sigma_3$  coinciden. Primero se rota el sistema de referencia  $\Sigma_1(x_1, y_1, z_1)$  relativo a  $\Sigma_0(x_0, y_0, z_0)$  de acuerdo a la transformación  $R_{10}$ . Ahora con los sistemas de referencia coincidentes  $\Sigma_1$  y  $\Sigma_2$ , se rota el sistema  $\Sigma_2(x_2, y_2, z_2)$  relativo a  $\Sigma_1(x_1, y_1, z_1)$  de acuerdo a la transformación  $R_{21}$ . El sistema de referencia  $\Sigma_2(x_2, y_2, z_2)$  tiene una orientación con respecto al sistema de referencia  $\Sigma_0(x_0, y_0, z_0)$  dado por la matriz  $R_{10}R_{21}$  como se muestra en la figura 3.11.



**Figura 3.11** Regla de composición de rotaciones sucesivas.

La regla de composición de rotación sucesivas (3.23) se basa en generar nuevos sistemas de referencia consecutivos. Por ejemplo, se forma el sistema de referencia  $\Sigma_1(x_1, y_1, z_1)$  como consecuencia de rotar un ángulo determinado alrededor de uno de los ejes principales del sistema  $\Sigma_0(x_0, y_0, z_0)$ , seguido por otra rotación ahora alrededor del eje  $y_1$  del sistema actual  $\Sigma_1(x_1, y_1, z_1)$  para obtener el sistema de referencia  $\Sigma_2(x_2, y_2, z_2)$ . Realizando giros en diferente orden, se obtienen otros tipos de representaciones.

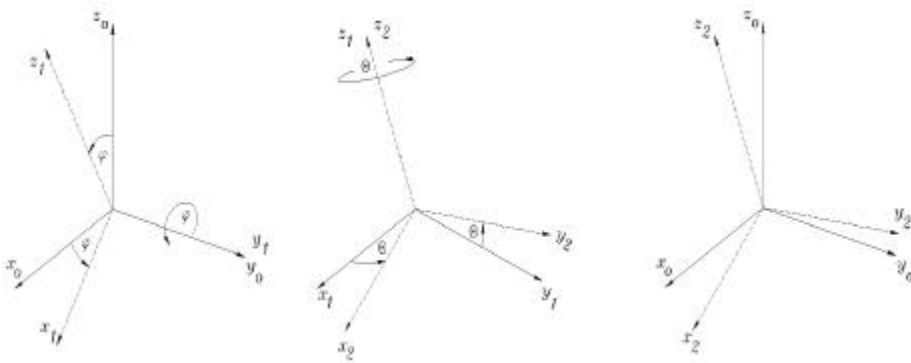
Es importante subrayar que la multiplicación de matrices de rotación no es conmutativa, en consecuencia el orden de las rotaciones no es conmutativo.

♣ **Ejemplo 3.6**

Considere el procedimiento de rotación que se muestra en la figura 3.12; obtener la matriz resultante que define la rotación del sistema de referencia  $\Sigma_2$  con respecto al sistema de referencia  $\Sigma_0$ .

**Solución**

En la figura 3.12 se pueden observar los tres sistemas de referencia  $\Sigma_0, \Sigma_1$  y  $\Sigma_2$ . Todos los sistemas de referencia comparten el mismo origen.



**Figura 3.12** Rotación con respecto al sistema actual.

En el esquema izquierdo de la figura 3.12 se encuentran definidos los sistemas de referencia  $\Sigma_0 (x_0, y_0, z_0)$  y  $\Sigma_1 (x_1, y_1, z_1)$ . Los ejes  $y_0$  y  $y_1$  son paralelos entre sí; existe una rotación por un ángulo  $\varphi$  alrededor del eje  $y_0$  que se representa por la matriz  $R_{y_0, \varphi}$ . Posteriormente, continúa una rotación por un ángulo  $\theta$  alrededor del eje  $z_1$  para generar el sistema de referencia  $\Sigma_2 (x_2, y_2, z_2)$  (parte central de la figura 3.12), los ejes  $z_1$  y  $z_2$  son paralelos entre sí. La orientación relativa del sistema  $\Sigma_2$  con respecto al sistema de referencia  $\Sigma_1$  está determinada por la matriz  $R_{z_1}(\theta)$ .

El esquema derecho de la figura 3.12 muestra la orientación del sistema de referencia  $\Sigma_2$  con respecto al sistema de referencia  $\Sigma_0$ , cuya matriz de rotación se encuentra dado por:

$$R_{20} = R_{10}R_{21} = R_{y_0}(\varphi) R_{z_1}(\theta)$$

$$\begin{aligned}
&= \begin{bmatrix} \cos(\varphi) & 0 & \sin(\varphi) \\ 0 & 1 & 0 \\ -\sin(\varphi) & 0 & \cos(\varphi) \end{bmatrix} \begin{bmatrix} \cos(\theta) & -\sin(\theta) & 0 \\ \sin(\theta) & \cos(\theta) & 0 \\ 0 & 0 & 1 \end{bmatrix} \\
&= \begin{bmatrix} \cos(\psi) \cos(\theta) & -\cos(\psi) \sin(\theta) & \sin(\psi) \\ \sin(\theta) \cos(\theta) & 0 & 0 \\ -\sin(\varphi) \cos(\theta) \sin(\psi) & \sin(\theta) \cos(\varphi) & \sin(\varphi) \sin(\theta) \cos(\varphi) \end{bmatrix}
\end{aligned}$$

donde  $R_{10} = R_{y_0}(\varphi)$  y  $R_{21} = R_{z_1}(\theta)$ .

Para mostrar que el orden de las rotaciones es importante, considere el caso donde las rotaciones se realizan en orden inverso:  $R_{20} = R_{21}R_{10} = R_{z_1}(\theta)R_{y_0}(\varphi)$ . Es decir, primero la rotación alrededor del eje  $z_1$ , seguida por una rotación alrededor del eje  $y_0$ . Entonces, la matriz resultante está dada por:

$$\begin{aligned}
R_{20} &= R_{z_1}(\theta) R_{y_0}(\varphi) \\
&= \begin{bmatrix} \cos(\theta) & -\sin(\theta) & 0 \\ \sin(\theta) & \cos(\theta) & 0 \\ 0 & 0 & 1 \end{bmatrix} \begin{bmatrix} \cos(\varphi) & 0 & \sin(\varphi) \\ 0 & 1 & 0 \\ -\sin(\varphi) & 0 & \cos(\varphi) \end{bmatrix} \\
&= \begin{bmatrix} \cos(\theta) \cos(\psi) & -\sin(\theta) \cos(\psi) & \cos(\theta) \sin(\psi) \\ \sin(\theta) \cos(\psi) & \cos(\theta) \sin(\psi) & \sin(\theta) \sin(\psi) \\ -\sin(\psi) & 0 & \cos(\psi) \end{bmatrix}
\end{aligned}$$

Observe que es importante el orden de rotaciones:  $R_{20} = R_{10}R_{21}$ . Es decir, en general  $R_{20} \neq R_{21}R_{10}$ .

### ♣ ♣ Ejemplo 3.7

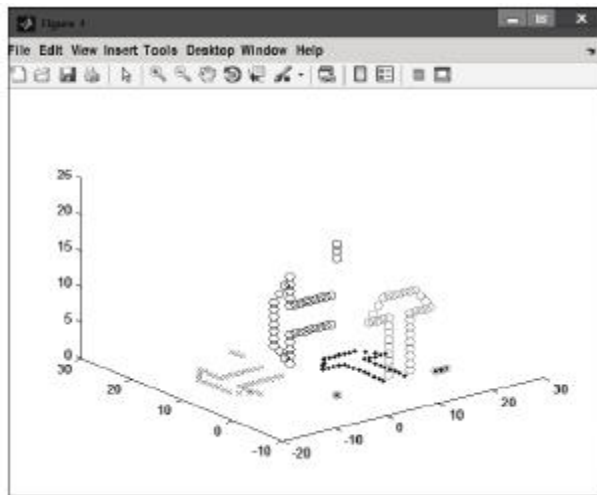
Considere una figura de prueba (flecha) que se encuentra definida en el sistema de referencia  $\Sigma_0(x_0, y_0, z_0)$ . Realizar rotaciones sucesivas por un ángulo  $\theta = \frac{\pi}{2}$  alrededor de los eje  $z_0$ , del sistema resultante  $\Sigma_1(x_1, y_1, z_1)$  realizar una rotación  $\theta = \frac{\pi}{2}$  alrededor del eje  $x_1$ , y finalmente del sistema generado  $\Sigma_2(x_2, y_2, z_2)$  rotar alrededor del eje  $y_2$  por  $\theta = \frac{\pi}{2}$

### Solución

La figura de prueba es una flecha cuyas coordenadas se encuentran definidas en el sistema de referencia  $\Sigma_0(x_0, y_0, z_0)$ , cada coordenada de la figura de prueba se encuentra especificada por un punto  $\mathbf{p}_0 = [p_{x0}, p_{y0}, p_{z0}]^T$ . Un observador en el sistema de referencia  $\Sigma_0(x_0, y_0, z_0)$  verá a la figura de prueba sin ningún efecto de rotación. Sin embargo, después de realizar la rotación  $R_{z_0}(\frac{\pi}{2})$  un observador colocado en el sistema de referencia  $\Sigma_0(x_0, y_0, z_0)$  verá a dicha figura rotada 90 grados en el nuevo sistema generado  $\Sigma_1(x_1, y_1, z_1)$ . Las coordenadas de la flecha en el sistema  $\Sigma_1(x_1, y_1, z_1)$  son  $\mathbf{p}_1 = R_{z_0}(\frac{\pi}{2})\mathbf{p}_0$ . Posteriormente se realiza una nueva rotación de 90 grados alrededor del eje  $x_1$ , dada por:  $R_{x_1}(\frac{\pi}{2})$ , con esto se genera el sistema  $\Sigma_2(x_2, y_2, z_2)$ . Las coordenadas de la flecha en este sistema  $\Sigma_2(x_2, y_2, z_2)$  están especificadas por  $\mathbf{p}_2 = R_{x_1}(\frac{\pi}{2})\mathbf{p}_1$ . La última rotación consiste en girar a la imagen de prueba (flecha) 90 grados alrededor del eje  $y_2$ . Esta rotación genera el sistema de referencia  $\Sigma_3(x_3, y_3, z_3)$  con coordenadas de la imagen  $\mathbf{p}_3 = R_{y_2}(\frac{\pi}{2})\mathbf{p}_2$ .

La relación del sistema de referencia  $\Sigma_3(x_3, y_3, z_3)$  con el sistema de referencia  $\Sigma_0(x_0, y_0, z_0)$  es:  $\mathbf{p}_3 = R_{y_2}(\frac{\pi}{2})R_{x_1}(\frac{\pi}{2})R_{z_0}(\frac{\pi}{2})\mathbf{p}_0$  o  $\mathbf{p}_3 = [R_{y_2}(\frac{\pi}{2})R_{x_1}(\frac{\pi}{2})R_{z_0}(\frac{\pi}{2})]^T \mathbf{p}_0$ .

La figura 3.13 muestra la sucesión de rotaciones.

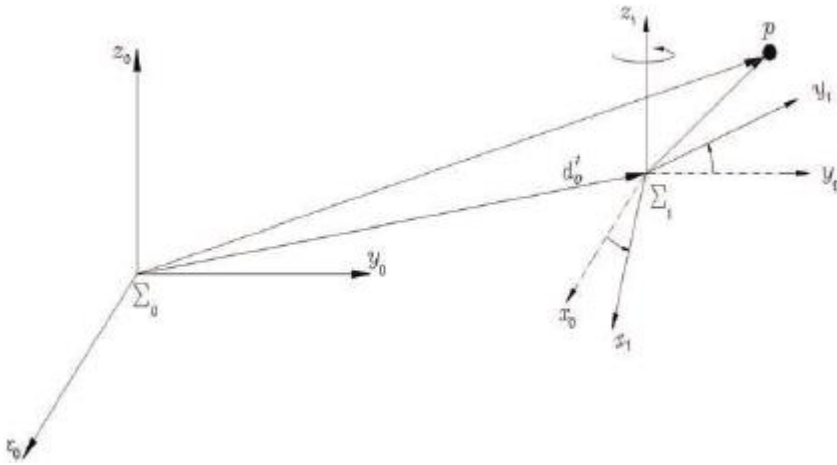


**Figura 3.13** Rotaciones sucesivas de la figura de prueba alrededor de los ejes  $z_0, x_1, y_2$ .



## 3.5 Transformaciones de traslación

Considere el sistema de referencia cartesiano fijo  $\Sigma_0 (x_0, y_0, z_0)$  y el sistema de referencia  $\Sigma_1 (x_1, y_1, z_1)$ , donde sus respectivos orígenes son no coincidentes. El origen del sistema de referencia  $\Sigma_1$  se encuentra desplazado una distancia  $\mathbf{d}_{10}$  con respecto al origen del sistema  $\Sigma_0$ , como se muestra en la figura 3.14.



**Figura 3.14** Transformaciones de traslación y rotación del sistema  $\Sigma_1$  con respecto al sistema  $\Sigma_0$ .

El vector  $\mathbf{d}_{10}$  está expresado en coordenadas del sistema  $\Sigma_0$ :  $\mathbf{d}_{10} = [d_{10x}, d_{10y}, d_{10z}]^T$ , entonces cualquier punto  $\mathbf{p}$  tiene representación  $\mathbf{p}_0$  y  $\mathbf{p}_1$ . La relación general entre los sistemas de referencia  $\Sigma_0 (x_0, y_0, z_0)$  y  $\Sigma_1 (x_1, y_1, z_1)$  incluyendo la matriz de rotación  $\mathbf{R}_{10}$  y el vector de traslación  $\mathbf{d}_{10}$  es:

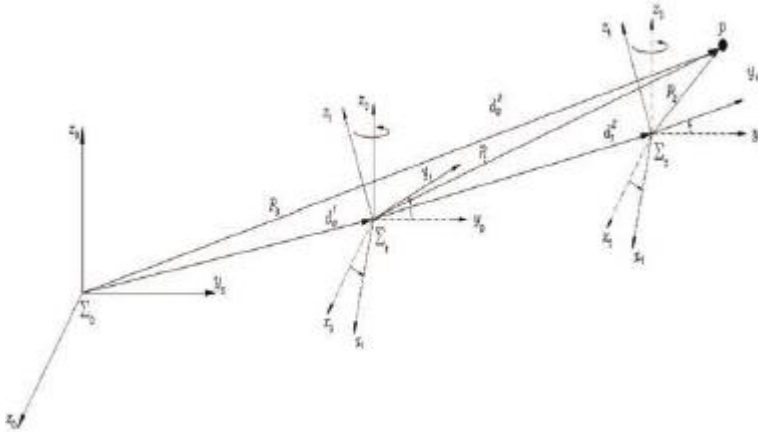
$$\begin{aligned} \mathbf{p}_0 &= \mathbf{d}_{10} + \mathbf{R}_{10}\mathbf{p}_1 & (3.24) \\ &= \begin{bmatrix} d_{10x} \\ d_{10y} \\ d_{10z} \end{bmatrix} + \mathbf{R}_{10} \begin{bmatrix} p_{1x} \\ p_{1y} \\ p_{1z} \end{bmatrix}. \end{aligned}$$

Para el caso de tres sistemas de referencia cartesianos  $\Sigma_0(x_0y_0z_0)$ ,  $\Sigma_1(x_1y_1z_1)$  y

$\Sigma_2(x_2y_2z_2)$  (ver figura 3.15) se obtienen las siguientes expresiones:

$$\mathbf{p}_0 = \mathbf{d}_{10} + R_{10}\mathbf{p}_1 \quad (3.25)$$

$$\mathbf{p}_1 = \mathbf{d}_{21} + R_{21}\mathbf{p}_2 \quad (3.26)$$



**Figura 3.15** Traslación y rotación de  $\Sigma_1$  y  $\Sigma_2$  con respecto al sistema  $\Sigma_0$ .

Sustituyendo la ecuación (3.26) en (3.25) se tiene:

$$\mathbf{p}_0 = \mathbf{d}_{10} + R_{10}\mathbf{d}_{21} + R_{10}R_{21}\mathbf{p}_2. \quad (3.27)$$

Por lo tanto, la regla de transformación de traslación y orientación de un punto  $\mathbf{p}_2$  en el sistema  $\Sigma_2(x_2y_2z_2)$  hacia un punto  $\mathbf{p}_0$  en el sistema  $\Sigma_0(x_0y_0z_0)$  adquiere la siguiente estructura:

$$\mathbf{p}_0 = \mathbf{d}_{20} + R_{20}\mathbf{p}_2 \quad (3.28)$$

donde

$$R_{20} = R_{10}R_{21}$$

$$\mathbf{d}_{20} = \mathbf{d}_{10} + R_{10}\mathbf{d}_{21}$$

## 3.6 Transformaciones homogéneas

La notación más común para representar la transformación de traslación y rotación en forma compacta se conoce como **transformación homogénea**. Por ejemplo, para representar el caso de traslación y rotación del sistema  $\Sigma_1(x_1y_1z_1)$  con respecto al sistema  $\Sigma_0(x_0y_0z_0)$

$$\mathbf{p}_0 = \mathbf{d}_{10} + \mathbf{R}_{10}\mathbf{p}_1$$

la transformación homogénea se realiza con la siguiente notación:

$$H_0^1 = \begin{bmatrix} \mathbf{0}^T & 1 \\ \text{Matriz de traslación} \\ \dots & \dots \\ \mathbf{0}^T & 1 \end{bmatrix} \tag{3.29}$$

donde  $\mathbf{R}_{10} \in SO(3)$  y  $\mathbf{d}_{10} \in \mathbb{R}^3$ . Para propósitos de acoplamiento en dimensiones, el vector  $\mathbf{0}^T$  y el número 1 aparecen en el último renglón.

La representación inversa que relaciona el punto  $\mathbf{p}_1$  en función del punto  $\mathbf{p}_0$  adquiere la siguiente forma:

$$\mathbf{p}_1 = -\mathbf{R}_{10}^T \mathbf{d}_{10} + \mathbf{R}_{10}^T \mathbf{p}_0$$

entonces, la transformación homogénea inversa está determinada por:

$$H_0^{1^{-1}} = \begin{bmatrix} \mathbf{0}^T & 1 \\ \mathbf{R}_{10}^T & -\mathbf{R}_{10}^T \mathbf{d}_{10} \\ \dots & \dots \\ \mathbf{0}^T & 1 \end{bmatrix} \tag{3.30}$$

Las matrices de rotación permiten modelar la orientación de la herramienta de trabajo colocada en el extremo final del robot, y junto con las transformaciones homogéneas dentro de una sola matriz incluye la orientación y posición de la herramienta de trabajo, formando la estructura del modelo cinemático directo.



### 3.7 Librerías para matrices homogéneas

En esta sección se presentan las librerías de transformación homogénea de rotación y traslación con respecto a los ejes principales  $x, y, z$ .

#### Matrices de transformación homogénea de rotación

Las matrices de transformación homogénea de rotación con respecto a los ejes  $x, y, z$ , respectivamente, tienen la siguiente estructura:

$$\begin{aligned}
 HR_x(\theta) &= \begin{bmatrix} 1 & 0 & 0 & 0 \\ 0 & \cos(\theta) & -\sin(\theta) & 0 \\ 0 & \sin(\theta) & \cos(\theta) & 0 \\ 0 & 0 & 0 & 1 \end{bmatrix} & HR_y(\theta) &= \begin{bmatrix} \cos(\theta) & 0 & \sin(\theta) & 0 \\ 0 & 1 & 0 & 0 \\ -\sin(\theta) & 0 & \cos(\theta) & 0 \\ 0 & 0 & 0 & 1 \end{bmatrix} \\
 HR_z(\theta) &= \begin{bmatrix} \cos(\theta) & -\sin(\theta) & 0 & 0 \\ \sin(\theta) & \cos(\theta) & 0 & 0 \\ 0 & 0 & 1 & 0 \\ 0 & 0 & 0 & 1 \end{bmatrix}
 \end{aligned}$$

#### Matrices de transformación homogénea de traslación

Las matrices de transformación homogénea de traslación con respecto a los ejes  $x, y, z$  respectivamente tienen la siguiente estructura:

$$\begin{aligned}
 HT_x(d) &= \begin{bmatrix} 1 & 0 & 0 & d \\ 0 & 1 & 0 & 0 \\ 0 & 0 & 1 & 0 \\ 0 & 0 & 0 & 1 \end{bmatrix} & HT_y(d) &= \begin{bmatrix} 1 & 0 & 0 & 0 \\ 0 & 1 & 0 & d \\ 0 & 0 & 1 & 0 \\ 0 & 0 & 0 & 1 \end{bmatrix} & HT_z(d) &= \begin{bmatrix} 1 & 0 & 0 & 0 \\ 0 & 1 & 0 & 0 \\ 0 & 0 & 1 & d \\ 0 & 0 & 0 & 1 \end{bmatrix}
 \end{aligned}$$

#### Matriz de transformación homogénea Denavit-Hartenberg

La matriz de transformación homogénea Denavit Hartenberg tiene la forma siguiente:

$$H = \begin{bmatrix} R & \begin{bmatrix} x \\ y \\ z \end{bmatrix} \\ \mathbf{0}^T & 1 \end{bmatrix}$$



### Matriz de transformación homogénea $HR_x(\theta)$

La sintaxis de la función de transformación homogénea de rotación  $HR_x(\theta)$  alrededor del eje  $x$  está dada por:

$$RHx=HRx(\theta)$$



donde  $\theta$  es el ángulo de rotación alrededor del eje  $x$  y es la variable de la función  $HR_x(\theta)$ . Retorna la matriz de transformación homogénea  $RHx$ .



#### Código Fuente 3.6 Función $HR_x(\theta)$

%MATLAB Aplicado a Robótica y Mecatrónica.  
 %Editorial Alfaomega, Fernando Reyes Cortés.  
 %Capítulo 3 Cinemática %función HRx.m

Función  $HR_x(\theta)$

```

1 function RHx=HRx(theta)
2     dato=whos('theta');
3     if strcmp(dato.class, 'sym') %variables simbólicas
4         RHx=[1, 0, 0, 0;
5             0, cos(theta), -sin(theta), 0;
6             0, sin(theta), cos(theta), 0;
7             0, 0, 0, 1];
8     else digits(3); %cálculos numéricos
9         RHx=round([1, 0, 0, 0;
10                0, vpa(cos(theta),3), vpa(-sin(theta),3), 0;
11                0, vpa(sin(theta),3), vpa(cos(theta),3), 0;
12                0, 0, 0, 1]);
13     end
14 end

```



### Matriz de transformación homogénea $HR_y(\theta)$

La sintaxis de la función de transformación homogénea de rotación  $HR_y(q)$  alrededor del eje  $y$  está dada por:

if

$$RH_y = HR_y(\theta)$$

donde  $\theta$  es el ángulo de rotación alrededor del eje  $y$  y  $y$  es la variable de la función  $HR_y(\theta)$ . Retorna la matriz de transformación homogénea  $RH_y$ .



#### Código Fuente 3.7 Función $HR_y(\theta)$

%MATLAB Aplicado a Robótica y Mecatrónica.

%Editorial Alfaomega, Fernando Reyes Cortés.

%Capítulo 3 Cinemática %función  $HR_y.m$

#### Función $HR_y(\theta)$

```

1 function RH_y=HR_y(theta)
2     dato=whos('theta'); if strcmp(dato.class, 'sym') %variables
   simbólicas
3         RH_y=[cos(theta), 0, sin(theta), 0;
4               0, 1, 0, 0;
5               -sin(theta), 0, cos(theta), 0;
6               0, 0, 0, 1];
7     else digits(3); %cálculos numéricos
8         RH_y=round([ vpa(cos(theta),3), 0, vpa(sin(theta),3), 0;
9                     0, 1, 0, 0;
10                    vpa(-sin(theta),3), 0, vpa(cos(theta),3), 0;
11                    0, 0, 0, 1]);
12     end
13 end

```



### Matriz de transformación homogénea $HR_z(\theta)$

La sintaxis de la función de transformación homogénea de rotación  $HR_z(\theta)$  alrededor del eje  $z$  está dada por:

$$RH_z = HR_z(\theta)$$



donde  $\theta$  es el ángulo de rotación alrededor del eje  $z$  y es la variable de la función  $HR_z(\theta)$ . Retorna la matriz de transformación homogénea  $RH_z$ .



#### Código Fuente 3.8 Función $HR_z(\theta)$

%MATLAB Aplicado a Robótica y Mecatrónica.

%Editorial Alfaomega, Fernando Reyes Cortés.

%Capítulo 3 Cinemática %función HRz.m

Función  $HR_z(\theta)$

```

1 function RHZ=HRz(theta)
2     dato=whos('theta');
3     if strcmp(dato.class, 'sym') %variables simbólicas
4         RHZ=[cos(theta), -sin(theta), 0, 0;
5             sin(theta), cos(theta), 0, 0;
6             0, 0, 1, 0;
7             0, 0, 0, 1];
8     else digits(3); %cálculos numéricos
9         RHZ=round([ vpa(cos(theta),3), vpa(-sin(theta),3), 0, 0;
10                vpa(sin(theta),3), vpa(cos(theta),3), 0, 0;
11                0, 0, 1, 0;
12                0, 0, 0, 1]);
13     end
14 end

```



### Matriz de transformación homogénea $HT_x(d)$

La sintaxis de la función de transformación homogénea de traslación  $HT_x(d)$  a lo largo del eje  $x$  está dada por:

if

$$TH_x = HT_x(d)$$

donde  $d$  es el desplazamiento de traslación sobre el eje  $x$ . Retorna la matriz de transformación homogénea  $TH_x$ .



#### Código Fuente 3.9 Función $HT_x(d)$

%MATLAB Aplicado a Robótica y Mecatrónica.

%Editorial Alfaomega, Fernando Reyes Cortés.

%Capítulo 3 Cinemática %función  $HT_x.m$

Función  $HT_x(d)$

```

1 function Tx=HTx(d)
2 | Tx=[ 1 0 0 d; 0 1 0 0; 0 0 1 0; 0 0 0 1];
3 end

```



### Matriz de transformación homogénea $HT_y(d)$

La sintaxis de la función de transformación homogénea de traslación  $HT_y(d)$  a lo largo del eje  $y$  está dada por:

if

$$TH_y = HT_y(d)$$

donde  $d$  es el desplazamiento lineal de traslación sobre el eje  $y$ . Retorna la matriz de transformación homogénea  $TH_y$ .

**Código Fuente 3.10 Función  $HT_y(d)$** 

```
%MATLAB Aplicado a Robótica y Mecatrónica.
%Editorial Alfaomega, Fernando Reyes Cortés.
%Capítulo 3 Cinemática %función HTy.m
```

---

Función  $HT_y(d)$

---

```
1 function Tz=HTy(d)
2 | Tz=[ 1 0 0 0; 0 1 0 d; 0 0 1 0; 0 0 0 1];
3 end
```

---

**Matriz de transformación homogénea  $HT_z(d)$** 

La sintaxis de la función de transformación homogénea de traslación  $HT_z(d)$  a lo largo del eje  $z$  está dada por:

$THz=HTz(d)$

donde  $d$  es el desplazamiento lineal de traslación sobre el eje  $z$ . Retorna la matriz de transformación homogénea  $THz$ .

**Código Fuente 3.11 Función  $HT_z(d)$** 

```
%MATLAB Aplicado a Robótica y Mecatrónica.
%Editorial Alfaomega, Fernando Reyes Cortés.
%Capítulo 3 Cinemática %función HTz.m
```

---

Función  $HT_z(d)$

---

```
1 function Tz=HTz(d)
2 | Tz=[ 1 0 0 0; 0 1 0 0; 0 0 1 d; 0 0 0 1];
3 end
```

---



### 3.7.7. Matriz de transformación DH

La función `H_DH(H)` extrae de la matriz de transformación homogénea `H` la matriz de rotación y el vector de coordenadas cartesianas.

La sintaxis de la función de transformación homogénea DH está dada por:

```
if
```

```
[R vect_d vect_cero c]=H_DH(H)
```

donde `H` es la variable de entrada y representa la matriz de transformación homogénea. Retorna la matriz de rotación `R`, el vector de coordenadas cartesianas `vect_d`, el vector `vect_cero=[0, 0, 0]T` y la constante unitaria `c=1`.



#### Código Fuente 3.12 Función H\_DH

```
%MATLAB Aplicado a Robótica y Mecatrónica.
%Editorial Alfaomega, Fernando Reyes Cortés.
%Capítulo 3 Cinemática %función H_DHm
```

##### Función H\_DH

```
1 function [R vect_d vect_cero c]=H_DH(H)
2     for i=1:3
3         for j=1:3
4             R(i,j)=H(i,j);
5         end
6     end
7     %estructura de la matriz de transformación homogénea
8     vect_d=[H(1,4); H(2,4); H(3,4)];
9     vect_cero=[0;0;0]';
10    c=1;
11 end
```

## 3.8 Resumen



**C**inématica de robots manipuladores y sistemas mecatrónicos encuentra su fundamento en una clase particular de matrices denominadas ortogonales. Estos preliminares matemáticos constituyen la base para desarrollar propiedades, reglas y operaciones de traslación y rotación entre dos sistemas de referencia  $\Sigma_0(x_0, y_0, z_0)$  y  $\Sigma_1(x_1, y_1, z_1)$  bajo una estructura matemática denominada matriz de transformación homogénea.

La matriz ortogonal  $R_{10}$  representa la orientación del sistema de referencia  $\Sigma_0(x_0, y_0, z_0)$  con respecto al sistema  $\Sigma_1(x_1, y_1, z_1)$ . De particular interés son las matrices de rotación  $R_x(\theta)$ ,  $R_y(\theta)$ ,  $R_z(\theta)$  ya que representan la rotación alrededor de los ejes principales  $x$ ,  $y$ ,  $z$ , respectivamente. El orden como se realice la rotación determina la regla o procedimiento de orientar un sistema de referencia con respecto a otro.

En este capítulo se ha desarrollado un conjunto de librerías para realizar operaciones de traslación y rotación. La librería  $R=R_z(\theta)$  realiza la rotación del sistema de referencia  $\Sigma_1(x_1, y_1, z_1)$  con respecto al sistema de referencia  $\Sigma_0(x_0, y_0, z_0)$ . Esta función puede trabajar con variables simbólicas y también para realizar aplicaciones numéricas. De manera análoga se puede implementar las funciones  $R=R_x(\theta)$  y  $R=R_y(\theta)$ .

Cuando hay combinación de cálculos numéricos con variables simbólicas, como es el caso de las matrices de transformación homogénea (rotación y traslación) la funciones `vpa`, `round` y `double` pueden ayudar a presentar el resultado numérico de manera conveniente.

Por otro lado, para simplificar las expresiones simbólicas se recomienda usar la función `simplify`, por lo que el lector puede modificar el código fuente de las librerías desarrolladas para presentar resultados simbólicos o numéricos a su entera conveniencia.

La tabla 3.1 contiene el resumen de las librerías para realizar las matrices de

transformación homogénea de traslación y rotación.

**Tabla 3.1 Matrices de transformación homogénea**

Función	Sintaxis
Matriz de transformación homogénea de rotación alrededor del eje $x$	$RHx=HRx(\theta) \quad \theta \in \mathbb{R}.$
Matriz de transformación homogénea de rotación alrededor del eje $y$	$RHy=HRy(\theta) \quad \theta \in \mathbb{R}.$
Matriz de transformación homogénea de rotación alrededor del eje $z$	$RHz=HRz(\theta) \quad \theta \in \mathbb{R}.$
Matriz de transformación homogénea de traslación sobre el eje $x$	$THx=HTx(d) \quad d \in \mathbb{R}.$
Matriz de transformación homogénea de traslación sobre el eje $y$	$THy=HTy(d) \quad d \in \mathbb{R}.$
Matriz de transformación homogénea de traslación sobre el eje $z$	$THz=HTz(d) \quad d \in \mathbb{R}.$
Matriz de transformación homogénea Denavit-Hartenberg	$[R \text{ vect\_}d \text{ vect\_}cero \ c]=H \ DH(H)$ $R \in SO(3)$ es la matriz de rotación $\text{vect\_}d$ es el vector con coordenadas cartesianas: $[x \ y \ z]^T$ $\text{vect\_}cero=[0, 0, 0]^T$ $c=1.$

# 4

## Capítulo

# Cinemática directa

$l_i$	$\alpha_i$	$d_i$	$\dot{\beta}_i$	$\theta_i$
-------	------------	-------	-----------------	------------

$$H_{i-1}^i = H_{R_{z_i}}(\theta_i) H_{T_{z_i}}(d_i \dot{\beta}_i) H_{T_{x_i}}(l_i) H_{R_{x_i}}(\alpha_i)$$

- 4.1 Introducción
- 4.2 Cinemática inversa
- 4.3 Cinemática diferencial
- 4.4 Clasificación de robots industriales
- 4.5 Convención Denavit-Hartenberg
- 4.6 Resumen

## Objetivos

Presentar el modelo de cinemática directa de las principales configuraciones de robots industriales considerando los parámetros geométricos y desarrollar librerías en lenguaje **MATLAB** (toolbox) que permitan realizar aplicaciones en el área de cinemática directa de robots manipuladores.

### Objetivos particulares:

-  Matrices de rotación.
-  Transformaciones homogéneas.
-  Método de Denavit-Hartenberg.
-  Cinemática directa cartesiana.
-  Librerías de análisis y diseño de cinemática de robots industriales.

## 4.1 Introducción

**C**inemática es la parte de la física que estudia el movimiento de sistemas mecánicos, sin tomar en cuenta las fuerzas que originan dicho movimiento, por lo tanto no involucra ecuaciones diferenciales como en el caso de la dinámica. Al estudio de la cinemática de sistemas mecatrónicos y robots manipuladores se le denomina **cinemática directa**, se refiere al estudio analítico del movimiento del robot con respecto a un sistema de referencia cartesiano fijo  $\Sigma_0(x_0, y_0, z_0)$  relacionando la dependencia que existe entre las coordenadas articulares o generalizadas  $\mathbf{q} \in \mathbb{R}^n$ , y los parámetros geométricos (longitudes del  $i$ -ésimo eslabón  $l_i$ ), con coordenadas cartesianas  $[x, y, z]^T \in \mathbb{R}^3$  y la orientación  $[\theta, \varphi, \psi]^T \in \mathbb{R}^3$  del extremo final del robot a través de una función vectorial  $\mathbf{f}_R$  continua y diferenciable en la variable de estado  $\mathbf{q}$  generalmente no lineal.

**Cinemática directa** es una función vectorial  $\mathbf{f}_R(l_i, \mathbf{q})$  que relaciona las coordenadas articulares  $\mathbf{q} \in \mathbb{R}^n$  y propiedades geométricas del sistema mecánico  $l_i$  con las coordenadas cartesianas  $[x, y, z]^T \in \mathbb{R}^3$  del robot y la orientación  $[\theta, \varphi, \psi]^T \in \mathbb{R}^3$  de la herramienta colocada en el extremo final. Es decir  $\mathbf{f}_R : \mathbb{R}^n \rightarrow \mathbb{R}^m$  tal que:

$$\begin{bmatrix} x \\ y \\ z \\ \theta \\ \varphi \\ \psi \end{bmatrix} = \mathbf{f}_R(l_i, \mathbf{q}) \quad (4.1)$$

donde  $n$  indica el número de grados de libertad y la dimensión del vector de coordenadas articulares  $\mathbf{q}$ ,  $m$  es la dimensión conjunta de las coordenadas cartesianas y la orientación de la herramienta de trabajo.

De manera general, el posicionamiento del extremo final del robot en el espacio tridimensional (pose) requiere de 6 coordenadas ( $m = 6$ ): 3 coordenadas para la

posición cartesiana y 3 coordenadas para la orientación de la herramienta de trabajo. Dependiendo de la aplicación del robot se pueden requerir menos coordenadas de posición y orientación. Por ejemplo, un robot para pintura de armaduras automotrices requiere las 6 coordenadas, en contraste con un robot que corta figuras de plástico sobre un plano requiere 2 coordenadas cartesianas de posición y ninguna de orientación. Cuando  $n > m$  se denomina robots redundantes. El empleo de la cinemática directa resulta de utilidad en la planificación de trayectorias y en el control cartesiano. El papel fundamental de la cinemática directa, es computar la posición y orientación del extremo final del robot manipulador como una función de las variables articulares.

Un robot manipulador se considera como una serie de eslabones interconectados a través de articulaciones (servomotores) rotacionales o prismáticas en forma de cadena cinemática abierta, es decir el extremo final donde se coloca la herramienta no se encuentra conectada mecánicamente a la primera articulación (base) del robot. Desde el punto de vista topológico, la cadena cinemática se considera abierta cuando los dos extremos de la cadena no se tocan. De otra manera la cadena cinemática formaría un lazo si sus dos extremos están mecánicamente unidos.

La estructura mecánica del robot manipulador se caracteriza por tener un número de grados de libertad, los cuales determinan en forma única su configuración. Típicamente, cada grado de libertad está asociado a una articulación (variable articular  $q$ ).



## 4.2 Cinemática inversa

Dada la posición del extremo final del robot en coordenadas cartesianas  $[x, y, z]^T$  y la orientación  $[\psi, \theta, \phi]^T$ , con respecto a un sistema de referencia fijo  $\Sigma_0(x_0, y_0, z_0)$ , así como los parámetros geométricos  $l_i$ , entonces surge la pregunta natural: ¿pueden obtenerse las coordenadas articulares del robot  $q$  para que el extremo final del robot se posicione en las coordenadas cartesianas solicitadas, con la orientación requerida?

El problema planteado se conoce como **cinemática inversa** y representa un área de la robótica de mayor complejidad que la cinemática directa. Para un robot manipulador siempre es posible encontrar el modelo de cinemática directa, mientras que en la cinemática inversa pueden haber varias soluciones e inclusive no existir solución analítica; si este es el caso, entonces como posibles formas de solución pueden proponerse redes neuronales, métodos numéricos, iterativos, geométricos, etcétera.

La **cinemática inversa** es un problema no lineal que relaciona las coordenadas articulares en función de las coordenadas cartesianas y la orientación de la herramienta del extremo final del robot manipulador

$$\mathbf{q} = \mathbf{f}_R^{-1}(x, y, z, l_i, \theta, \varphi, \psi) \tag{4.2}$$

donde  $\mathbf{f}_R^{-1}(x, y, z, l_i, \theta, \varphi, \psi)$  es función inversa de la ecuación (4.1).

### 4.3 Cinemática diferencial



La cinemática diferencial directa es la derivada con respecto al tiempo de la cinemática directa

$$\begin{aligned} \frac{d}{dt} [x \ y \ z \ \theta \ \varphi \ \psi]^T &= \begin{bmatrix} \mathbf{v} \\ \mathbf{w} \end{bmatrix} = \frac{d}{dt} \mathbf{f}_R(\mathbf{q}) \\ &= \frac{\partial \mathbf{f}_R(\mathbf{q})}{\partial \mathbf{q}} \dot{\mathbf{q}} = \mathbf{J}(\mathbf{q}) \dot{\mathbf{q}} \end{aligned} \tag{4.3}$$

Como se ve, ésta relaciona la velocidad articular  $\dot{\mathbf{q}} \in \mathbb{R}^n$  con la velocidad lineal  $\mathbf{v} = \frac{d}{dt} [x, y, z]^T = [x, y, z]^T \in \mathbb{R}^3$  y la velocidad angular  $\mathbf{w} = \frac{d}{dt} [\theta, \varphi, \psi]^T = [\theta, \varphi, \psi]^T \in \mathbb{R}^3$ , además el mapeo es descrito en términos de una matriz  $\mathbf{J}(\mathbf{q}) = \frac{\partial \mathbf{f}_R(\mathbf{q})}{\partial \mathbf{q}}$

$$\mathbf{J}(\mathbf{q}) = \begin{bmatrix} \mathbf{J}_V(\mathbf{q}) \\ \mathbf{J}_W(\mathbf{q}) \end{bmatrix} \tag{4.4}$$

$\mathbf{J}_V(\mathbf{q}) \in \mathbb{R}^{3 \times n}$  relaciona la velocidad articular  $\dot{\mathbf{q}} \in \mathbb{R}^n$  con la velocidad lineal  $\mathbf{v} \in \mathbb{R}^3$ , mientras que  $\mathbf{J}_W(\mathbf{q}) \in \mathbb{R}^{3 \times n}$  relaciona la velocidad angular  $\mathbf{w} \in \mathbb{R}^3$  con la velocidad

articular  $\dot{\mathbf{q}} \in \mathbb{R}^n$ , es decir:

$$\begin{aligned} \mathbf{v} \\ = \mathbf{J}(\mathbf{q})\dot{\mathbf{q}} = \mathbf{J}_w(\mathbf{q})\dot{\mathbf{q}} \end{aligned} \quad (4.5)$$

El jacobiano del robot representa una importante herramienta en robótica que sirve para caracterizar a un robot manipulador, encontrar configuraciones singulares, analizar redundancia, determinar la cinemática diferencial inversa, así como describir la relación entre la fuerza aplicada y los pares o torques resultantes del extremo final. Es indispensable para el análisis y diseño de algoritmos de control cartesiano.

Hay varias formas de seleccionar la orientación de la herramienta del robot manipulador: si de manera particular dicha orientación es representada por los ángulos de Euler (un sistema de referencia asociado al extremo final del robot o a la herramienta de trabajo), entonces la velocidad angular  $\mathbf{w} = [\theta, \phi, \psi]^T \in \mathbb{R}^3$  relaciona la matriz jacobiano analítico, como se encuentra descrita en la ecuación (4.3). Otra posible forma de modelar la orientación de la herramienta del robot es expresarla directamente en un sistema de referencia específico, por ejemplo al origen localizado en la base del robot, entonces a la matriz  $\mathbf{J}(\mathbf{q})$  se le denomina **jacobiano geométrico** que depende de la configuración del robot manipulador. El jacobiano analítico difiere del jacobiano geométrico: básicamente la diferencia se encuentra en cómo modelar la orientación de la herramienta de trabajo del robot.

La cinemática diferencial inversa representa la relación entre la velocidad articular  $\dot{\mathbf{q}}$  con la velocidad lineal de movimiento  $\mathbf{v}$  y la velocidad angular  $\mathbf{w}$ , expresada en términos de la matriz inversa del jacobiano del robot:

$$\dot{\mathbf{q}} = \mathbf{J}^{-1}(\mathbf{q}) \begin{bmatrix} \mathbf{v} \\ \mathbf{w} \end{bmatrix} \quad (4.6)$$

donde  $\mathbf{J}^{-1}(\mathbf{q}) \in \mathbb{R}^{6 \times n}$  es la matriz inversa del jacobiano del robot, la cual existe si es una matriz cuadrada y su determinante es diferente a cero.

Si el determinante del jacobiano del robot  $\mathbf{J}(\mathbf{q})$  es cero, entonces se dice que no es de rango completo y se presentan problemas de **singularidades**.



Singularidad significa que no es posible indicarle un movimiento arbitrario al extremo final del robot, es decir para una velocidad lineal  $\mathbf{v}$  y velocidad angular  $\mathbf{w}$  finitas puede corresponder una velocidad articular  $\mathbf{q}$  infinita.



Puede existir un conjunto infinito de soluciones para la cinemática directa.



La cinemática inversa diferencial tiene un número infinito de soluciones.



En control cartesiano la fuerza aplicada al robot puede provocar un par infinito a las articulaciones del robot.



Dependiendo del tipo de robot, las singularidades pueden generar un número infinito de puntos de equilibrio en la ecuación en lazo cerrado, formada por la dinámica del robot y la estructura cartesiana de control.

## 4.4 Clasificación de robots industriales



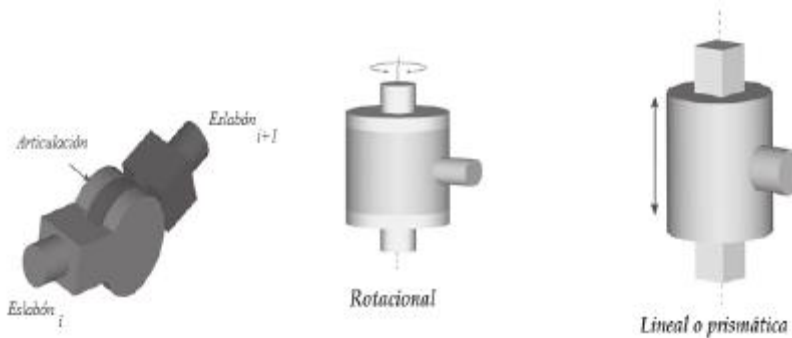
Un robot industrial está compuesto por una serie consecutiva de eslabones y articulaciones para formar una cadena en cinemática abierta, la cual es la estructura mecánica básica de un robot industrial. La cadena en cinemática abierta está formada de la siguiente manera: la primera articulación sirve para formar la base; a continuación siguen conexiones sucesivas entre articulaciones y eslabones, en el extremo final del último eslabón no hay articulación, generalmente se destina a colocar la herramienta de trabajo para llevar a cabo una aplicación específica. El

extremo final del robot no se encuentra conectado físicamente a la base como se muestra en la figura 4.1:



**Figura 4.1** Cadena en cinemática abierta.

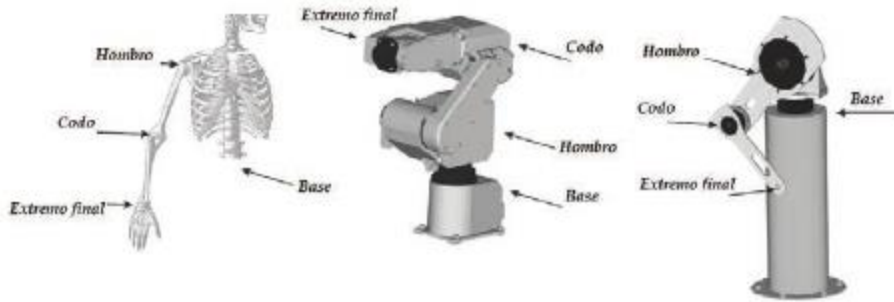
Las articulaciones se construyen por medio de un servomotor y representan la interconexión entre dos eslabones consecutivos. Una articulación puede realizar sólo un tipo de movimiento, ya sea lineal, también conocida como prismática, y rotacional. La figura 4.2 presenta el tipo de articulaciones:



**Figura 4.2** Tipo de articulaciones: rotacional y lineal o prismática.

La figura 4.3 muestra la analogía entre el brazo humano y un brazo robot o robot industrial. La articulación de la base corresponde a la cintura. La articulación del hombro (shoulder) debe ser la de mayor capacidad con respecto a las otras articulaciones, ya que es la que mueve y soporta el peso de la articulación del codo (elbow) y de la herramienta de trabajo, así como la carga de objetos que realice durante una determinada aplicación.

Dependiendo del tipo de articulaciones (lineales o rotacionales) que se encuentran incluidas en la estructura mecánica en cinemática abierta de la base, hombro y codo del robot (sin incluir las articulaciones de la orientación de la herramienta de



**Figura 4.3** Base, hombro y codo de un robot industrial.

trabajo), se desprende la clasificación general de robots manipuladores industriales, también conocidos como brazos robots: antropomórfico, esférico, cilíndrico, SCARA y cartesiano.

**Tabla 4.1** Clasificación de robots industriales

Robot	Características
Antropomórfico (RRR)	3 articulaciones rotacionales
SCARA (RRP)	2 articulaciones rotacionales y 1 prismática
Esférico (RRP)	2 articulaciones rotacionales y 1 prismática
Cilíndrico (RPP)	1 articulación rotacional y 2 prismáticas
Cartesiano (PPP)	3 articulaciones prismáticas

La nomenclatura empleada en robots industriales para representar el tipo de movimiento que realizan sus articulaciones está dada de la siguiente manera: R significa articulación tipo rotacional, mientras que la letra P representa una articulación prismática. El orden en que se presentan corresponde a las articulaciones de la base, hombro y codo, respectivamente. Por ejemplo, en la tabla 4.1 la notación robot cilíndrico (RPP) significa que la base es una articulación rotacional, mientras que el hombro y codo corresponden a articulaciones prismáticas.

En la figura 4.4 se muestra la clasificación de las 5 configuraciones de robots industriales.



**Figura 4.4** Clasificación de los robots industriales.

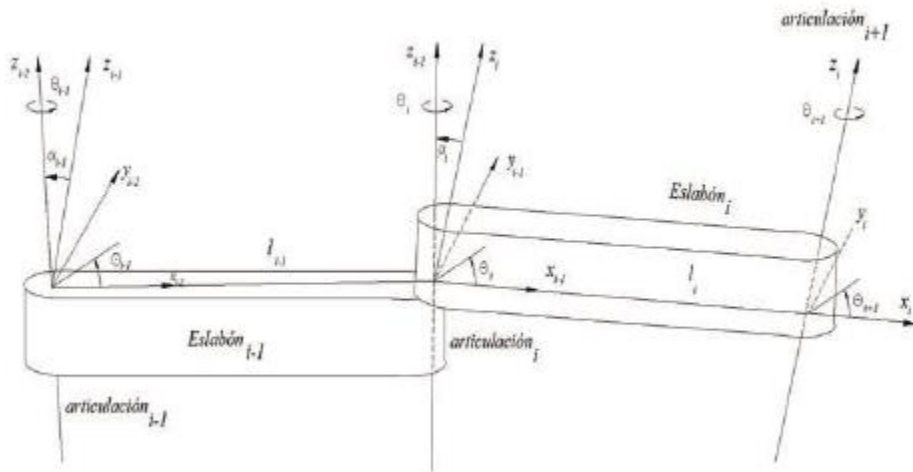
## 4.5 Convención Denavit-Hartenberg

El método de Denavit-Hartenberg es una herramienta ampliamente conocida en el área de ingeniería, ya que ofrece un procedimiento sencillo para obtener el modelo cinemático directo cuya estructura queda en términos de las transformaciones homogéneas.

Jaques Denavit y Richard S. Hartenberg en 1955 presentaron un procedimiento para obtener una representación mínima de la orientación y traslación de robots manipuladores. Consiste en determinar una tabla de parámetros relacionados con los eslabones del robot. La convención Denavit-Hartenberg toma como referencia el diagrama de un robot manipulador en cadena cinemática abierta como se muestra en la figura 4.5.

Las variables articulares en la representación Denavit-Hartenberg se denotan con  $\theta_i$  para el tipo rotacional, prismática o lineal por  $d_i$ ; este parámetro  $d_i$  también hace el papel de representar el ancho del servomotor de la articulación rotacional más el espesor de la placa metálica del eslabón, en este caso se denota por el símbolo  $\beta_i$ ; la longitud del eslabón se representa con  $l_i$  y el ángulo de separación entre los ejes  $z_i$  y  $z_{i-1}$  se denota con  $\alpha_i$ .

El ángulo  $\theta_i$  es el ángulo entre los ejes  $x_{i-1}$  y  $x_i$  medido alrededor del eje  $z_{i-1}$ ;  $d_i$  es

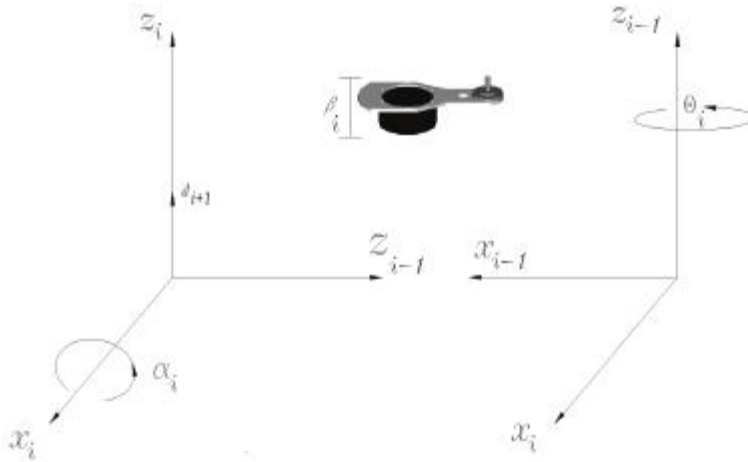


**Figura 4.5** Convención Denavit-Hartenberg para un robot manipulador.

la distancia del origen del sistema de referencia  $i - 1$  a la intersección del eje  $x_i$  con el eje  $z_{i-1}$ . Su medición se realiza a lo largo del eje  $z_{i-1}$ , como se indica en la figura 4.6. Adicionalmente a las variables articulares  $\theta_i$  y  $d_i$ , hay 2 parámetros constantes que describen características específicas del eslabón  $i$ -ésimo. Esos parámetros son: el parámetro  $l_i$  se define como la distancia a lo largo del eje  $x_i$  desde el origen del sistema de referencia coordinado  $i - 1$  hasta la intersección del eje  $z_{i-1}$  con el eje  $x_i$ . El otro parámetro es el ángulo entre los ejes  $z_i$  y  $z_{i-1}$  se denota por  $\alpha_i$ , su medición es respecto a un plano normal a  $x_i$ . Una medición de ángulo positivo para  $\alpha_i$  se toma en dirección del eje  $z_{i-1}$  hacia  $z_i$ . Por ejemplo, para un robot con 6 articulaciones rotacionales se requieren de 24 elementos para describir completamente su modelo cinemático ( $l_i, \alpha_i, \beta_i, \theta_i$ ).

### Selección de sistemas de referencia

En la metodología Denavit-Hartenberg, primero se describirá la convención para asignar los sistemas de referencia cartesianos asociados a los eslabones del robot. En este punto es necesario aclarar que en la literatura de robótica, la convención Denavit-Hartenberg no es única, depende de la selección de los sistemas de referencia cartesianos en las articulaciones y eslabones, así como en sus eslabones adyacentes.



**Figura 4.6** Convención para medir  $\theta_i$  y  $\alpha_i$ .

La cinemática directa del robot proporciona las coordenadas cartesianas del extremo final del robot relativo a un sistema de referencia cartesiano fijo  $\Sigma_0(x_0, y_0, z_0)$ ; en la figura 4.5 se muestra la asignación de sistemas de referencia para las articulaciones  $j - 1$ -ésima,  $j$ -ésima e  $j + 1$  de un robot manipulador.

En general se tiene el siguiente procedimiento:

- ✦ El eje  $z_i$  se asigna rígidamente a la articulación  $j + 1$ . Es decir,  $z_0$  es el eje de la articulación 1,  $z_1$  es el eje de la articulación 2, y así sucesivamente.
- ✦ Localizar el origen  $\mathbf{o}_i$  del sistema de referencia  $\Sigma_i (x_i, y_i, z_i)$  en la intersección del eje  $z_i$  con la normal común a los ejes  $z_{i-1}$  y  $z_i$ .
- ✦ Seleccionar el eje  $x_{i-1}$  sobre la normal que une los ejes  $z_{i-1}$  y  $z_i$  en dirección de la articulación  $j - 1$  hacia la articulación  $j$ .
- ✦ Definir el ángulo de torsión  $\alpha_i$ , este es el ángulo entre los ejes  $z_i$  y  $z_{i-1}$  y se mide con valor positivo en el sentido de las manecillas del reloj sobre el eje  $x_i$ .
- ✦ Seleccionar el eje  $y_i$  por la regla de la mano derecha.

La convención Denavit-Hartenberg proporciona una representación no única para los siguientes casos:



Para el sistema de referencia  $\Sigma_0(x_0, y_0, z_0)$  sólo la dirección del eje  $z_0$  es especificada, entonces su origen  $\mathbf{o}_0$  y el eje  $x_0$  pueden ser seleccionados de manera arbitraria.



Para el sistema de referencia  $\Sigma_n(x_n, y_n, z_n)$  no existe la articulación  $n + 1$ , entonces el eje  $z_n$  no está completamente definido, mientras que el eje  $x_n$  es normal al eje  $z_{n-1}$ . Típicamente la  $n$ -ésima articulación es rotatoria, por lo tanto  $z_n$  se alinea en la dirección de  $z_{n-1}$ .



Cuando dos ejes consecutivos  $z_i$  y  $z_{i-1}$  son paralelos entre sí, la normal común entre ellos no es única.



Cuando dos ejes consecutivos  $z_i$  y  $z_{i-1}$  se interceptan, la dirección del eje  $x_i$  es arbitraria.



Cuando la articulación  $i$ -ésima es lineal o prismática, entonces la dirección de  $z_i$  es arbitraria.

De acuerdo con esta convención previamente descrita, a continuación se resumen los parámetros del  $i$ -ésimo eslabón:

1.  $l_i$  es la longitud del  $i$ -ésimo eslabón, es la distancia del eje  $z_{i-1}$  hacia el eje  $z_i$  medida sobre el eje  $x_{i-1}$ .
2.  $\alpha_i$  es el ángulo de torsión, el cual representa el ángulo entre los ejes  $z_{i-1}$  a  $z_i$  medido en el sentido de las manecillas del reloj sobre el eje  $x_i$ .
3.  $d_i$  se emplea en articulaciones lineales o prismáticas y representa el desplazamiento lineal. Cuando la articulación es rotacional, entonces representa el offset o espesor del servomotor (la distancia de  $x_{i-1}$  a  $x_i$  medido sobre el eje  $z_{i-1}$ ), se denota por  $\beta_i$ .
4.  $\theta_i$  es el desplazamiento rotacional de  $x_{i-1}$  a  $x_i$  medido alrededor del eje  $z_{i-1}$ . El signo positivo de  $\theta_i$  es el sentido contrario a las manecillas del reloj.

Obsérvese que  $l_i$  y  $\beta_i$  siempre serán positivos puesto que corresponden a longitudes, mientras que  $\alpha_i$ ,  $d_i$ ,  $\theta_i$  representan cantidades con signo.



### Algoritmo Denavit-Hartenberg

A continuación se describe el procedimiento para encontrar la cinemática directa a través de la convención Denavit-Hartenberg.

1. Localizar la dirección de los ejes  $z_0, z_1, \dots, z_{n-1}$ .
2. Establecer el sistema de referencia cartesiano fijo  $\Sigma_0(x_0, y_0, z_0)$  cuyo origen es colocado sobre el sistema de referencia en la base del robot. Los ejes  $x_0, y_0$  son determinados de acuerdo con la regla de la mano derecha.

Una vez que el sistema de referencia  $\Sigma_0(x_0, y_0, z_0)$  ha sido establecido, se inicia un proceso iterativo en el cual se define el sistema de referencia  $\Sigma_i(x_i, y_i, z_i)$  usando el sistema de referencia  $\Sigma_{i-1}(x_{i-1}, y_{i-1}, z_{i-1})$ , iniciando con el sistema de referencia  $\Sigma_1(x_1, y_1, z_1)$ . En la figura 4.5 se muestra el procedimiento.

Llevar a cabo los pasos 3 al 5 para la articulaciones  $j = 1, \dots, n - 1$ .

3. Localizar el origen  $\mathbf{o}_i$  en la intersección de la normal común que une al eje  $z_i$  con el eje  $z_{i-1}$ .

Si el eje  $z_i$  intercepta al eje  $z_{i-1}$  colocar  $\mathbf{o}_i$  en la intersección.

Para el caso en que los ejes  $z_i$  y  $z_{i-1}$  son paralelos:

- Si la articulación  $i$ -ésima es rotacional, colocar el origen  $\mathbf{o}_i$  sobre la articulación  $i$ -ésima, tal que  $d_i = 0$ .
- Si la articulación  $i$ -ésima es prismática, colocar el origen  $\mathbf{o}_i$  en un punto límite físico de la articulación  $i$ -ésima, por ejemplo en un punto extremo.

4. Seleccionar el eje  $x_i$  a lo largo de la normal común que une a los ejes  $z_{i-1}$  y  $z_i$ , en dirección de la articulación  $i - 1$  hacia la articulación  $i$ .

5. Determinar  $y_i$  por la regla de la mano derecha.

6. Establecer el sistema de referencia del extremo final  $\Sigma_n(x_n, y_n, z_n)$ .

- Si la articulación  $n$ -ésima es rotatoria, entonces alinear el eje  $z_n$  con el eje  $z_{n-1}$

- Si la articulación  $n$ -ésima es prismática, entonces seleccionar el eje  $z_n$  de forma arbitraria. El eje  $x_n$  debe cumplir el paso 4.

7. Establecer la tabla 4.2 de parámetros de eslabones.

8. Obtener las matrices de transformaciones homogéneas (4.7):

$$H_{i-1} \text{ para } i = 1, 2, \dots, n - 1.$$

**Tabla 4.2 Parámetros Denavit-Hartenberg**

Características de eslabones	
$l_i$	Longitud del eslabón $i$ -ésimo.
$d_i$	Articulaciones lineales o prismáticas. También representa el espesor del servomotor ( $\beta_i$ ).
$\alpha_i$	Ángulo entre los ejes $z_{i-1}$ y $z_i$ medido con respecto al eje $x_i$ .
$\theta_i$	Articulaciones rotacionales; representa el ángulo entre los ejes $x_{i-1}$ y $x_i$ medido alrededor del eje $z_{i-1}$ .

En la representación Denavit-Hartenberg cada transformación homogénea  $H_{i-1}$  se representa por el producto de cuatro transformaciones básicas:

$$\begin{aligned}
 H_{i-1} &= H_{R_{z_{i-1}}}(\theta_i) H_{T_{z_{i-1}}}(d_i(\beta_i)) H_{T_{x_{i-1}}}(l_i) H_{R_{x_{i-1}}}(\alpha_i) & (4.7) \\
 &= \begin{bmatrix} \cos(\theta_i) & -\sin(\theta_i) & 0 & 0 \\ \sin(\theta_i) & \cos(\theta_i) & 0 & 0 \\ 0 & 0 & 1 & 1 \\ 0 & 0 & 0 & 1 \end{bmatrix} \begin{bmatrix} 1 & 0 & 0 & 0 \\ 0 & 1 & 0 & 0 \\ 0 & 0 & 1 & d_i(\beta_i) \\ 0 & 0 & 0 & 1 \end{bmatrix} \\
 &= \begin{bmatrix} \cos(\theta_i) & -\sin(\theta_i) & 0 & 0 \\ \sin(\theta_i) & \cos(\theta_i) & 0 & 0 \\ 0 & 0 & 1 & d_i(\beta_i) \\ 0 & 0 & 0 & 1 \end{bmatrix} \begin{bmatrix} 1 & 0 & 0 & l_i \\ 0 & \cos(\alpha_i) & -\sin(\alpha_i) & 0 \\ 0 & \sin(\alpha_i) & \cos(\alpha_i) & 0 \\ 0 & 0 & 0 & 1 \end{bmatrix} \\
 &= \begin{bmatrix} \cos(\theta_i) & -\sin(\theta_i) \cos(\alpha_i) & \sin(\theta_i) \sin(\alpha_i) & l_i \cos(\theta_i) \\ \sin(\theta_i) & \cos(\theta_i) \cos(\alpha_i) & -\cos(\theta_i) \sin(\alpha_i) & l_i \sin(\theta_i) \\ 0 & \sin(\alpha_i) & \cos(\alpha_i) & d_i(\beta_i) \\ 0 & 0 & 0 & 1 \end{bmatrix}
 \end{aligned}$$

La transformación homogénea total se obtiene como  $H^n = H_0 H_1 \cdots H_{n-2} H_{n-1}$ .

La cinemática directa es la forma general de transformaciones homogéneas que concatena los sistemas de referencia cartesianos asociados a los eslabones del robot, todos relativos al sistema de referencia fijo  $\Sigma_0$ .



## 4.6 Resumen

**C**inemática directa relaciona las coordenadas articulares y propiedades geométricas del sistema mecánico con las coordenadas cartesianas del robot y la orientación de la herramienta colocada en el extremo final. En este capítulo se ha presentado los conceptos de cinemática inversa, cinemática diferencial y la importancia que presenta el jacobiano del robot en control cartesiano y en el tema de singularidades. Para las finalidades de la presente obra, cuando se relaciona las coordenadas articulares con las coordenadas cartesianas sin tomar en cuenta la orientación de la herramienta de trabajo, se denomina **cinemática directa cartesiana**, la cual será la base de análisis de las principales configuraciones de robots industriales.

El procedimiento Denavit-Hartenberg permite obtener el modelo de cinemática directa de robots manipuladores con eslabones en serie a través de la siguiente tabla de parámetros 3.1:

**Tabla 4.3 Parámetros DH**

Eslabón <sub>i</sub>	$l_i$	$\alpha_i$	$d_i$	$\theta_i$
----------------------	-------	------------	-------	------------

La formulación Denavit-Hartenberg queda expresada en términos de matrices homogéneas con el estricto orden de transformaciones de traslación y rotación:

$$\begin{aligned}
 H_i^{-1} &= \left[ H_{R_{z_i}}(\theta_{i+1}) H_{T_{z_i}}(d_{i+1}) H_{T_{x_i}}(l_{i+1}) H_{R_{x_i}}(\alpha_{i+1}) \right] \\
 &= \begin{bmatrix} \cos(\theta_i) & -\sin(\theta_i) \cos(\alpha_i) & \sin(\theta_i) \sin(\alpha_i) & l_i \cos(\theta_i) \\ \sin(\theta_i) & \cos(\theta_i) \cos(\alpha_i) & -\cos(\theta_i) \sin(\alpha_i) & l_i \sin(\theta_i) \\ 0 & \sin(\alpha_i) & \cos(\alpha_i) & d_i \\ 0 & 0 & 0 & 1 \end{bmatrix}
 \end{aligned}$$



## Objetivos

Presentar el análisis de cinemática directa cartesiana, cinemática inversa y matriz jacobiano de las principales configuraciones de robots industriales considerando los parámetros geométricos y desarrollar librerías en lenguaje **MATLAB** (toolbox) que permitan realizar aplicaciones en el área de cinemática directa de robots manipuladores.

### Objetivos particulares:



Modelo de cinemática directa.



Modelo de cinemática inversa.



Jacobiano.



Librerías de análisis y diseño de cinemática de robots industriales.

## 5.1 Introducción



Esta sección analiza la cinemática directa cartesiana de las configuraciones más importantes en robótica industrial tales como el brazo robot (antropomórfico), configuración SCARA, esférico, cilíndrico y cartesiano. El análisis cinemático que se presenta es tomando en cuenta la relación que existe entre las coordenadas articulares con las coordenadas cartesianas del extremo final del robot (cinemática directa cartesiana), no se incluye la orientación de la herramienta de trabajo ubicada en el extremo final del robot.

Para el análisis cinemático cartesiano se utiliza la metodología Denavit-Hartenberg, y por lo tanto dicho modelo queda en función de transformaciones homogéneas.

El jacobiano analítico del robot se deduce como la derivada parcial de la cinemática directa cartesiana con respecto al vector de posición articular; el jacobiano analítico del robot proporciona información sobre el problema de singularidades que puede presentar el movimiento del robot en su espacio de trabajo. Esta información es muy importante en aplicaciones donde interviene la inversa de la matriz jacobiana, ya que una singularidad significa que el determinante es cero para un conjunto específico de valores de las posiciones articulares.

Debido a la importancia que tiene la cinemática inversa en la programación de tareas en espacio cartesiano y la conversión al espacio articular, se presenta la solución geométrica en detalle para cada una de las configuraciones de robots industriales.

Un conjunto de librerías en código fuente de **MATLAB** se desarrollan y documentan de la matriz de transformación homogénea, cinemática directa cartesiana, jacobiano y su determinante, cinemática inversa, en variables simbólicas y aplicaciones numéricas de todas las configuraciones analizadas. El código fuente de los ejemplos, aplicaciones y librerías de cada robot manipulador se encuentra disponible en el sitio WEB del libro:

<http://virtual.alfaomega.com.mx>

## 5.2 Brazo robot antropomórfico

Dentro de la clasificación de robots industriales, el **robot antropomórfico** o brazo robot es la configuración que más se utiliza debido a la destreza que presenta el movimiento del extremo final como una consecuencia de sus tres articulaciones rotacionales, lo cual lo hace ideal para un amplio espectro de aplicaciones tales como: industriales, quirófanos robotizados, fisioterapia, asistencia a personas con capacidades diferenciadas, maniobras submarinas y espaciales, etc. La configuración antropomórfica se divide en tres casos de estudio: péndulo robot, robot planar de 2 grados de libertad y el brazo robot (movimiento tridimensional).

### Péndulo robot

Como un caso particular del robot de 3 grados de libertad antropomórfico, se encuentra el péndulo robot de 1 grado de libertad formado por un servomotor que tiene acoplado mecánicamente una barra metálica de longitud  $l_1$  y está sometido al fenómeno de gravedad. El movimiento del péndulo se encuentra en el plano vertical  $x_0 - y_0$  como se indica en la figura 5.1.

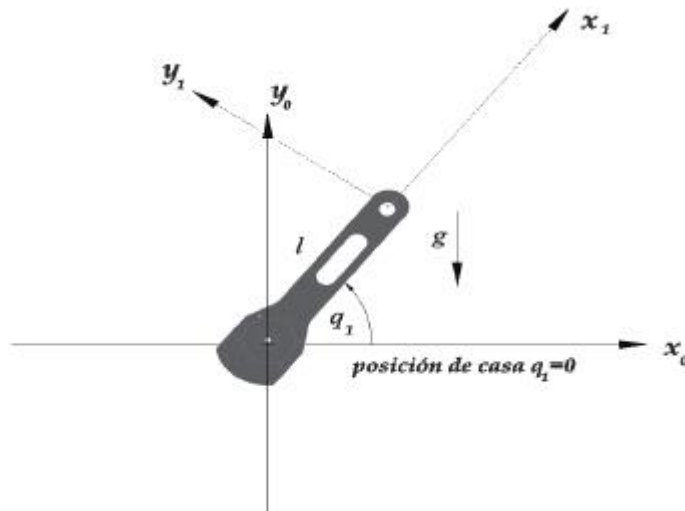


Figura 5.1 Péndulo robot.

**Cinemática directa cartesiana del péndulo robot**

El origen del sistema de referencia cartesiano  $\Sigma_0(x_0, y_0, z_0)$  se coloca sobre la articulación del péndulo (en el respaldo del estator del servomotor), el eje  $z_0$  se alinea con el eje de giro del servomotor el cual es perpendicular al plano  $x_0 - y_0$ . El servomotor del péndulo tiene un espesor de longitud  $\beta_1$  el cual ya incluye el ancho de la barra metálica. El origen del sistema de referencia  $\Sigma_1(x_1, y_1, z_1)$  se coloca en el extremo final de la barra y se mueve de manera conjunta al péndulo, el origen  $\Sigma_1$  tiene las siguientes coordenadas con respecto al origen de  $\Sigma_0(x_0, y_0, z_0)$ :  $[l_1 \cos(q_1), l_1 \sin(q_1), \beta_1]$ . Debido al espesor  $\beta_1$  el origen de  $\Sigma_1$  mantiene una distancia  $\beta_1$  sobre el eje  $z_0$ . Los ejes  $z_1$  y  $z_0$  son paralelos entre sí, por lo tanto el ángulo  $\alpha_1$  que existe entre ellos es  $\alpha_1 = 0$ .

El plano  $x_1 - y_1$  tiene una rotación de  $q_1$  grados con respecto al plano  $x_0 - y_0$  del sistema fijo  $\Sigma_0(x_0, y_0, z_0)$ , y la matriz  $R_{z_0}(q_1)$  determina dicha rotación:

$$R_{z_0}(q_1) = \begin{bmatrix} \cos(q_1) & -\sin(q_1) & 0 \\ \sin(q_1) & \cos(q_1) & 0 \\ 0 & 0 & 1 \end{bmatrix}$$

Los parámetros Denavit-Hartenberg correspondientes al péndulo-robot se encuentran especificados en la tabla 5.1.

**Tabla 5.1 DH del péndulo**

Eslabón	$l$	$\alpha$	$d$	$\theta$
1	$l_1$	0	$\beta_1$	$q_1$

La matriz de transformación homogénea  $H_0^1$  se obtiene de la ecuación (4.7), que para el caso del péndulo-robot adquiere la siguiente forma:

$$H_0^1 = H_R(z_0, q_1) H_T(z_0, \beta_1) H_T(x_0, l_1) H_R(x_0, q_1) \tag{5.1}$$

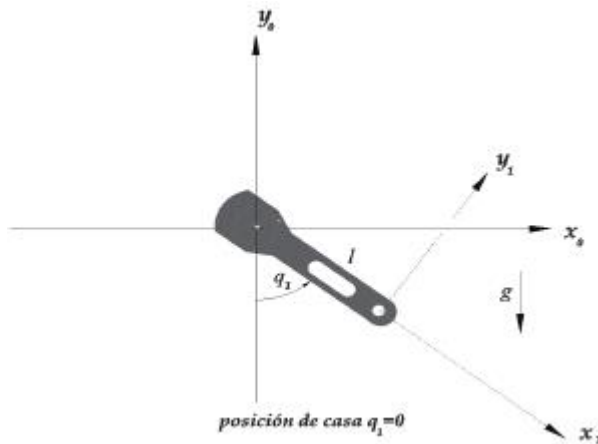
$$= \begin{bmatrix} \cos(q_1) & -\sin(q_1) & 0 & l_1 \cos(q_1) \\ \sin(q_1) & \cos(q_1) & 0 & l_1 \sin(q_1) \\ 0 & 0 & 1 & \beta_1 \\ 0 & 0 & 0 & 1 \end{bmatrix} \tag{5.2}$$

Las coordenadas cartesianas del extremo final del péndulo robot (cinemática directa cartesiana), es decir el origen del sistema  $\Sigma_1(x_1, y_1, z_1)$  con respecto al sistema fijo  $\Sigma_0(x_0, y_0, z_0)$  se encuentra determinado por:

$$\begin{bmatrix} x_0 \\ y_0 \\ z_0 \end{bmatrix} = \begin{bmatrix} l_1 \cos(q_1) \\ l_1 \sin(q_1) \\ \beta_1 \end{bmatrix}. \quad (5.3)$$

Las coordenadas cartesianas del extremo final del péndulo dependen de la ubicación de la posición de casa (home position), la cual es el punto de reposo u origen del péndulo que corresponde a  $q_1 = 0$ . Como se puede apreciar en la figura 5.1, la posición de casa está colocada sobre el eje  $x_{0+}$ . La matriz de rotación  $R_{z_0}(q_1)$  que determina la rotación entre los sistemas de referencia fijo  $\Sigma_0(x_0, y_0, z_0)$  y  $\Sigma_1(x_1, y_1, z_1)$  fue obtenida con respecto al primer cuadrante, es decir en el plano  $x_{0+} - y_{0+}$ .

Otra posibilidad para ubicar la posición de casa del péndulo es colocar el origen  $q_1 = 0$  sobre el lado negativo del eje  $y_0$  como se muestra en la figura 5.2.



**Figura 5.2** Cambio de posición de casa del péndulo sobre el eje  $y_{0-}$ .

En este caso, para poder obtener la matriz de rotación resultante del péndulo en la nueva ubicación de la posición de casa, la matriz  $R_{z_0}(q_1)$  debe ser precedida por

una rotación de un ángulo igual a  $-\pi/2$  alrededor del eje  $z_0$ , es decir:

$$\begin{aligned}
 R_{10} &= R_{z_0}(-\frac{\pi}{2}) \begin{bmatrix} \cos(q_1) & -\sin(q_1) & 0 \\ \sin(q_1) & \cos(q_1) & 0 \\ 0 & 0 & 1 \end{bmatrix} \\
 &= \begin{bmatrix} 0 & 1 & 0 \\ -1 & 0 & 0 \\ 0 & 0 & 1 \end{bmatrix} \begin{bmatrix} \cos(q_1) & -\sin(q_1) & 0 \\ \sin(q_1) & \cos(q_1) & 0 \\ 0 & 0 & 1 \end{bmatrix} \\
 &= \begin{bmatrix} \sin(q_1) & \cos(q_1) & 0 \\ -\cos(q_1) & \sin(q_1) & 0 \\ 0 & 0 & 1 \end{bmatrix}
 \end{aligned}$$

La matriz de transformación homogénea para el péndulo-robot (IV cuadrante) está determinada como:

$$H_0^I = \begin{bmatrix} R_{z_0}(-\frac{\pi}{2}) \begin{bmatrix} \cos(q_1) & -\sin(q_1) & 0 \\ \sin(q_1) & \cos(q_1) & 0 \\ 0 & 0 & 1 \end{bmatrix} & R_{z_0}(-\frac{\pi}{2}) \begin{bmatrix} l_1 \sin(q_1) \\ -l_1 \cos(q_1) \\ 1 \end{bmatrix} \\ \mathbf{0}^T & 1 \end{bmatrix} \quad (5.4)$$

$$= \begin{bmatrix} \sin(q_1) & \cos(q_1) & 0 & l_1 \sin(q_1) \\ -\cos(q_1) & \sin(q_1) & 0 & -l_1 \cos(q_1) \\ 0 & 0 & 1 & \beta_1 \\ 0 & 0 & 0 & 1 \end{bmatrix} \quad (5.5)$$

Las coordenadas del extremo final del péndulo respecto a la posición de casa colocada sobre el eje  $y_0$  adquiere la siguiente forma:

$$\begin{bmatrix} x_0 \\ y_0 \\ z_0 \end{bmatrix} = \begin{bmatrix} l_1 \sin(q_1) \\ -l_1 \cos(q_1) \\ \beta_1 \end{bmatrix} \quad (5.6)$$

### Jacobiano del péndulo

Debido a que el péndulo robot es un sistema escalar, no tiene matriz jacobiana. Sin embargo, se puede realizar la siguiente interpretación partiendo de la cinemática diferencial:

$$\begin{aligned} \mathbf{v} &= \frac{d}{dt} \begin{bmatrix} l_1 \cos(q_1) \\ -l_1 \sin(q_1) \\ 0 \end{bmatrix} = \begin{bmatrix} -l_1 \sin(q_1) \dot{q}_1 \\ -l_1 \cos(q_1) \dot{q}_1 \\ 0 \end{bmatrix} = \mathbf{J}(q_1) \dot{\mathbf{q}} \end{aligned} \quad (5.7)$$

el jacobiano  $\mathbf{J}(q_1)$  se puede pensar como está expresado en la ecuación (5.7). Nótese que existe una singularidad cuando la variable articular  $q_1 = 0, \pm n\pi$ , ya que su determinante está dado como:  $\det[\mathbf{J}(q_1)] = -l_1^2 \sin(q_1) \cos(q_1)$ . También existen singularidades en  $q_1 = \pm n\frac{\pi}{2}$  esto último puede verificarse en la cinemática inversa (5.8), si  $q_1 = \pm n\frac{\pi}{2} \Rightarrow x_0 = 0$ , entonces se indefinire la función arco-tangente (por ejemplo división entre cero).

### Cinemática inversa del péndulo

La cinemática inversa se obtiene despejando la variable  $q_1$  de la ecuación (5.3), obteniendo:

$$q_1 = \text{atan} \frac{y_0}{x_0} \quad (5.8)$$

### Función transformación homogénea del péndulo $H_0^1$

La función transformación homogénea del péndulo  $H_0^1$  se encuentra expresada como:



$$H_0^1 = H_{\text{pendulo}}()$$

El código **MATLAB** de la función transformación homogénea del péndulo se describe en el cuadro 5.1. En la línea 5 despliega la tabla 5.1 de parámetros DH. La línea 7 contiene el cálculo de la matriz homogénea  $H_0^1 = H_{R_{z_0}}(q_1)H_{T_{z_0}}(\beta_1)H_{T_{x_0}}(l_1)H_{R_{x_0}}(0)$

y en la línea 8 se emplea la función  $H_{DH}(H10)$  para obtener la matriz de rotación y las coordenadas cartesianas.



### Código Fuente 5.1 H\_pendulo.m

%MATLAB Aplicado a Robótica y Mecatrónica.

%Editorial Alfaomega, Fernando Reyes Cortés.

%Capítulo 5 Cinemática directa cartesiana.

H\_pendulo.m

```

1 function H=H_pendulo()
2     syms l1 q1 beta1 real
3     disp('Parámetros Denavit-Hartenberg del péndulo')
4     disp([' l alpha d q1']) dh=[l1, 0, beta1, q1];
5     disp(dh)
6     %H01 = HRz0(q1)HTz0(β1)HTx0(l1)HRx0(0)
7     H10=HRz(q1)*HTz(beta1)*HTx(l1)*HRx(0) ;
8     [R10, cinemat_pendulo, cero, c]=H_DH(H10);
9     H=[R10, cinemat_pendulo;
10         cero, c];
11 end

```

### Función cinemática directa cartesiana del péndulo

La función de cinemática directa cartesiana del péndulo tiene la siguiente sintaxis:

$$[x_0, y_0, z_0]=\text{cinematica\_pendulo}(\beta_1, l_1, q_1)$$


donde  $\beta_1$ ,  $l_1$ ,  $q_1$  representan el ancho del servomotor y espesor de la barra metálica, longitud de la barra metálica y posición articular del péndulo, respectivamente. Esta función retorna las coordenadas cartesianas del extremo final del péndulo ubicadas en el sistema  $\Sigma_0(x_0, y_0, z_0)$ .

El código de la función de cinemática cartesiana del péndulo se encuentra en el cuadro 5.2; se contempla el caso simbólico y numérico.



### Código Fuente 5.2 cinemática pendulo.m

```
%MATLAB Aplicado a Robótica y Mecatrónica.
%Editorial Alfaomega, Fernando Reyes Cortés.
%Capítulo 5 Cinemática directa cartesiana.
```

#### cinemática\_pendulo.m

```
1 function [x0, y0, z0]=cinemática_pendulo(beta1,l1,q1)
2     dato1=whos('beta1'); dato2=whos('l1'); dato3=whos('q1');
3     v1=strcmp(dato1.class, 'sym'); v2=strcmp(dato2.class, 'sym');
4     v3=strcmp(dato3.class, 'sym'); digits(3);
5     if (v1 & v2 & v3) %caso simbólico
6         x0=l1*cos(q1);
7         y0=l1*sin(q1);
8         z0=beta1;
9     end
10    else %caso numérico
11        x0=double(simplify(vpa(l1*cos(q1),3)));
12        y0= double(simplify(vpa(l1*sin(q1),3)));
13        z0=double(simplify(vpa(beta1,3)));
14 end
```

### Función cinemática inversa del péndulo

La función de cinemática inversa del péndulo se encuentra expresada como:

$$q_1 = \text{cinv\_pendulo}(x_0, y_0)$$

donde  $x_0, y_0$  representan las coordenadas del extremo final del péndulo con respecto al sistema  $\Sigma_0(x_0, y_0, z_0)$ . Esta función retorna la posición articular  $q_1$  del péndulo; observe que el modelo de cinemática inversa no depende del grosor del servomotor ( $\beta_1$ ).

El código de la función de cinemática inversa se encuentra en el cuadro 5.3.



### Código Fuente 5.3 `cinv_pendolo.m`

```
%MATLAB Aplicado a Robótica y Mecatrónica.
%Editorial Alfaomega, Fernando Reyes Cortés.
%Capítulo 5 Cinemática directa cartesiana.
```

```
cinv_pendolo.m
```

```
1 function q1=cinv_pendolo(x0,y0)
2     %cinemática inversa del péndulo
3     q1=atan(y0/x0);
4 end
```

### ♣ Ejemplo 5.1

Desarrollar un programa para **MATLAB** que presente de manera simbólica los parámetros DH, cinemática cartesiana y el jacobiano del péndulo. Además, contemple el análisis donde la posición de casa se traslada del primer al cuarto cuadrante.

### Solución

En el cuadro 5.4 se presenta el programa que permite desplegar en forma simbólica los parámetros DH, cinemática cartesiana y el jacobiano del péndulo.

La línea 7 obtiene la transformación homogénea del péndulo  $H_0^1$  empleando la función  $H_0^1=H\_pendulo()$ . La línea 9 deduce la matriz de rotación  $R_{10}$  y la cinemática cartesiana  $f_R(q_1)$  a través de la función  $H\_DH(H_0^1)$ .

En la línea 11 se realiza una rotación  $H_{Rz_0}(-\frac{\pi}{2})$  (-90 grados alrededor del eje  $z_0$ ) para trasladar la posición de casa al cuarto cuadrante. De la línea 13 a la 20 se presenta un ejemplo numérico, para trasladar las coordenadas del extremo final en la rotación del primer al cuarto cuadrante.

El programa 5.4 contiene la descripción completa del modelo cinemático directo del péndulo robot, el cual emplea las funciones de transformación homogénea  $H_0$ . Incluye la matriz de rotación  $R_{10}$  que relaciona la rotación del extremo final del eslabón con respecto a la base del péndulo, así como la cinemática directa cartesiana en variables simbólicas como aplicación numérica.



### Código Fuente 5.4 cap5\_pendolo.m

%MATLAB Aplicado a Robótica y Mecatrónica.

%Editorial Alfaomega, Fernando Reyes Cortés.

%Capítulo 5 Cinemática directa cartesiana.

---

cap5\_pendolo.m

---

```

1  clc;
2  clear all;
3  close all;
4  format short
5  syms beta1 l1 q1 real
6  %H0^1 = HRz0(q1)HTz0(beta1)HTx0(l1)HRx0(0)
7  H10=H_pendolo() %H0^1
8  %obtiene la matriz de rotación R10 y cinemática directa fr(q)
9  [R10, frq_pendolo, cero, c]=H_DH(H10) %R10, fR(beta1, l1, q1)
10 jac_pendolo=jacobian(frq_pendolo, q1)
11 H10a=HRz(-pi/2)*H10 %H0a = HRz0(-pi/2)*H0
12 %ejemplo numérico
13 q1=55*pi/180; %posición angular del péndulo
14 beta1=0.1; %ancho del servomotor más espesor de la barra
15 l1=0.45; beta1=0.1; %longitud del péndulo y espesor del servomotor
16 %cinemática cartesiana cuadrante I: fR1(beta1, l1, q1)
17 [x0,y0,z0]=cinematica_pendolo(beta1,l1,q1)
18 %cinemática directa en el cuadrante IV
19 %fR1V(beta1, l1, q1) = Rz(-pi/2)*fR1(beta1, l1, q1)
20 Rz(-pi/2)*cinematica_pendolo(beta1,l1,q1)

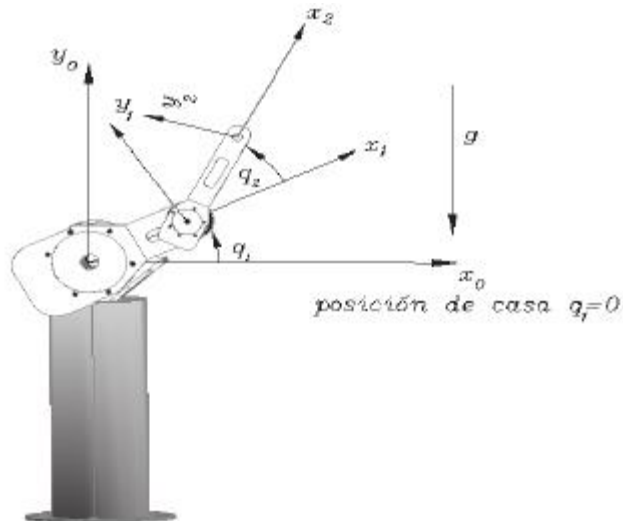
```

### Robot planar vertical de dos grados de libertad

La figura 5.3 muestra un robot de dos grados de libertad con articulaciones rotacionales que se mueve en el plano vertical  $x_0 - y_0$ . El sistema de referencia fijo  $\Sigma_0(x_0, y_0, z_0)$  se coloca en el respaldo del servomotor del hombro, de tal forma que el eje  $z_0$  coincida con el eje de rotación (perpendicular al plano de la hoja). El ancho de cada servomotor y espesor de la barra metálica están determinados por  $\beta_1$  y  $\beta_2$ . Los ejes  $x_0, y_0$  se seleccionan con la regla de la mano derecha.

### Cinemática directa cartesiana del brazo robot de 2 gdl

El sistema de referencia  $\Sigma_1(x_1, y_1, z_1)$  se coloca en el extremo final del primer eslabón, el eje  $z_1$  se coloca paralelo al eje  $z_0$  ( $\alpha_1 = 0$ ). El origen del sistema  $\Sigma_1(x_1, y_1, z_1)$  se ubica en la intersección del eje  $x_0$  con el eje  $z_1$  (cuando  $q_1 = 0$ ) y está a una distancia  $\beta_1$  sobre el eje  $z_0$ . El origen del sistema de referencia  $\Sigma_2(x_2, y_2, z_2)$  se coloca en el extremo final del robot. El ancho del servomotor del codo y el espesor de la segunda barra miden  $\beta_2$ . Cuando  $q_2 = 0$  el origen de  $\Sigma_2$  se encuentra a una distancia  $l_2$  sobre el eje  $x_1$  y a una distancia  $\beta_2$  sobre el eje  $z_1$ . Los ejes  $x_i, y_i$ , con  $i = 1, 2$  se seleccionan con la regla de la mano derecha. Los ejes  $z_1$  y  $z_2$  son paralelos entre sí ( $\alpha_2 = 0$ ).



**Figura 5.3** Robot planar vertical de dos gdl.

En la tabla 5.2 se muestran los parámetros de los eslabones para la convención

Denavit-Hartenberg de un robot planar de dos grados de libertad.

**Tabla 5.2 DH del robot de 2 gdl**

Eslabón	$l_i$	$\alpha_i$	$d_i$	$\theta_i$
1	$l_1$	0	$\beta_1$	$q_1$
2	$l_2$	0	$\beta_2$	$q_2$

Generalmente la posición de casa para un robot de dos grados de libertad se selecciona sobre el eje  $x_{0+}$ , midiendo el ángulo  $q_1$  en sentido contrario a las manecillas del reloj, es decir del eje  $x_{0+}$  hacia el eje  $y_{0+}$ , con esta consideración se obtienen las siguientes matrices de transformación homogénea:

$$H_0^1 = \begin{bmatrix} H_{R_{z_0}}(q_1) H_{T_{z_0}}(\beta_1) H_{T_{x_0}}(l_1) H_{R_{x_0}}(0) \\ \cos(q_1) & -\sin(q_1) & 0 & l_1 \cos(q_1) \\ \sin(q_1) & \cos(q_1) & 0 & l_1 \sin(q_1) \\ 0 & 0 & 1 & \beta_1 \\ 0 & 0 & 0 & 1 \end{bmatrix} \quad (5.9)$$

$$= \begin{bmatrix} \cos(q_1) & -\sin(q_1) & 0 & l_1 \cos(q_1) \\ \sin(q_1) & \cos(q_1) & 0 & l_1 \sin(q_1) \\ 0 & 0 & 1 & \beta_1 \\ 0 & 0 & 0 & 1 \end{bmatrix} \quad (5.10)$$

$$H_1^2 = \begin{bmatrix} H_{R_{z_1}}(q_2) H_{T_{z_1}}(\beta_2) H_{T_{x_1}}(l_2) H_{R_{x_1}}(0) \\ \cos(q_2) & -\sin(q_2) & 0 & l_2 \cos(q_2) \\ \sin(q_2) & \cos(q_2) & 0 & l_2 \sin(q_2) \\ 0 & 0 & 1 & \beta_2 \\ 0 & 0 & 0 & 1 \end{bmatrix} \quad (5.11)$$

$$= \begin{bmatrix} \cos(q_2) & -\sin(q_2) & 0 & l_2 \cos(q_2) \\ \sin(q_2) & \cos(q_2) & 0 & l_2 \sin(q_2) \\ 0 & 0 & 1 & \beta_2 \\ 0 & 0 & 0 & 1 \end{bmatrix} \quad (5.12)$$

$$H_0^2 = \begin{bmatrix} H_0^1 H_1^2 \\ \cos(q_1 + q_2) & -\sin(q_1 + q_2) & 0 & l_1 \cos(q_1) + l_2 \cos(q_1 + q_2) \\ \sin(q_1 + q_2) & \cos(q_1 + q_2) & 0 & l_1 \sin(q_1) + l_2 \sin(q_1 + q_2) \\ 0 & 0 & 1 & \beta_1 + \beta_2 \\ 0 & 0 & 0 & 1 \end{bmatrix} \quad (5.13)$$

La cinemática directa de las coordenadas cartesianas del extremo final del robot (sin tomar en cuenta la orientación de la herramienta de trabajo) está dada por:

$$\begin{bmatrix} x_0 \\ y_0 \\ z_0 \end{bmatrix} = \mathbf{f}_R(\mathbf{q}) = \begin{bmatrix} l_1 \cos(q_1) + l_2 \cos(q_1 + q_2) \\ l_1 \sin(q_1) + l_2 \sin(q_1 + q_2) \\ \beta_1 + \beta_2 \end{bmatrix} \quad (5.14)$$

Obsérvese que la coordenada  $z_0$  incluye el espesor de los dos servomotores con sus respectivos espesores de las barras metálicas, de tal forma que el origen del sistema  $\Sigma_2(x_2, y_2, z_2)$  se encuentra a una distancia  $\beta_1 + \beta_2$  sobre el eje  $z_0$  del sistema fijo  $\Sigma_0(x_0, y_0, z_0)$ .

La posición de casa de un robot manipulador planar de dos grados de libertad también puede ser ubicada sobre el eje  $y_{0-}$ . Esto equivale a hacer una rotación alrededor del eje  $z_0$  por  $-90$  grados para la articulación del hombro, es decir:  $H_{Rz_0}(-\pi)H_0$  y también para articulación del codo  $H_{Rz_1}(-\pi)H_1$ . El ángulo  $q_1$  se mide del eje  $y_{0-}$  hacia el eje  $x_{0+}$  (valor positivo en sentido contrario a las manecillas del reloj) como se muestra en la figura 5.4.

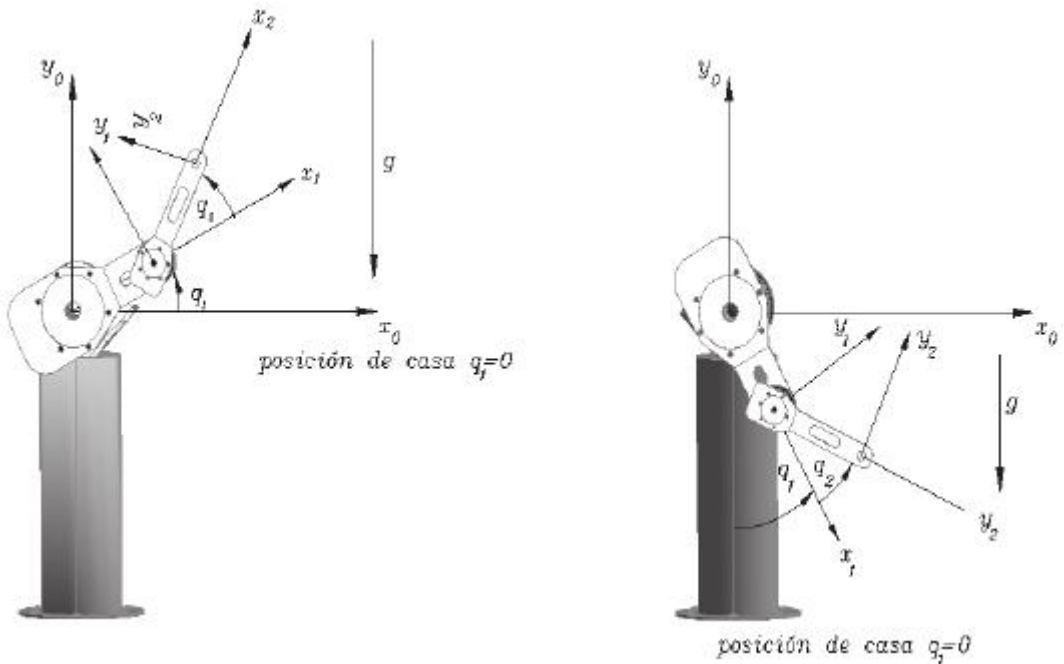


Figura 5.4 Rotación de la posición de casa por  $-90$  grados alrededor del eje  $z_0$ .

$$\begin{aligned}
 H_{0y_{0-}} &= H_{Rz_0}(-\frac{\pi}{2})H_0 \\
 &= \begin{bmatrix} 0 & 1 & 0 & 0 \\ -1 & 0 & 0 & 0 \\ 0 & 0 & 1 & 0 \\ 0 & 0 & 0 & 1 \end{bmatrix} \begin{bmatrix} \cos(q_1) & -\text{sen}(q_1) & 0 & l_1 \cos(q_1) \\ \text{sen}(q_1) & \cos(q_1) & 0 & l_1 \text{sen}(q_1) \\ 0 & 0 & 1 & \beta_1 \\ 0 & 0 & 0 & 1 \end{bmatrix}
 \end{aligned}$$

$$\begin{aligned}
 &= \begin{bmatrix} \operatorname{sen}(q_1) & \cos(q_1) & 0 & l_1 \operatorname{sen}(q_1) \\ -\cos(q_1) & \operatorname{sen}(q_1) & 0 & -l_1 \cos(q_1) \\ 0 & 0 & 1 & \beta_1 \\ 0 & 0 & 0 & 1 \end{bmatrix} \\
 H_{1y_{1-}} &= H_{R_{z_1}} \cdot \begin{matrix} \pi \\ \underline{\quad} \end{matrix} H_1 \\
 &= \begin{bmatrix} 0 & 1 & 0 & 0 \\ -1 & 0 & 0 & 0 \\ 0 & 0 & 1 & 0 \\ 0 & 0 & 0 & 1 \end{bmatrix} \begin{bmatrix} \cos(q_2) & -\operatorname{sen}(q_2) & 0 & l_2 \cos(q_2) \\ \operatorname{sen}(q_2) & \cos(q_2) & 0 & l_2 \operatorname{sen}(q_2) \\ 0 & 0 & 1 & \beta_2 \\ 0 & 0 & 0 & 1 \end{bmatrix} \\
 &= \begin{bmatrix} \operatorname{sen}(q_2) & \cos(q_2) & 0 & l_2 \operatorname{sen}(q_2) \\ -\cos(q_2) & \operatorname{sen}(q_2) & 0 & -l_2 \cos(q_2) \\ 0 & 0 & 1 & \beta_2 \\ 0 & 0 & 0 & 1 \end{bmatrix} \\
 H_{0y_{0-}}^2 &= \begin{bmatrix} H_{0y_{0-}}^1 \cdot H_{1y_{1-}}^2 \\ \operatorname{sen}(q_1 + q_2) & \cos(q_1 + q_2) & 0 & l_1 \operatorname{sen}(q_1) + l_2 \operatorname{sen}(q_1 + q_2) \\ -\cos(q_1 + q_2) & \operatorname{sen}(q_1 + q_2) & 0 & -l_1 \cos(q_1) - l_2 \cos(q_1 + q_2) \\ 0 & 0 & 1 & \beta_1 + \beta_2 \\ 0 & 0 & 0 & 1 \end{bmatrix}
 \end{aligned}$$

El mismo resultado se puede obtener premultiplicando la matriz homogénea de rotación  $H_{R_{z_0}}(-\frac{\pi}{2})$  a la matriz de transformación homogénea  $H_0$  (5.13). Es decir,  $H_{0y_{0-}} = H_{R_{z_0}}(-\frac{\pi}{2}) H_0$ .

Por lo que la cinemática directa de coordenadas cartesianas para un robot planar de dos grados de libertad cuya posición inicial es sobre el eje  $y_0$  negativo:

$$\begin{bmatrix} x_0 \\ y_0 \\ z_0 \end{bmatrix} = \begin{bmatrix} l_1 \operatorname{sen}(q_1) + l_2 \operatorname{sen}(q_1 + q_2) \\ -l_1 \cos(q_1) - l_2 \cos(q_1 + q_2) \\ \beta_1 + \beta_2 \end{bmatrix} \quad (5.15)$$

Debido a que la rotación se realiza alrededor de los ejes  $z_1$  y  $z_2$ , ambos paralelos al eje  $z_0$ , no existe ninguna modificación de coordenadas de los parámetros geométricos  $\beta_1$  y  $\beta_2$ . Por lo que el origen del sistema  $\Sigma_2(x_2, y_2, z_2)$  siempre tendrá una distancia  $\beta_1 + \beta_2$  sobre el eje  $z_0$ .

### Jacobiano del brazo robot de 2 gdl

El jacobiano analítico del robot de 2 gdl se obtiene como:

$$J(\mathbf{q}) = \frac{\partial \mathbf{f}_R(\beta_1, \beta_2, l_1, l_2, \mathbf{q})}{\partial \mathbf{q}}$$

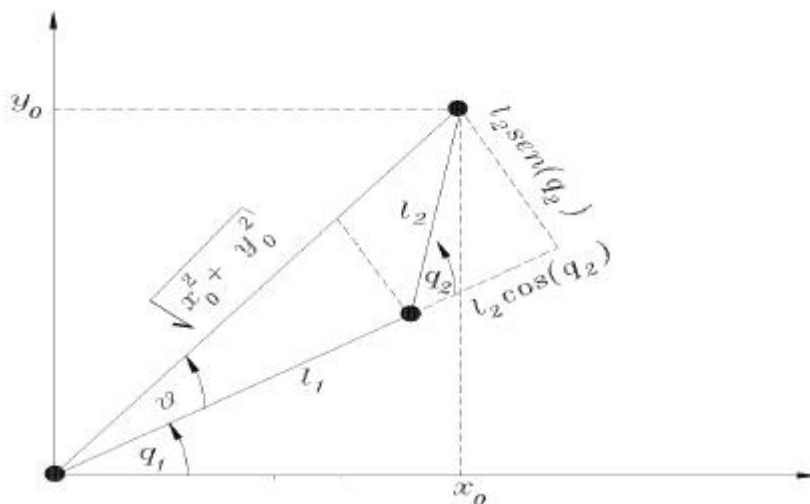
tomando en cuenta que los parámetros geométricos  $\beta_1, \beta_2, l_1, l_2$  son constantes, y considerando la posición de casa sobre el eje  $x_0$  (primer cuadrante):

$$J(\mathbf{q}) = \begin{bmatrix} -l_1 \sin(q_1) - l_2 \sin(q_1 + q_2) & -l_2 \sin(q_1 + q_2) \\ l_1 \cos(q_1) + l_2 \cos(q_1 + q_2) & l_2 \cos(q_1 + q_2) \end{bmatrix} \in \mathbb{R}^{2 \times 2} \quad (5.16)$$

El determinante del jacobiano es  $\det[J(\mathbf{q})] = l_1 l_2 \sin(q_2)$ , el cual es cero para  $q_2 = 0, \pm\pi$  y  $q_1$  cualquier valor. Por lo tanto, cuando la articulación del codo tiene alguno de esos valores para  $q_2$  el robot entra en una singularidad. Esto es importante en aplicaciones donde interviene  $\dot{\mathbf{q}} = J(\mathbf{q})^{-1} \mathbf{v}$ .

### Cinemática inversa del brazo robot de 2 gdl

La cinemática inversa (sin tomar en cuenta la orientación de la herramienta de trabajo) de un robot manipulador de dos grados de libertad se obtiene por procedimiento geométrico (ver figura 5.5).



**Figura 5.5** Cinemática inversa de un robot planar de dos grados de libertad.

El ángulo  $\vartheta$  que se encuentra dentro del triángulo formado por los lados adyacente  $l_1 + l_2 \cos(q_2)$ , cateto opuesto  $l_2 \sin(q_2)$  y la hipotenusa  $\sqrt{x_{20}^2 + y_0^2}$ , del teorema de Pitágoras se obtiene la solución para la variable articular  $q_2$ :

$$\begin{aligned} x_{20}^2 + y_0^2 &= [l_1 + l_2 \cos(q_2)]^2 + l_2^2 \sin^2(q_2) \\ &= l_1^2 + 2l_1 l_2 \cos(q_2) + l_2^2 \cos^2(q_2) + l_2^2 \sin^2(q_2) \\ &= l_1^2 + l_2^2 + 2l_1 l_2 \cos(q_2) \\ q_2 &= \arccos\left(\frac{x_{20}^2 + y_0^2 - l_1^2 - l_2^2}{2l_1 l_2}\right) \end{aligned}$$

Observe que el ángulo  $\vartheta$  satisface:

$$\vartheta = \operatorname{atan} \frac{l_2 \sin(q_2)}{l_1 + l_2 \cos(q_2)}$$

Ahora, tomando los ángulos  $\vartheta + q_1$  dentro del triángulo formado por los catetos adyacente  $x_0$ , opuesto  $y_0$  y la hipotenusa  $\sqrt{x_{20}^2 + y_0^2}$  se cumple la siguiente expresión:

$$\vartheta + q_1 = \operatorname{atan} \frac{y_0}{x_0}$$

Entonces, la variable articular  $q_1$  adquiere la siguiente forma:

$$\begin{aligned} q_1 &= \operatorname{atan} \frac{y_0}{x_0} - \vartheta \\ &= \operatorname{atan} \frac{y_0}{x_0} - \operatorname{atan} \frac{l_2 \sin(q_2)}{l_1 + l_2 \cos(q_2)} \end{aligned}$$

Por lo tanto, la cinemática inversa de un robot de 2 gdl no depende de  $\beta_1$  y  $\beta_2$  debido a que no hay proyecciones de estos parámetros sobre el plano  $x_0 - y_0$ :

$$q_2 = \arccos\left(\frac{x_{20}^2 + y_0^2 - l_1^2 - l_2^2}{2l_1 l_2}\right) \quad (5.17)$$

$$q_1 = \operatorname{atan} \frac{y_0}{x_0} - \operatorname{atan} \frac{l_2 \sin(q_2)}{l_1 + l_2 \cos(q_2)} \quad (5.18)$$

### Función transformación homogénea del robot 2 gdl $H_0^2$

La función transformación homogénea  $H_0^2$  del robot planar vertical de 2 gdl se encuentra expresada como:

$$H_0^2 = H_r2gdl()$$

esta función retorna  $H_0^2$  la transformación homogénea del robot planar vertical de 2 gdl. El código **MATLAB** de la función transformación homogénea  $H_0^2$  del robot de 2 gdl se encuentra en el cuadro 5.5.



#### Código Fuente 5.5 H\_r2gdl.m

%MATLAB Aplicado a Robótica y Mecatrónica.

%Editorial Alfaomega, Fernando Reyes Cortés.

%Capítulo 5 Cinemática directa cartesiana.

H\_r2gdl.m

```

1 function H=H_r2gdl()
2     syms q1 q2 beta1 beta2 l1 l2 alpha1 alpha2 real
3     disp('Parámetros Denavit-Hartenberg del robot planar vertical de 2 gdl')
4     disp([' l alpha d q'])
5     dh=[l1, 0, beta1, q1; l2, 0, beta2, q2];
6     disp(dh)
7     %H_0^1 = H_{Rz_0}(q1)H_{Tz_0}(\beta_1)H_{Tx_0}(l1)H_{Rx_0}(0)
8     H10=HRz(q1)*HTz(beta1)*HTx(l1)*HRx(0)
9     %H_1^2 = H_{Rz_0}(q2)H_{Tz_0}(\beta_2)H_{Tx_0}(l2)H_{Rx_0}(0)
10    H21=HRz(q2)*HTz(beta2)*HTx(l2)*HRx(0)
11    H20=simplify(H10*H21);% H_0^2= H_0^1 H_1^2
12    [R20, cinemat_r2gdl, cero, c]=H_DH(H20)
13    H=[R20, cinemat_r2gdl; % R_20(q1, q2), f_R(q1, q2)
14        cero, c];
15 end

```

### Función cinemática directa del robot de 2 gdl

La función de cinemática directa de un robot de 2 gdl se encuentra dada por:

if

$$[x_0, y_0, z_0] = \text{cinematica\_r2gdl}(\beta_1, l_1, q_1, \beta_2, l_2, q_2)$$

donde los argumentos de entrada son los parámetros geométricos  $\beta_1, l_1, \beta_2, l_2$  y posiciones articulares  $q_1, q_2$  del hombro y codo, respectivamente. Esta función retorna las coordenadas cartesianas  $(x_0, y_0, z_0)$  en el sistema  $\Sigma_0(x_0, y_0, z_0)$ .



#### Código Fuente 5.6 cinematica\_r2gdl.m

%MATLAB Aplicado a Robótica y Mecatrónica.

%Editorial Alfaomega, Fernando Reyes Cortés.

%Capítulo 5 Cinemática directa cartesiana.

cinematica\_r2gdl.m

```

1 function [x0, y0, z0]=cinematica_r2gdl(beta1,l1,q1,beta2,l2,q2)
2     dato1=whos('beta1'); dato2=whos('l1'); dato3=whos('q1');
3     dato4=whos('beta2'); dato5=whos('l2'); dato6=whos('q2');
4     v1=strcmp(dato1.class, 'sym'); v2=strcmp(dato2.class, 'sym');
5     v3=strcmp(dato3.class, 'sym'); v4=strcmp(dato4.class, 'sym');
6     v5=strcmp(dato5.class, 'sym'); v6=strcmp(dato6.class, 'sym');
7     digits(3);
8     if (v1 & v2 & v3 & v4 & v5 & v6) %caso simbólico
9         x0=simplify(vpa(l1*cos(q1)+l2*cos(q1+q2),3));
10        y0=simplify(vpa(l1*sin(q1)+l2*sin(q1+q2),3));
11        z0=vpa(beta1+beta2,3);
12    else %caso numérico
13        x0=l1*cos(q1)+l2*cos(q1+q2);
14        y0=l1*sin(q1)+l2*sin(q1+q2);
15        z0=beta1+beta2;
16    end
17 end

```

### Función cinemática inversa del robot de 2 gdl

La función de cinemática inversa de un robot de 2 gdl tiene la siguiente sintaxis:

$$[q_1, q_2] = \text{cinv\_r2gdl}(l_1, l_2, x_0, y_0)$$



donde los argumentos de entrada son los parámetros geométricos  $l_1, l_2$  y las coordenadas cartesianas del extremo final  $x_0, y_0$  en el sistema  $\Sigma_0(x_0, y_0, z_0)$ . Esta función retorna las coordenadas articulares del hombro  $q_1$  y codo  $q_2$ .



#### Código Fuente 5.7 `cinv_r2gdl.m`

%MATLAB Aplicado a Robótica y Mecatrónica.

%Editorial Alfaomega, Fernando Reyes Cortés.

%Capítulo 5 Cinemática directa cartesiana.

`cinv_r2gdl.m`

```
1 function [q1 q2]=cinv_r2gdl(l1,l2,x0,y0)
2     q2=acos((x0.*x0+y0.*y0-l1*l1-l2*l2)/(2*l1*l2));
3     q1=atan(y0./x0)-atan((l2*sin(q2))./(l1+l2*cos(q2)));
4 end
```

#### ♣ ♣ Ejemplo 5.2

Diseñar un programa para **MATLAB** que permita desplegar en forma simbólica los parámetros DH, cinemática cartesiana y el jacobiano del robot vertical planar de 2 gdl. Además, programar una aplicación donde el extremo final del robot trace un círculo de radio  $r = 0.2\text{m}$ , con centro en  $[x_c, y_c]^T = [0.3, -0.3]^T \text{m}$ , con periodo de movimiento de 6.28 segundos.

#### Solución

El programa 5.8 contiene el código fuente para **MATLAB** que soluciona el problema planteado. En la línea 4 se obtiene la matriz de transformación homogénea  $H_0$  del robot de 2 gdl y en la línea 7 se obtiene la matriz de rotación  $R_{20}$  y la cinemática

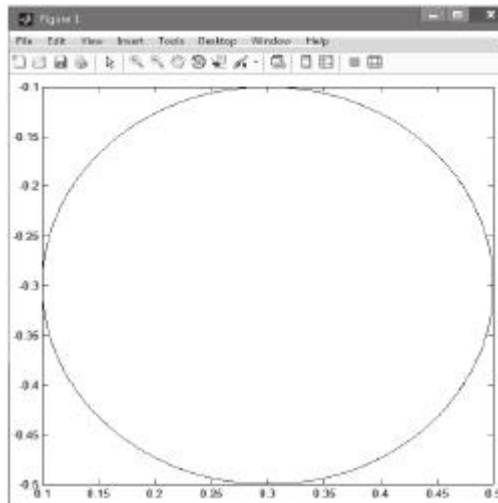
directa cartesiana  $\mathbf{f}_R(l_1, q_1, l_2, q_2)$ . Las líneas 12 y 13 despliegan en forma simbólica el jacobiano y su determinante, respectivamente. La ecuación del círculo se encuentra implementada en las líneas 21 y 22:

$$x = x_c + r \cos(\omega t) \\ y = y_c + r \sin(\omega t)$$

donde  $x_c, y_c$  representan el centro del círculo,  $r$  es el radio.

La línea 24 convierte las coordenadas cartesianas del círculo en coordenadas articulares  $(q_1, q_2)$  por medio de la función `inv_r2gdl(l1, l2, x, y)`, y en la línea 26 se transforman las coordenadas articulares  $(q_1, q_2)$  en las coordenadas cartesianas del extremo final del robot en el sistema  $\Sigma_0(x_0, y_0, z_0)$ . Se genera una base de tiempo de 100 segundos con incrementos de 1 mseg. El periodo de trazo del círculo es de 6.28 segundos ( $2\pi / \omega$ ), con  $\omega = 2\pi f = 1$ , entonces  $t = 2\pi$  segundos).

La figura 5.6 muestra el círculo generado por el extremo final del robot (ver línea 27) durante una simulación de 100 segundos, lo que significa que el robot traza 15 círculos que se superponen en la misma figura.



**Figura 5.6** Trayectoria circular que traza el robot de 2 gdl.



### Código Fuente 5.8 cap5\_robot2gdl.m

%MATLAB Aplicado a Robótica y Mecatrónica.

%Editorial Alfaomega, Fernando Reyes Cortés.

%Capítulo 5 Cinemática directa cartesiana.

---

cap5\_robot2gdl.m

---

```

1  clc; clear all ;close all;
2  format short
3  syms q1 q2 beta1 beta2 l1 l2 alpha1 alpha2 real
4  H20=H_r2gdl()
5  disp('Transformación homogénea del robot 2 gdl');
6  disp(H20);
7  [R20, cinemat_r2gdl,cero, c]=H DH(H20) ;
8  disp('Matriz de rotación'); disp(R20);
9  disp('cinemática directa');
10 disp(cinemat_r2gdl);
11 [x0, y0, z0]=cinematica_r2gdl(beta1,l1,q1,beta2,l2,q2)
12 jac_r2gdl=jacobian([x0; y0], [q1;q2])
13 det_r2gdl=simplify(det(jac_r2gdl)) % det[J]= l1l2 sen(q2)
14 %ejemplo numérico
15 t=0:0.001:100;%parámetros del círculo: [xc, yc]T = [0.3, -0.3]T y radio r = 0.2
16 xc=0.3; yc=-0.3; r=0.20;
17 l1=0.45; l2=0.45;
18 beta1=0.1; beta2=0.1;
19 q1=[]; q2=[];
20 % ecuación del círculo
21 x=xc+r*sin(t) ;
22 y=yc+r*cos(t) ;
23 % cinemática inversa
24 [q1,q2]=cinv_r2gdl(l1,l2,x,y) ;
25 %coordenas cartesianas del extremo final del robot de 2 gdl
26 [x0, y0, z0]=cinematica_r2gdl(beta1,l1,q1,beta2,l2,q2) ;
27 plot(x0,y0)

```

---

**Robot antropomórfico (RRR)**

La gran mayoría de los robots industriales tienen la configuración antropomórfica (brazos robots) ya que presentan mayor destreza en su espacio de trabajo debido a que sus eslabones están unidos por articulaciones rotacionales. El espacio de trabajo de la configuración antropomórfica corresponde a una esfera, cuyo radio corresponde a la suma de longitudes de los eslabones. Por similitud con la forma anatómica con el brazo humano, la segunda articulación se conoce como **hombro** (shoulder) y la tercera articulación se llama **codo** (elbow). La figura 5.7 muestra ejemplos de robots industriales antropomórficos de la compañía ABB y FANUC que se utilizan en aplicaciones de traslado de objetos.



**Figura 5.7** Robots industriales en configuración antropomórfica: ABB y FANUC.

**Cinemática directa cartesiana del brazo robot de 3 gdl**

Considérese un robot manipulador antropomórfico de tres grados de libertad como el que se presenta en la figura 5.8, donde el sistema de referencia fijo  $\Sigma_0(x_0, y_0, z_0)$  se encuentra en la base del robot, el eje  $z_0$  coincide con el eje de rotación de la articulación de la base. Los sistemas de referencia  $\Sigma_1(x_1, y_1, z_1)$ ,  $\Sigma_2(x_2, y_2, z_2)$  y  $\Sigma_3(x_3, y_3, z_3)$  están seleccionados de tal forma que sus ejes  $z_1, z_2$  y  $z_3$  coincidan con sus respectivos ejes de rotación de cada articulación. El eje  $z_1$  del sistema

$\Sigma_1(x_1, y_1, z_1)$  se encuentra ortogonal al eje  $z_0$  ( $\alpha_1 = \frac{\pi}{2}$ ); el eje  $z_1$  es paralelo al eje  $z_2$  ( $\alpha_2 = 0$ ) y el eje  $z_2$  se ha considerado paralelo al eje  $z_h$  de la herramienta de trabajo ( $\alpha_3 = 0$ ). Note que el plano  $x_2 - y_2$  se encuentra rotado un ángulo  $q_3$  con respecto al plano  $x_1 - y_1$ .

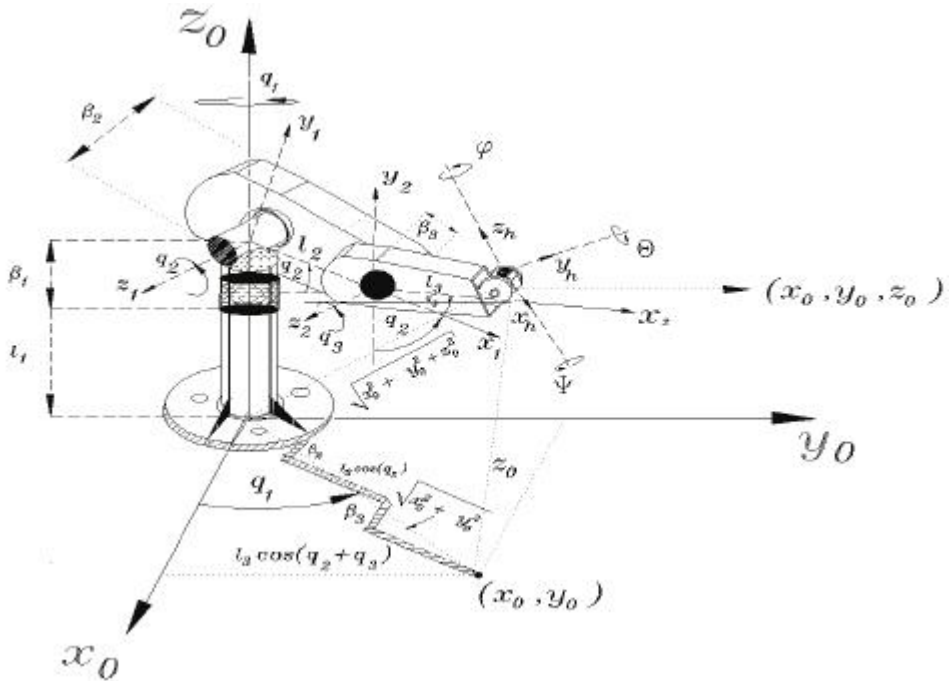


Figura 5.8 Robot antropomórfico.

La tabla 5.3 contiene los parámetros Denavit-Hartenberg para el robot antropomórfico de tres grados de libertad.

Tabla 5.3 DH del robot de 3 gdl

Eslabón	$l_i$	$\alpha_i$	$d_i$	$\theta_i$
1	0	$\frac{\pi}{2}$	$l_1 + \beta_1$	$q_1$
2	$l_2$	0	$\beta_2$	$q_2$
3	$l_3$	0	$\beta_3$	$q_3$

Los parámetros geométricos de cada servomotor son:  $\beta_1, \beta_2, \beta_3$  representan el ancho y espesor de las placas metálicas para la base, hombro y codo, respectivamente;  $l_1$